



Taller avanzado XML SciELO

Centro de Convenciones CIBELES 5 de septiembre 2017











Agenda

- El estado del arte de las publicaciones electrónicas
- Imágenes: Formato y calidad
- Tablas HTML
- Ecuaciones

Centro de Convenciones CIBELES 5 de septiembre 2017









Material disponible en:

http://bit.ly/2wgfiZ2







Calidad

contenidos

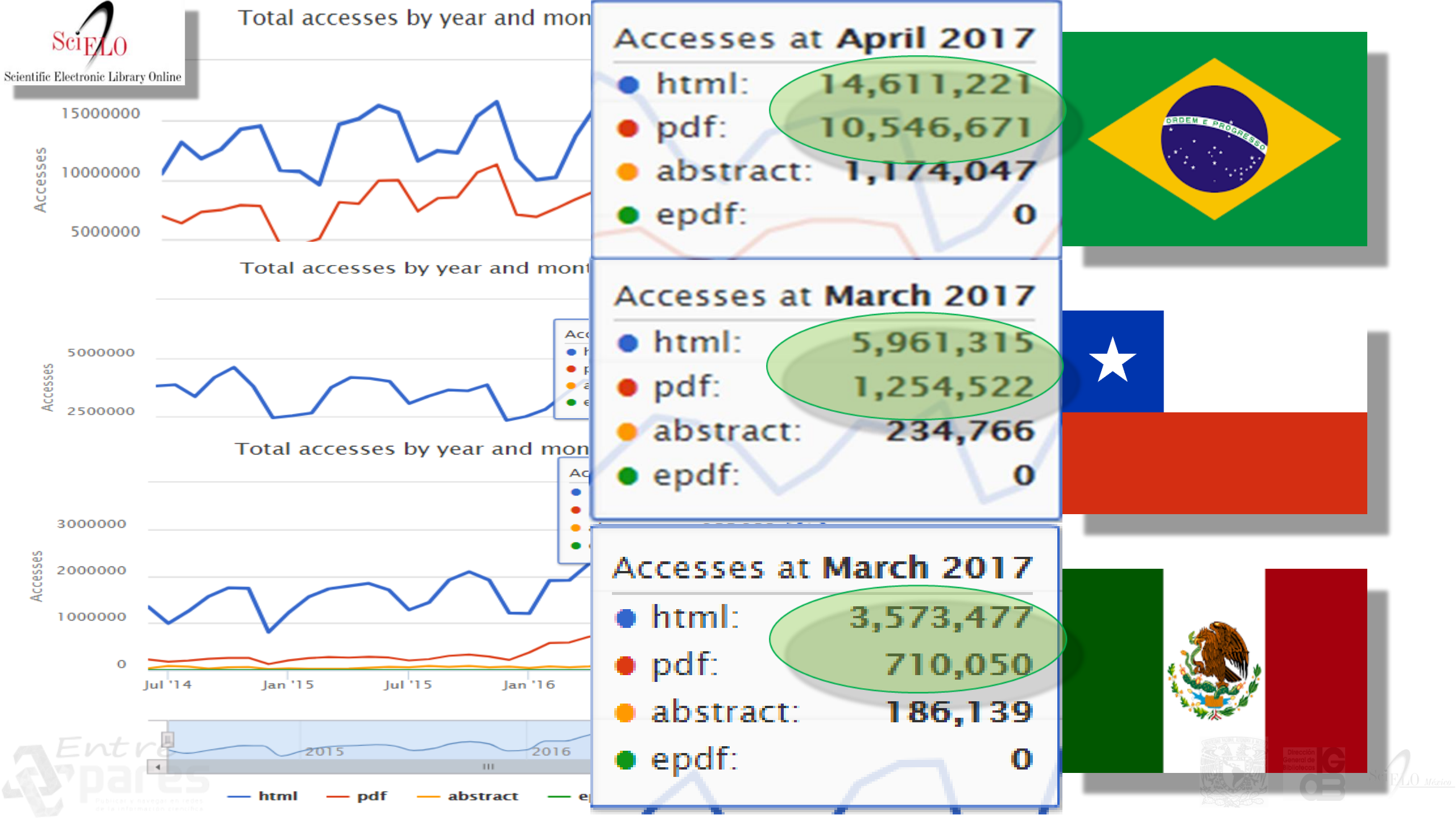
editorial

informátical









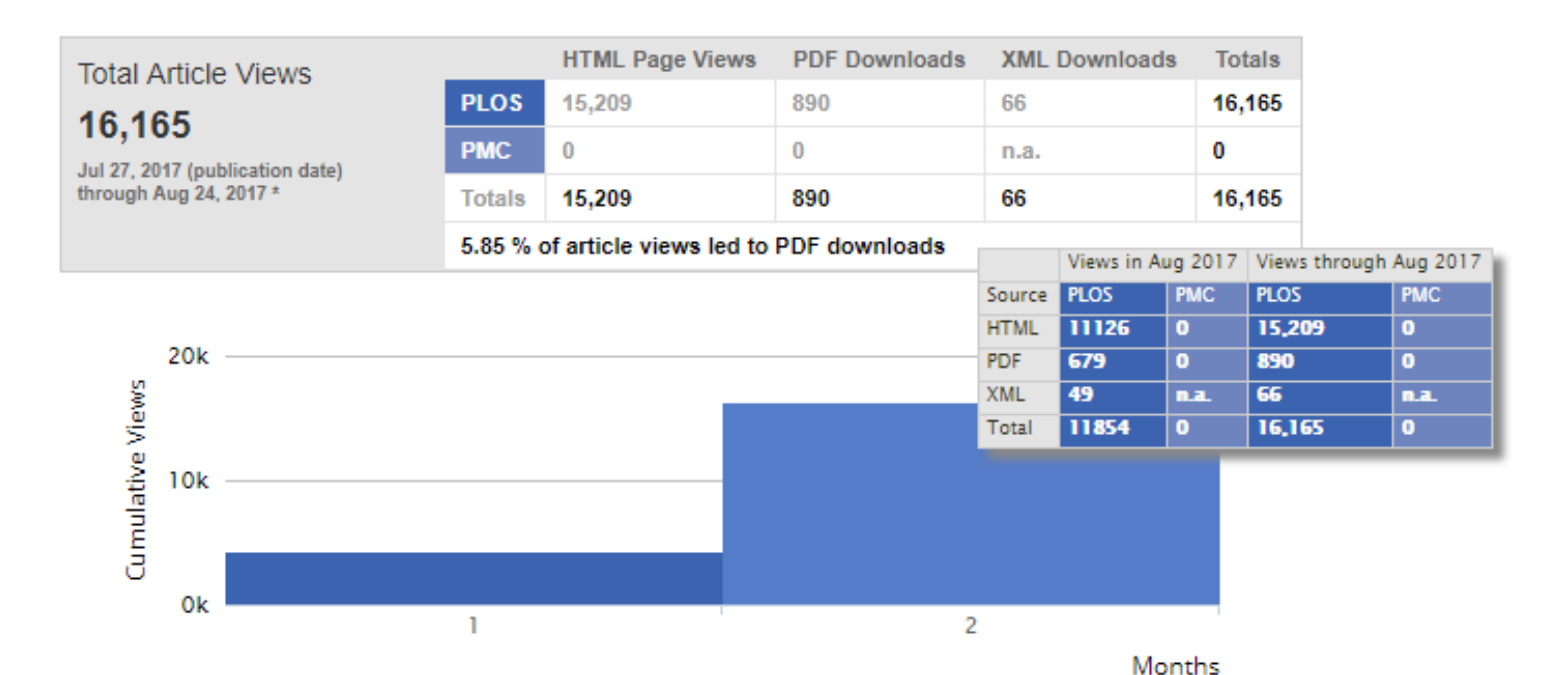
Diet and Nutrition Survey

Gregory D. M. Potter ☑, Janet E. Cade, Laura J. Hardie

Published: July 27, 2017 • https://doi.org/10.1371/journal.pone.0182195

Article	Authors	Metrics	Comments	Related Content
		*		

Viewed ?











separación entre

Diversifica

Preserva

Transfiere

Presentación

Visualización

Diseño

- . separar contenido de presentación: permite distintas presentaciones y diseños
- . la mejor manera de <u>preservar</u> el contenido frente a futuras innovaciones: dispositivos, software, plataformas...
- . la mejor manera de transferir, exportar, intercambiar información









http://journals.plos.org/plosone







```
1 <?xml version="1.0" encoding="utf-8"?>
2 <!DOCTYPE article PUBLIC "-//NLM//DTD JATS (Z39.96) Journal Publishing DTD v1.1d3 20150301//EN"
   "http://jats.nlm.nih.gov/publishing/1.1d3/JATS-journalpublishing1.dtd">
3 <article article-type="research-article" dtd-version="1.1d3" xml:lang="en"
  xmlns:mml="http://www.w3.org/1998/Math/MathML" xmlns:xlink="http://www.w3.org/1999/xlink">
4 <front>
5 < iournal-meta>
6 < journal-id journal-id-type="nlm-ta">PLoS ONE</journal-id>
7 < journal-id journal-id-type="publisher-id">plos</journal-id>
8 < journal-id journal-id-type="pmc">plosone</journal-id>
9 <journal-title-group>
10 < journal-title>PLOS ONE</journal-title>
11 </journal-title-group>
12 <issn pub-type="epub">1932-6203</issn>
13 <publisher>
14 <publisher-name>Public Library of Science</publisher-name>
15 <publisher-loc>San Francisco, CA USA</publisher-loc>
16 </publisher>
17 </iournal-meta>
18 <article-meta>
19 <article-id pub-id-type="doi">10.1371/journal.pone.0182195</article-id>
20 <article-id pub-id-type="publisher-id">PONE-D-17-21598</article-id>
21 <article-categories>
22 <subj-group subj-group-type="heading">
23 <subject>Research Article</subject>
24 </subj-group>
25 <subj-group subj-group-type="Discipline-v3"><subject>Biology and life sciences</subject><subj-group>
   <subject>Physiology</subject><subj-group><subject>Physiological processes</subject><subj-group>
```

<subject>Sleep</subject></subject></subject></subject></subject></subject></subject></subject></subject></subject></subject></subject></subject></subject></subject></subject></subject></subject></subject></subject></subject></subject></subject></subject></subject></subject></subject></subject></subject></subject></subject></subject></subject></subject></subject></subject></subject></subject></subject></subject></subject></subject></subject></subject></subject></subject></subject></subject></subject></subject></subject></subject></subject></subject></subject></subject></subject></subject></subject></subject></subject></subject></subject></subject></subject></subject></subject></subject></subject></subject></subject></subject></subject></subject></subject></subject></subject></subject></subject></subject></subject></subject></subject></subject></subject></subject></subject></subject></subject></subject></subject></subject></subject></subject></subject></subject></subject></subject></subject></subject></subject></subject></subject></subject></subject></subject></subject></subject></subject></subject></subject></subject></subject></subject></subject></subject></subject></subject></subject></subject></subject></subject></subject></subject></subject></subject></subject></subject></subject></subject></subject></subject></subject></subject></subject></subject></subject></subject></subject></subject></subject></subject></subject></subject></subject></subject></subject></subject></subject></subject></subject></subject></subject></subject></subject></subject></subject></subject></subject></subject></subject></subject></subject></subject></subject></subject></subject></subject></subject></subject></subject></subject></subject></subject></subject></subject></subject></subject></subject></subject></subject></subject></subject></subject></subject></subject></subject></subject></subject></subject></subject></subject></subject></subject></subject></subject></subject></subject></subject></subject></subject></subject></subje









RESEARCH ARTICLE

Longer sleep is associated with lower BMI and favorable metabolic profiles in UK adults: Findings from the National Diet and Nutrition Survey

Gregory D. M. Potter , Janet E. Cade, Laura J. Hardie

Published: July 27, 2017 https://doi.org/10.1371/journal.pone.0182195

Arti	icle	Authors	Metrics	Comments	Related Content
×					

Abstract

Introduction

Materials and methods

Results

Discussion

Acknowledgments

References

Reader Comments (3)

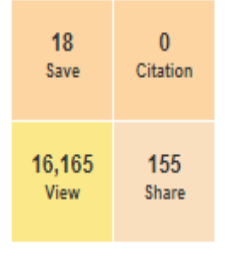
Media Coverage (1)

Figures

Abstract

Ever more evidence associates short sleep with increased risk of metabolic diseases such as obesity, which may be related to a predisposition to non-homeostatic eating. Few studies have concurrently determined associations between sleep duration and objective measures of metabolic health as well as sleep duration and diet, however. We therefore analyzed associations between sleep duration, diet and metabolic health markers in UK adults, assessing associations between sleep duration and 1) adiposity, 2) selected metabolic health markers and 3) diet, using National Diet and Nutrition Survey data. Adults (n = 1,615, age 19-65 years, 57.1% female) completed questions about sleep duration and 3 to 4 days of food diaries. Blood pressure and waist circumference were recorded. Fasting blood lipids, glucose, glycated haemoglobin (HbA1c), thyroid hormones, and high-sensitivity C-reactive protein (CRP) were measured in a subset of participants. We used regression analyses to explore associations between sleep duration and outcomes. After adjustment for age, ethnicity, sex, smoking, and socioeconomic status, sleep duration was negatively associated with body mass index (-0.46 kg/m² per hour, 95% CI -0.69 to -0.24 kg/m², p < 0.001) and waist circumference (-0.9 cm per hour, 95% CI -1.5 to -0.3cm, p = 0.004), and positively associated with highdensity lipoprotein cholesterol (0.03 mmol/L per hour, 95% CI 0.00 to 0.05, p = 0.03). Sleep duration tended to be positively associated with free thyroxine levels and negatively associated with HbA1c and CRP (p = 0.09 to 0.10). Contrary to our hypothesis, sleep duration was not associated with any dietary measures (p ≥ 0.14). Together, our findings show that shortsleeping UK adults are more likely to have obesity, a disease with many comorbidities.

Figures





Print Share



- Google+
- StumbleUpon
- F Facebook
- in LinkedIn
- CiteULike
- Mendeley
- PubChase
- Twitter
- **■**Email

Special Issue

Guest Editors: Carolyn S.P. Lam Kazem Rahimi Steven Steinhubl

Submit by Oct 6









associations were apparent in males.

https://doi.org/10.1371/journal.pone.0182195.g001

After adjustment, sleep duration tended to be negatively associated with HbA1c and CRP, and positively associated with free T4, although these findings were not significant (p = 0.09 to 0.10). Following inclusion of BMI as a further adjustment, sleep duration was still not associated with any of these outcomes ($P \ge 0.16$, Table 4).

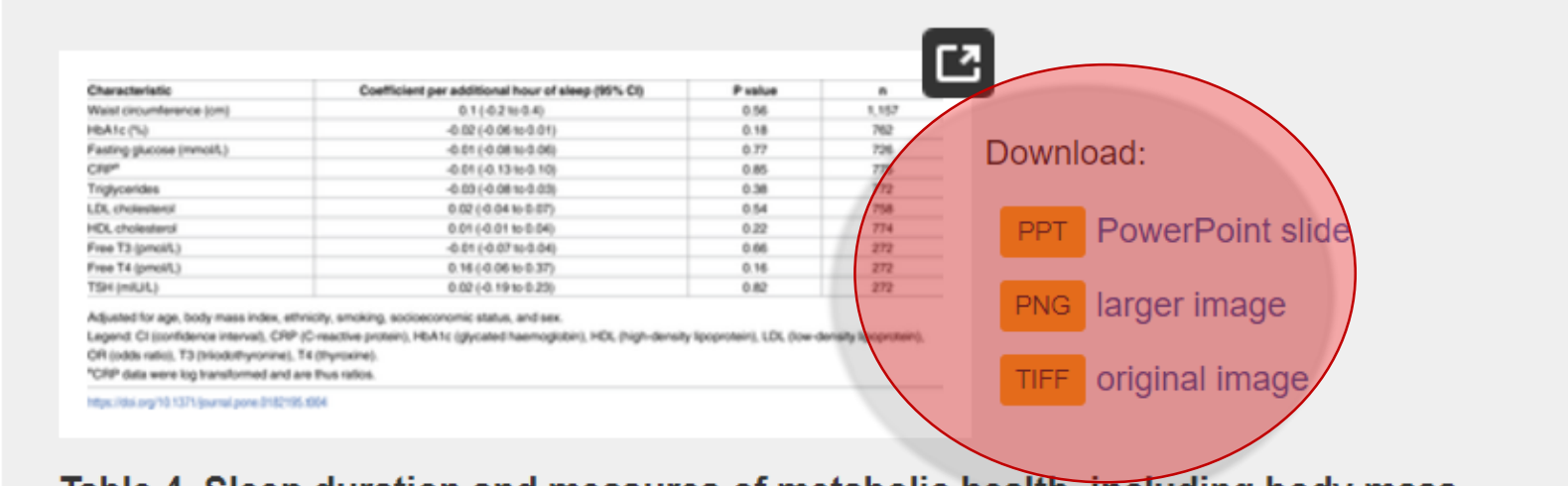


Table 4. Sleep duration and measures of metabolic health, including body mass index as an adjustment.

https://doi.org/10.1371/journal.pone.0182195.t004

Of the five criteria used to diagnose an individual with metabolic syndrome, for each additional



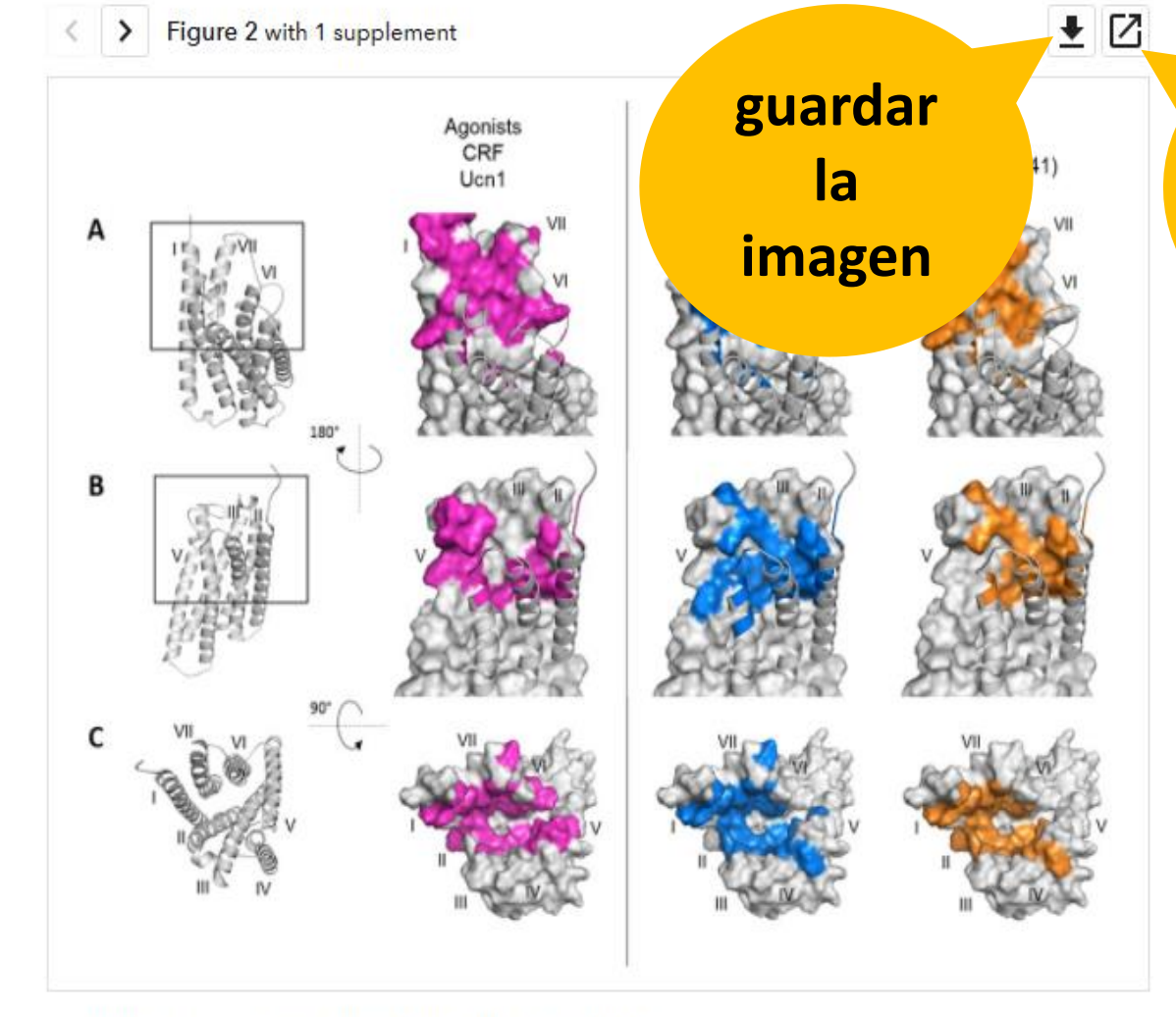


Figures and data

Side by side

▶ Jump to

DOI de la imagen



Footprints of peptide agonists and antagonists on CRF1R.

Surface representation of the CRF1R TMD adapted from Coin et al. (2013). The CRF1R ECD is not shown.

Positions of CRF1R that crosslinked the ligand when substituted by Azi are highlighted. ... see more »

https://doi.org/10.7554/eLife.27711.007

ampliar la imagen

Próximo pasos:

crear bases de datos de objetos multimedia

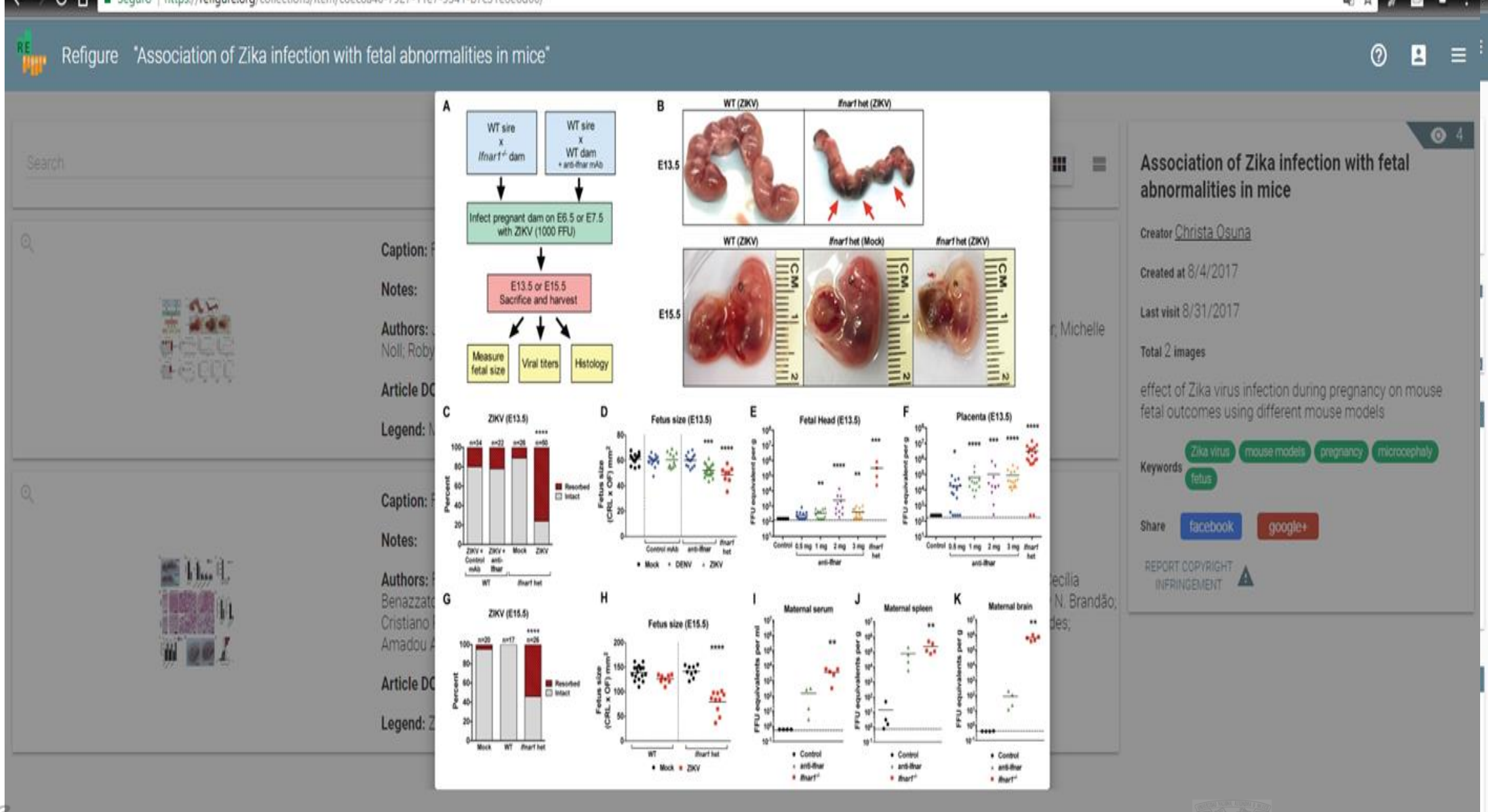
Búsquedas de imágenes por tema

DOI de una imagen

Agregar información propia



eLIFE Refigure







Luchetti et al. eLife 2016;5:e20304. DOI: 10.7554/eLife.20304

1 of 19

ABOUT LABS COMMUNITY

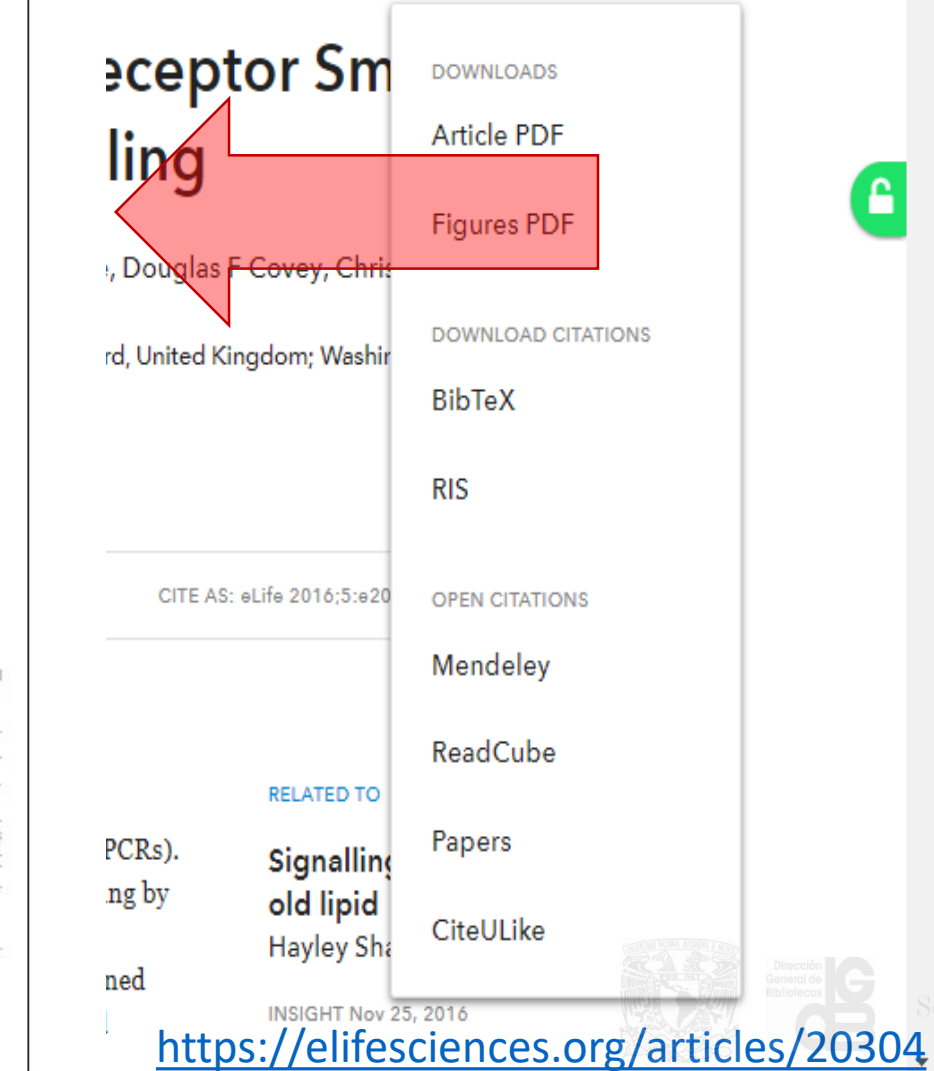
SUBMIT MY RESEARCH

DOWNLOADS

Q

Opciones de descarga

<u>*</u>



Article PDF Figures PDF DOWNLOAD CITATIONS rd, United Kingdom; Washir BibTeX RIS CITE AS: eLife 2016;5:e20 OPEN CITATIONS Mendeley ReadCube RELATED TO **Papers** Signalling old lipid

CiteULike

Hayley Sha

INSIGHT Nov 25, 2016







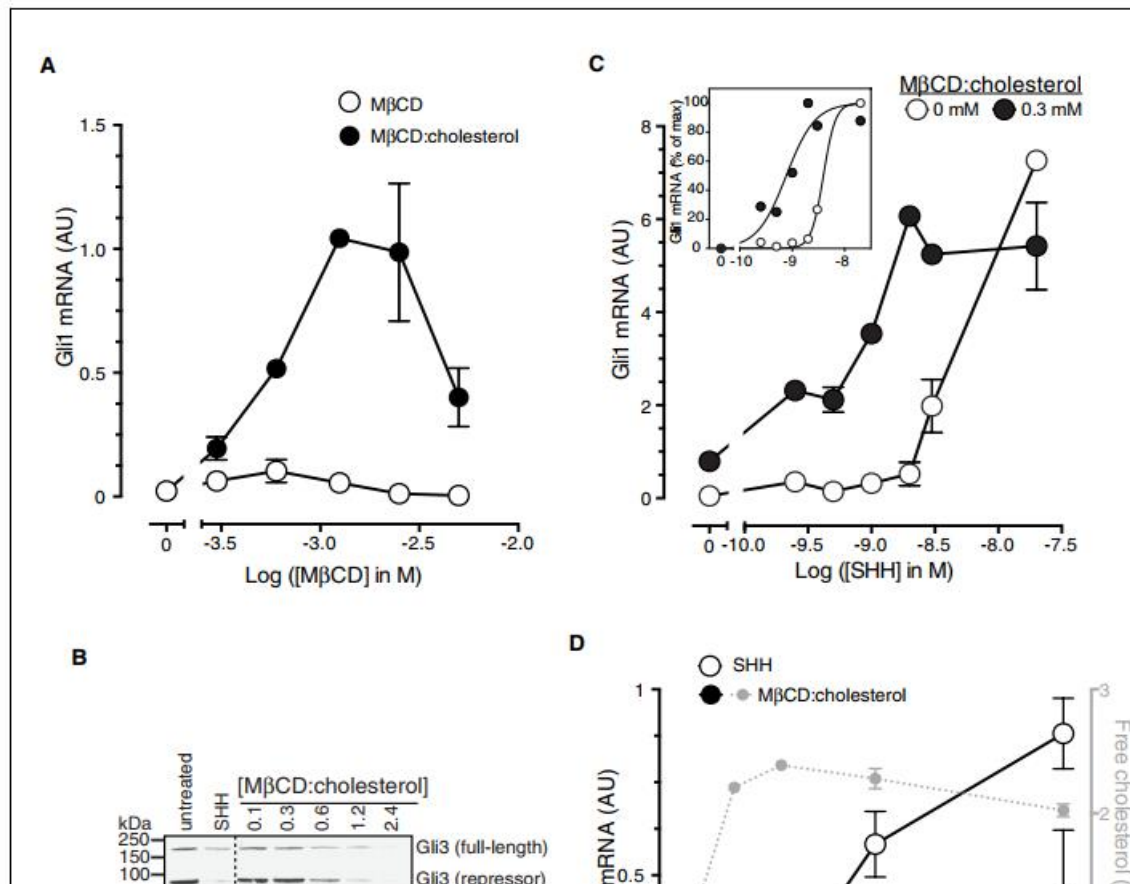


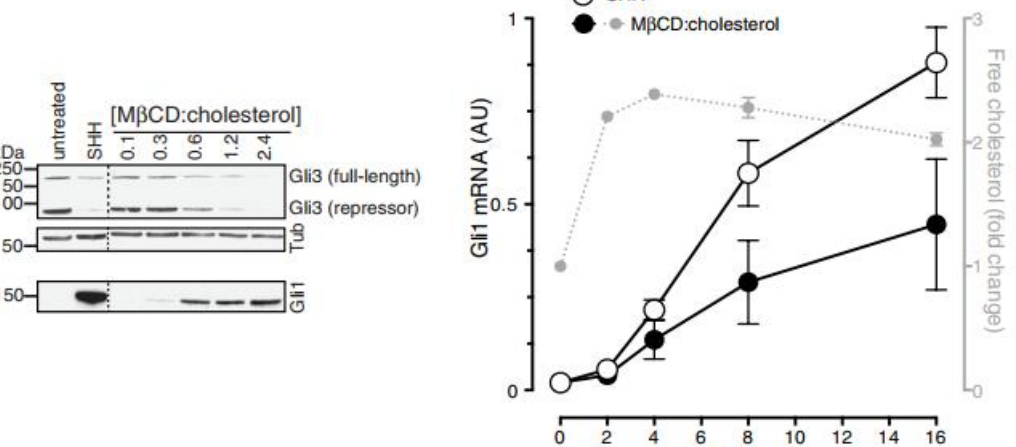






eLIFE Research article Biochemistry | Developmental Biology and Stem Cells C









PDF enriquecido











Q

<u>*</u>





LABS COMMUNITY

Article PDF

Figures PDF Covey, Chris

DOWNLOAD CITATIONS gdom; Washir

BibTeX

Cholesterol activates the G-protein coupled receptor Smoothened to promote Hedgehog signaling

Giovanni Luchetti^{1,2†}, Ria Sircar^{1,2†}, Jennifer H Kong^{1,2}, Sigrid Nachtergaele^{1,2}, Andreas Sagner³, Eamon FX Byrne^{4,5}, Douglas F Covey⁶, Christian Siebold^{4,5*}, Rajat Rohatgi^{1,2*}

¹Department of Biochemistry, Stanford University School of Medicine, Stanford, United States; ²Department of Medicine, Stanford University School of Medicine, Stanford, United States; ³Mill Hill Laboratory, The Francis Crick Institute, London, United Kingdom; ⁴Division of Structural Biology, University of Oxford, Oxford, United Kingdom; 5Wellcome Trust Centre for Human Genetics, University of Oxford, Oxford, United Kingdom; Department of Developmental Biology, Washington University School of Medicine, St. Louis, United States

Abstract Cholesterol is necessary for the function of many G-protein coupled receptors (GPCRs). We find that cholesterol is not just necessary but also sufficient to activate signaling by the Hedgehog (Hh) pathway, a prominent cell-cell communication system in development. Cholesterol influences Hh signaling by directly activating Smoothened (SMO), an orphan GPCR that transmits the Hh signal across the membrane in all animals. Unlike many GPCRs, which are regulated by cholesterol through their heptahelical transmembrane domains, SMO is activated by cholesterol through its extracellular cysteine-rich domain (CRD). Residues shown to mediate cholesterol binding to the CRD in a recent structural analysis also dictate SMO activation, both in response to cholesterol and to native Hh ligands. Our results show that cholesterol can initiate signaling from the cell surface by engaging the extracellular domain of a GPCR and suggest that SMO activity may be regulated by local changes in cholesterol abundance or accessibility. DOI: 10.7554/eLife.20304.001

*For correspondence: christian@ strubi.ox.ac.uk (CS); rrohatgi@ stanford.edu (RR)

[†]These authors contributed equally to this work

Competing interests: The authors declare that no competing interests exist.

Funding: See page 19

Received: 05 August 2016 Accepted: 03 October 2016 Published: 05 October 2016

Reviewing editor: Duojia Pan, UT Southwestern Medical Center, United States

Introduction

Cholesterol, which makes up nearly half of the lipid molecules in the plasma membrane of animal cells, can influence many signal transduction events at the cell surface. It plays an important role in modulating the function of cell-surface receptors, including G-protein coupled receptors (GPCRs), the largest class of receptors that transduce signals across the plasma membrane, and antigen receptors on immune cells (Burger et al., 2000; Pucadyil and Chattopadhyay, 2006; Swamy et al., 2016). The structures of several GPCRs reveal cholesterol molecules tightly associated with the hep-



RIS Life 2016;5:e20 OPEN CITATIONS Mendeley ReadCube RELATED TO Papers Signalling old lipid CiteULike Hayley Sha https://elifesciences.org/articles/20304

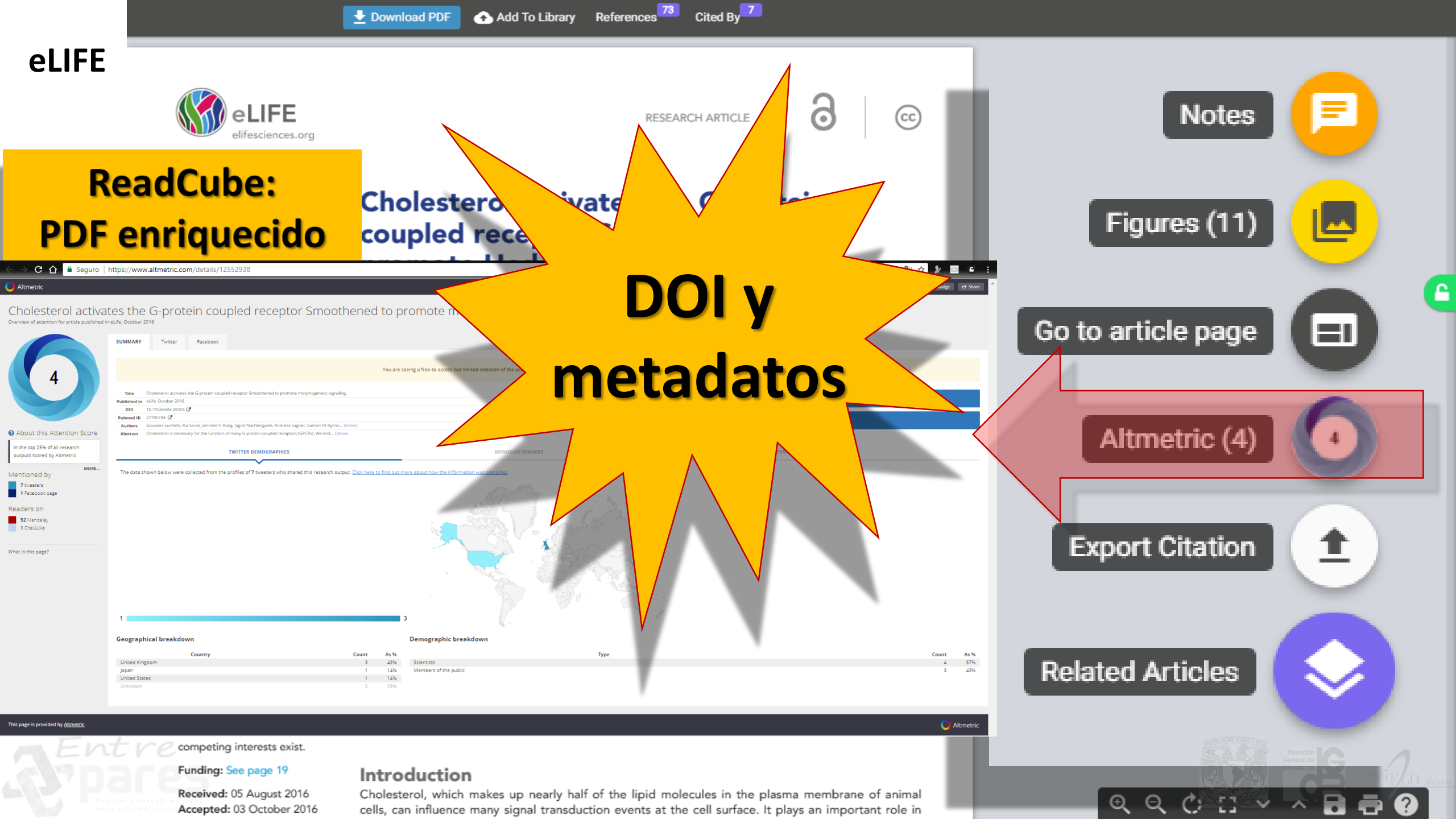


Figure 6

The Smoothened cysteine-rich domain is required for cholesterol-mediated activation of Hh signaling.



48668







RESEARCH ARTICLE



Cholesterol activates the G-protein coupled receptor Smoothened to promote Hedgehog signaling

Giovanni Luchetti^{1,2†}, Ria Sircar^{1,2†}, Jennifer H Kong^{1,2}, Sigrid Nachtergaele^{1,2}, Andreas Sagner³, Eamon FX Byrne^{4,5}, Douglas F Covey⁶, Christian Siebold^{4,5*}, Rajat Rohatgi^{1,2*}

¹Department of Biochemistry, Stanford University School of Medicine, Stanford, United States; ²Department of Medicine, Stanford University School of Medicine, Stanford, United States; ³Mill Hill Laboratory, The Francis Crick Institute, London, United Kingdom; ⁴Division of Structural Biology, University of Oxford, Oxford, United Kingdom; 5Wellcome Trust Centre for Human Genetics, University of Oxford, Oxford, United Kingdom; Department of Developmental Biology, Washington University School of Medicine, St. Louis, United States

Abstract Cholesterol is necessary for the function of many G-protein coupled receptors (GPCRs). We find that cholesterol is not just necessary but also sufficient to activate signaling by the Hedgehog (Hh) pathway, a prominent cell-cell communication system in development. Cholesterol influences Hh signaling by directly activating Smoothened (SMO), an orphan GPCR that transmits the Hh signal across the membrane in all animals. Unlike many GPCRs, which are regulated by cholesterol through their heptahelical transmembrane domains, SMO is activated by cholesterol through its extracellular cysteine-rich domain (CRD). Residues shown to mediate cholesterol binding to the CRD in a recent structural analysis also dictate SMO activation, both in response to cholesterol and to native Hh ligands. Our results show that cholesterol can initiate signaling from the cell surface by engaging the extracellular domain of a GPCR and suggest that SMO activity may be regulated by local changes in cholesterol abundance or accessibility.

strubi.ox.ac.uk (CS); rrohatgi@ stanford.edu (RR) [†]These authors contributed

*For correspondence: christian@

Competing interests: The authors declare that no

equally to this work

competing interests exist. Funding: See page 19

Received: 05 August 2016 Accepted: 03 October 2016 Published: 05 October 2016

Introduction

Cholesterol, which makes up nearly half of the lipid molecules in the plasma membrane of animal cells, can influence many signal transduction events at the cell surface. It plays an important role in modulating the function of cell-surface receptors, including G-protein coupled receptors (GPCRs),

Cholesterol activates the G-protein coupled receptor Smoothened to promote morphogenetic signaling

G Luchetti, R Sircar, JH Kong, S Nachtergaele, A Sagner, EF Byr... bioRxiv, 2016

Structure and function of the Smoothened extracellular domain in vertebrate Hedgehog signaling

S Nachtergaele, DM Whalen, LK Mydock, Z Zhao, T Malinausk... eLife, 2013

Cellular Cholesterol Directly Activates Smoothened in Hedgehog Signaling

P Huang, D Nedelcu, M Watanabe, C Jao, Y Kim, J Liu, A Salic Cell. 2016

Structural basis of Smoothened regulation by its extracellular

EFX Byrne, R Sircar, PS Miller, G Hedger, G Luchetti, S Nachterg. Nature, 2016

The extracellular loops of Smoothened play a regulatory role in control of Hedgehog pathway activation

CE Carroll, S Marada, DP Stewart, JX Ouyang, SK Ogden Development, 2012

Crystal structure of a multi-domain human smoothened receptor in complex with a super stabilizing ligand

X Zhang, F Zhao, Y Wu, J Yang, GW Han, S Zhao, A Ishchenko, .. Nature Communications, 2017 Article

Structural insights into the role of the Smoothened cysteine-rich domain in Hedgehog signalling

R Rana, CE Carroll, H Lee, J Bao, S Marada, CR Grace, CD Guib... Nature Communications, 2013

Hedgehog Pathway Modulation by Multiple Lipid Binding Sites on the Smoothened Effector of Signal Response

B Myers, N Sever, Y Chong, J Kim, J Belani, S Rychnovsky, J Ba.. Developmental Cell, 2013 Article

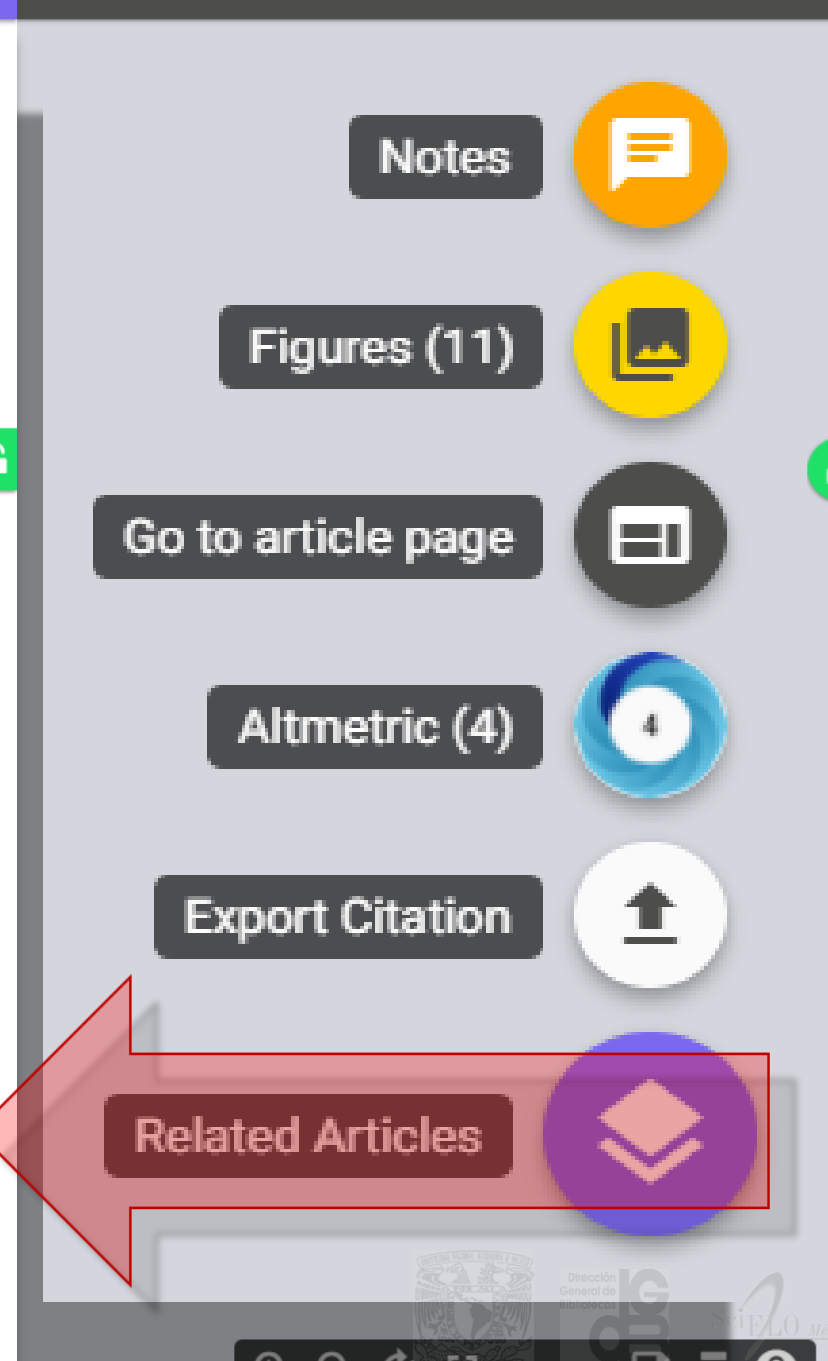
Sonic Hedgehog Activates Phospholipase A2 to Enhance Smoothened Ciliary Translocation

AM Arensdorf, ME Dillard, JM Menke, MW Frank, CO Rock, SK Cell Reports, 2017

Patched1 and Patched2 inhibit Smoothened non-cell autonomously

B Roberts, C Casillas, AC Alfaro, C Jägers, H Roelink eLife, 2016

Article





RESEARCH ARTICLE







tes th 5moo g sig

DOI y metadatos

tracellu

CRD in a

velopmental Biology, nited States

the He transi regul ked by cho cholesterol through cholesterol bindin response to chole signaling from the SMO activity may

of many G-protein coupled receptors but also sufficient to activate signaling by nunication system in development. Smoothened (SMO), an orphan GPCR that ectly a ls. Unlike many GPCRs, which are ane in all nembrane domains, SMO is activated by eptahelical tra eine-rich domain CRD). Residues shown to mediate ant structural analysis also dictate SMO activation, both in and to native th ligands. Our results show that cholesterol can initiate surface by engaging the extracellular domain of a GPCR and suggest that egulated by local changes in cholesterol abundance or accessibility.

*For correspondence: christian@ strubi.ox.ac.uk (CS); rrohatgi@ stanford.edu (RR)

[†]These authors contributed equally to this work

Competing interests: The authors declare that no competing interests exist.

Funding: See page 19

Received: 05 August 2016 Accepted: 03 October 2016 Published: 05 October 2016

Introduction

DOI: 10.7554/eLife.2

Cholesterol, which makes up nearly half of the lipid molecules in the plasma membrane of animal cells, can influence many signal transduction events at the cell surface. It plays an important role in modulating the function of cell-surface receptors, including G-protein coupled receptors (GPCRs),

Cited By

Sonic Hedgehog Activates Phospholipase A2 to Enhance Smoothened Ciliary Translocation

AM Arensdorf, ME Dillard, JM Menke, MW Frank, CO Rock, SK Article

Hedgehog Signaling: From Basic Biology to Cancer Therapy

F Wu, Y Zhang, B Sun, AP McMahon, Y Wang

Cholesterol Modification of Smoothened Is Required for

Hedgehog Signaling

X Xiao, J Tang, C Peng, Y Wang, L Fu, Z Qiu, Y Xiong, L Yang, H ..

Crystal structure of a multi-domain human smoothened receptor in complex with a super stabilizing ligand

X Zhang, F Zhao, Y Wu, J Yang, GW Han, S Zhao, A Ishchenko,

Cholesterol

D Sviridov, N Mukhamedova

Article

Article

From inflammation to gastric cancer - the importance of Hedgehog/GLI signaling in Helicobacter pylori-induced chronic inflammatory and neoplastic diseases

S Wessler, LM Krisch, DP Elmer, F Aberger

Article

A new trick for an old lipid

H Sharpe







Web of Science

□ RADIOLOGY NUCLEAR MEDICINE



52 (de Colección principal de Web of Science)	
Science)	e 6
Para: Neural Correlates of HateMás Guardar en EndNote online Agregar a la lista de registros marcados IIII Crear informe de c	oitae
Recuentos de veces citado 54 en todas las bases de datos 52 en la Colección principal de Web of Science 35 en BIOSIS Citation Index 1 en Chinese Science Citation Database 0 conjuntos de datos en Data Citation Index Ver abstract 1. Tribal love: the neural correlates of passionate engagement in football fans Por: Duarte, Isabel C.; Afonso, Sonia; Jorge, Helena; et ál SOCIAL COGNITIVE AND AFFECTIVE NEUROSCIENCE Volumen: 12 Número: 5 Páginas: 718-728 Fecha Ver abstract Ver abstract Ver abstract	ados
0 publicación en Data Citation Index 1 en Russian Science Citation Index 0 en SciELO Citation Index Ver recuentos de veces citado adicionales 2. Mean diffusivity of basal ganglia and thalamus specifically associated with motivational states (en la Colección principe de Web of Science) Por: Takeuchi, Hikaru; Taki, Yasuyuki; Sekiguchi, Atsushi; et ál BRAIN STRUCTURE & FUNCTION Volumen: 222 Número: 2 Páginas: 1027-1037 Fecha de publicación: MAR 2017 Ver abstract	oal
Refinar resultados 3. Neural correlates of subliminally presented visual sexual stimuli Por: Wernicke, Martina; Hofter, Corinna; Jordan, Kirsten; et ál CONSCIOUSNESS AND COGNITION Volumen: 49 Páginas: 35-52 Fecha de publicación: MAR 2017 Texto completo de la editorial Ver abstract Ver abstract Ver abstract Conteo de uso	oal
Años de publicación 4. Brain fingerprints of olfaction: a novel structural method for assessing olfactory cortical networks in health and disease 9.014 (10) 9.013 (10) 9.015 (9) 9.016 (8) 9.017 (5) 4. Brain fingerprints of olfaction: a novel structural method for assessing olfactory cortical networks in health and disease 9.014 (10) 9.015 (10) 9.015 (10) 9.016 (10) 9.016 (10) 9.017 (10) 9.018 (10) 9.018 (10) 9.019 (10) 9.	oal
más opciones / valores Refinar Categorías de Web of Science ▼ NEUROSCIENCES (23) PSYCHIATRY (12) Determinants and outcomes of brand hate Veces citado: 0 (en la Colección principe de Web of Science) Conteo de uso ▼ Ver abstract Veces citado: 0 (en la Colección principe de Web of Science) Conteo de uso ▼ Conteo de uso ▼	oal



http://journals.plos.org/plosone/article?id=10.1371/journal.pone.0003556



140C

How many citations are open today?

"citas abiertas"

https://i4oc.org

As of July 217, the formula of your pen references has grown from 1% to more than 45% out of the nearly

I40C

DOI y metadatos

Initiative for



The Initiative for Open Citations 140C is a collaboration between scholarly publishers, researchers, and other interested parties to promote the unrestricted availability of scholarly citation data.









binding, characterized by a constant kinetic off-rate, the distribution of observed dwell times, τ_{obs} , is described by

$$f\left(au_{obs}
ight) = \left(\left\langle au_{bl}
ight
angle^{-1} + \left\langle au_{off}
ight
angle^{-1}
ight)e^{- au_{obs}\left(\left\langle au_{bl}
ight
angle^{-1} + \left\langle au_{off}
ight
angle^{-1}
ight)},$$

where $\langle \tau_{bl} \rangle^{-1}$ is the photobleaching rate (k_b) , $\langle \tau_{off} \rangle^{-1}$ is the unbinding rate (k_{off}) , and $(\langle \tau_{bl} \rangle^{-1} + \langle \tau_{off} \rangle^{-1})^{-1} = \langle \tau_{obs} \rangle$ is the observed mean dwell time in this experiment. The observed dwell time distributions are roughly exponential, as is expected for molecular binding. Thus by measuring both k_{bl} and $\langle \tau_{obs} \rangle$ it is possible to determine $\langle \tau_{off} \rangle$ as long as $\langle \tau_{obs} \rangle \leq \langle \tau_{bl} \rangle$. We determine $\langle \tau_{off} \rangle$ to be 53.8 \pm 12.2 s for AND and 5.2 \pm 0.2 s for 5c.c7 TCRs for Atto488-labeled peptide agonist with $\langle \tau_N \rangle$ of 300 and 30 s respectively (Figure 5A,B). While fluorescent labels can affect binding kinetics, we measure similar values of $\langle \tau_{off} \rangle$ with both Atto647N and Atto488 labeled peptides (see, e.g., Figures 1C, 3, and 4A,C). $\langle \tau_{off} \rangle$ is also relatively unchanged at high agonist pMHC density (100 molecules/µm2), which is far above minimal levels required for T cell activation and observation of stable TCR microclusters (Manz et al., 2011) (Figure 5C). We observe that cytoskeleton disruption by the actin-binding molecule, Latrunculin A, moderately increases $\langle \tau_{off} \rangle$ with the AND TCR and had no significant effect on 5c.c7 kinetics (Figure 5C). Similarly, the dwell time distribution was only modestly affected by anti-CD4 (data not shown); however, the total number of TCR:pMHC complexes per cell was smaller in the anti-CD4 experiments, suggesting that the antibody interfered with pMHC:TCR binding.

Tracking observations reveal the time intervals over which individual agonist









REFERENCE



T-cell triggering thresholds are modulated by the number of antigen within individual T-cell receptor clusters

BN Manz, BL Jackson, RS Petit, ML Dustin, J Groves

Proc Natl Acad Sci USA, 108: 9089-9094, 2011

DOI: http://dx.doi.org/10.1073/pnas.1018771108

REFERENCE



Kinetics of T-cell receptor binding to peptide/I-Ek complexes: correlation of the dissociation rate with T-cell responsiveness

K Matsui, JJ Boniface, P Steffner, PA Reay, MM Davis

Proc Natl Acad Sci USA, 91: 12862-12866, 1994

DOI: http://dx.doi.org/10.1073/pnas.91.26.12862

REFERENCE



Kinetic proofreading in T-cell receptor signal transduction TW McKeithan

Proc Natl Acad Sci USA, 92: 5042-5046, 1995

DOI: http://dx.doi.org/10.1073/pnas.92.11.5042

REFERENCE



Structural basis of specificity and cross-reactivity in T cell receptors specific for cytochrome c-I-E(k)











Brought to you by:

ScienceDirect **ELSEVIER**

ScienceDirect

Journals

Books

Register

Sign in >

Universidad Nacional Autonoma de Mexico - DGB



Download PDF

Export V

Search ScienceDirect



Outline

Keywords

Main Text

Author Contributions

Acknowledgments

References

Show full outline V

Figures (5)











Tables (3)



⊞ Table 2

⊞ Table 3

Cell Chemical Biology

Volume 24, Issue 3, 16 March 2017, Pages 252-280

Review

Hedgehog Signaling: From Basic Biology to Cancer Therapy

Fujia Wu 1, 2, Yu Zhang 1, Bo Sun 1, Andrew P. McMahon 3, Yu Wang 1, 2 A M

Show more

https://doi.org/10.1016/j.chembiol.2017.02.010

Get rights and content

CelPress

The Hedgehog (HH) signaling pathway was discovered originally as a key pathway in embryonic patterning and development. Since its discovery, it has become increasingly clear that the HH pathway also plays important roles in a multitude of cancers. Therefore, HH signaling has emerged as a therapeutic target of interest for cancer therapy. In this review, we provide a brief overview of HH signaling and the key molecular players involved and offer an up-to-date summary of our current knowledge of endogenous and exogenous small molecules that modulate HH signaling. We discuss experiences and lessons learned from the decades-long efforts toward the development of cancer therapies targeting the HH pathway. Challenges to develop next-generation cancer therapies are highlighted.

Keywords

hedgehog signaling; smoothened; GLI; endogenous smoothened regulation; cholesterol;

Recommended articles

Hedgehog Signal Transduction: Key Players, On... Developmental Cell, Volume 38, Issue 4, 2016, pp. 3...

Download PDF View details V

Hedgehog signaling pathway as a therapeutic tar. Cancer Epidemiology, Volume 40, 2016, pp. 152-157

Download PDF View details V

Hedgehog Pathway Modulation by Multiple Lipid ... Developmental Cell, Volume 26, Issue 4, 2013, pp. 3...

■ Download PDF View details ∨

View more articles >

Citing articles (0)

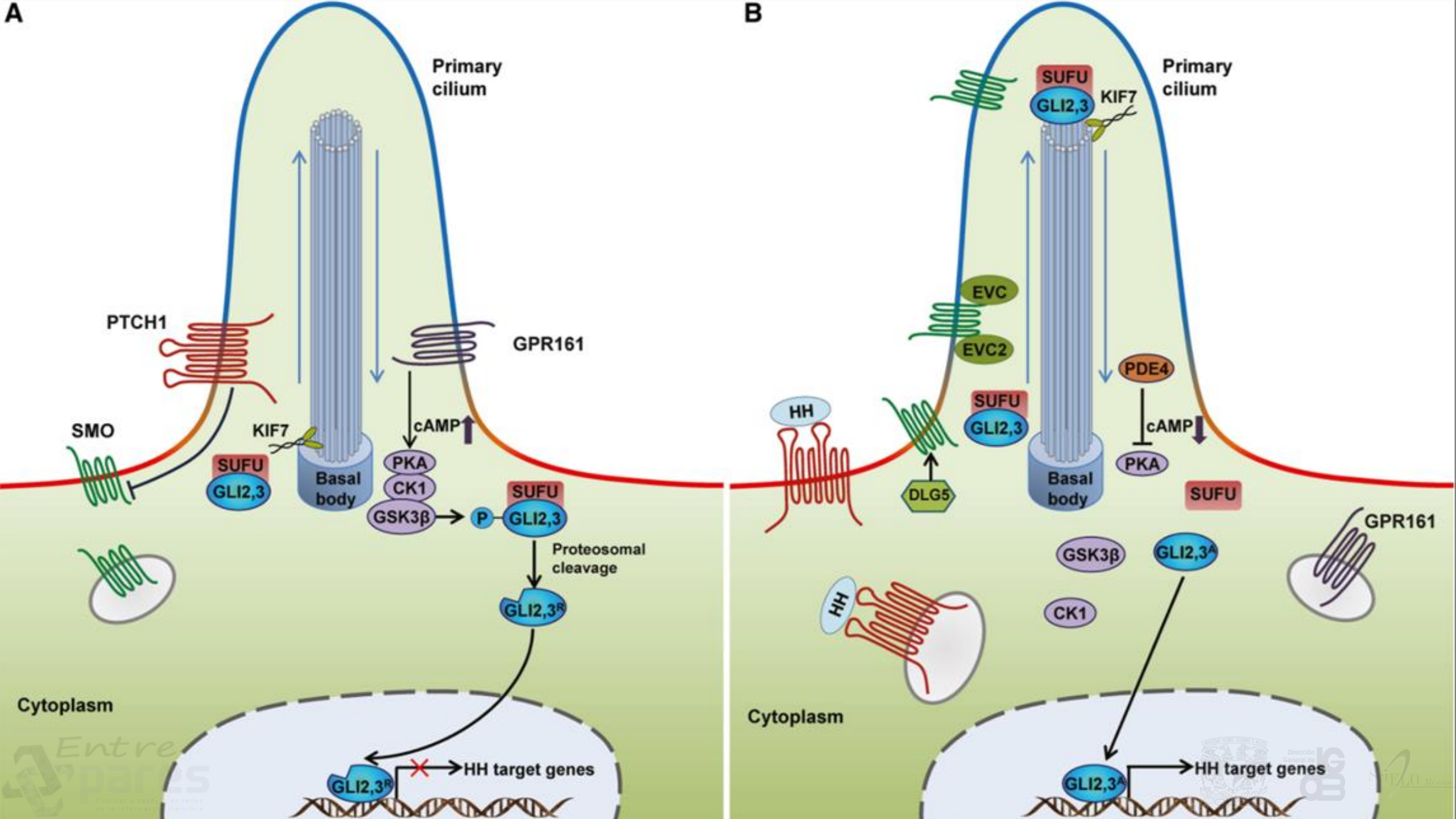












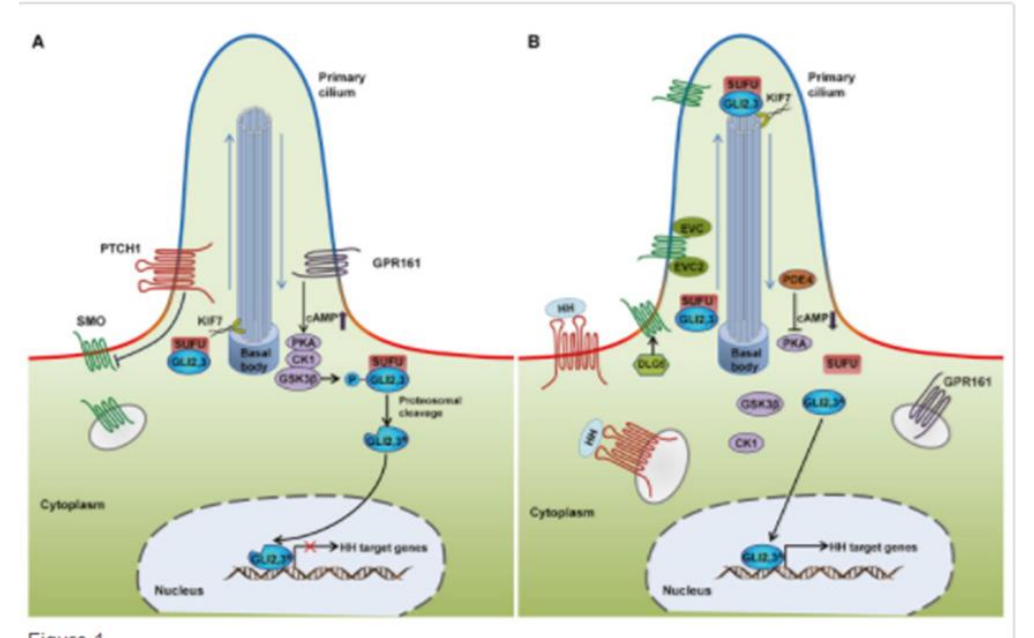


Figure 1. Schematic Illustrations of the Mammalian HH Signaling Pathway

(A) In the absence of HH ligand, PTCH1 localizes at the base of the PC (a subcellular membrane extension with high levels of PI4P (blue) but low levels of PI(4,5)P $_2$ (red)), and inhibits SMO accumulation in the PC and consequently SMO activity. The GLI transcription factors GLI2 and GLI3 are sequestered in the cytoplasm by SUFU and phosphorylated by PKA, CK1, and GSK3 β . GPR161, a ciliary G-protein-coupled receptor localized at the base of the PC, can activate PKA through increasing the cAMP levels, promoting the phosphorylation of GLI2 and GLI3. Phosphorylated GLI2 and GLI3 are processed by the proteasome into repressor forms (GLI2^R and GLI3^R).

(B) Upon ligand binding, PTCH1 and GPR161 are displaced from the PC and SMO interacts with DLG5 and translocates into the PC. Within the PC, SMO forms a complex with EVC and EVC2 to transduce the

HH signaling response. Activated PC. GLI2 and GLI3 maintain their restrained by a decreased level of cAMP by phosphodiesterase 4 (Pt translocate to the nucleus and ind proteins within the PC occurs in coproteins.

In the absence of an HH ligar accumulation of SMO, a nec

Figure options -

Download full-size image

Download high-quality image
(888 K)

Download as PowerPoint slide

truncating PTCH's cytoplasmic tail by varying lengths leads to highly correlated SMO









BioMed Central

BioMed Central

Springer

Microbiome

<?xml-stylesheet type="text/xsl" href="/resources/spdi-open-jats.xsl"?>

amyguaia anu premontareortex

Alan E. Hoban, Roman M. Stilling, Gerard M. Moloney, Rachel D. Moloney, Fergus Shanahan, Timothy G. Dinan, John F. Cryan and Gerard Clarke 🔤

Microbiome 2017 5:102 https://doi.org/10.1186/s40168-017-0321-3 © The Author(s). 2017 Received: 8 February 2017 | Accepted: 1 August 2017 | Published: 25 August 2017

Abstract

Background

There is growing evidence for a role of the gut microbiome in shaping behaviour relevant to many psychiatric and neurological disorders. Preclinical studies using germ-free (GF) animals have been essential in contributing to our current understanding of the potential importance of the host microbiome for neurodevelopment and behaviour. In particular, it has been repeatedly demonstrated that manipulation of the gut microbiome modulates anxiety-like behaviours. The neural circuits that underlie anxiety- and fear-related behaviours are complex and heavily depend on functional communication between the amygdala and prefrontal cortex (PFC). Previously, we have shown that the transcriptional networks within the amygdala and PFC of GF mice are altered. MicroRNAs (miRNAs) act through translational repression to control gene translation and have also been implicated in anxiety-like behaviours. However, it is unknown whether these features of host post-transcriptional machinery are also recruited by the gut microbiome to exert control over CNS transcriptional networks.

Results

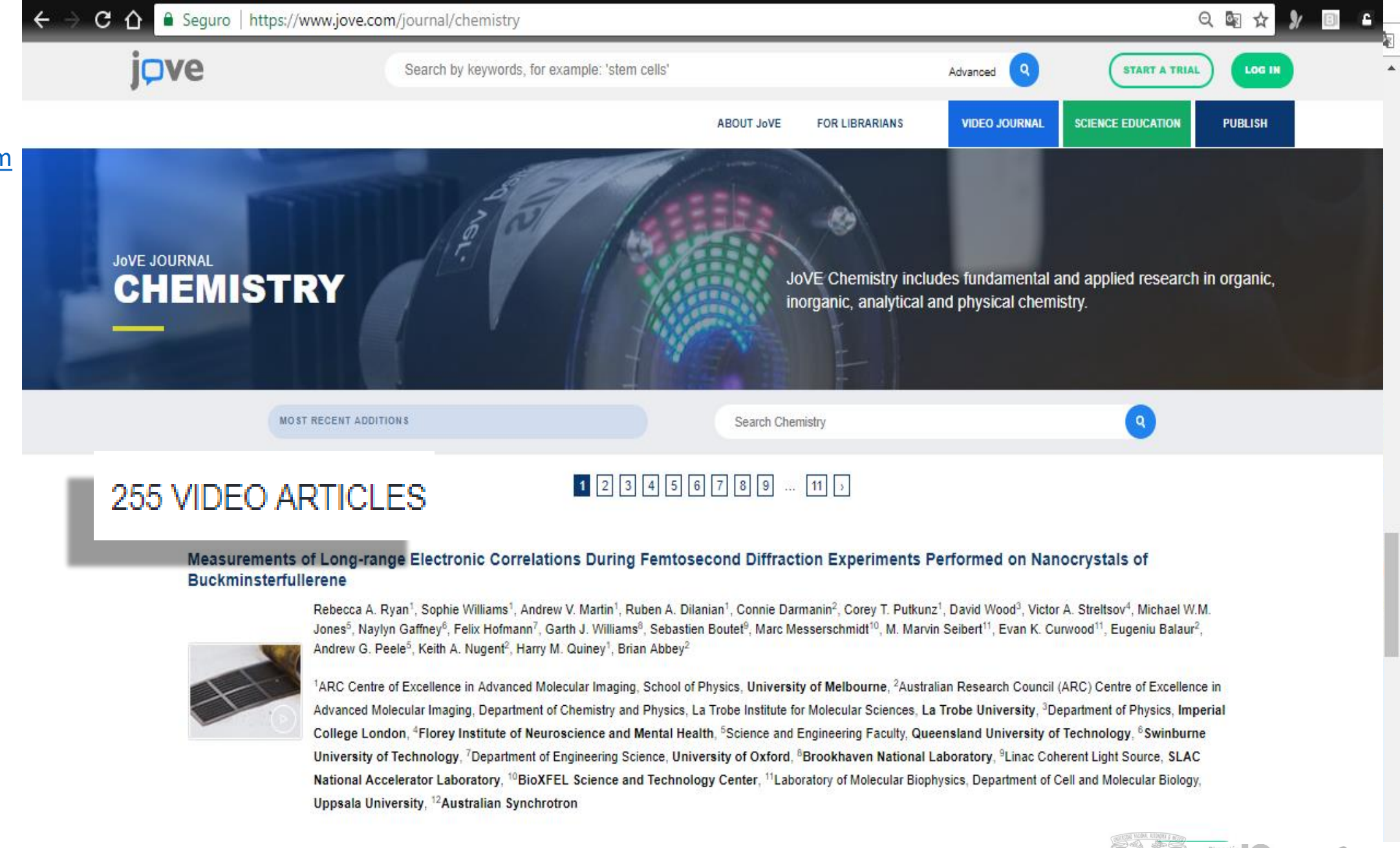
We conducted Illumina® next-generation sequencing (NGS) in the amygdala and PFC of conventional, GF and germ-free colonized mice (exGF). We found a large proportion of miRNAs to be dysregulated in GF animals in both brain regions (103 in the amygdala and 31 in the PEC). Additionally, colonization of GE



https://microbiomejournal.biomedcentral.com/articles/10.1186/s40168-017-0321-3

Jove

https://www.jove.com









C ↑ Seguro | https://www.jove.com/video/56296/measurements-long-range-electronic-correlations-during-femtosecond

j□ve

Search by keywords, for example: 'stem cells'

Jove

https://www.jove.com



ISSUE 126 : DOI: 10.3791/56296

DOWNLOAD PDF





Video Article

Measurements of Long-range Electronic Correlations During Femtosecond Diffraction Experiments Performed on Nanocrystals of Buckminsterfullerene

Rebecca A. Ryan¹, Sophie Williams¹, Andrew V. Martin¹, Ruben A. Dilanian¹, Connie Darmanin², Corey T. Putkunz¹, David Wood³, Victor A. Streltsov⁴, Michael W.M. Jones⁵, Naylyn Gaffney⁶, Felix Hofmann⁷, Garth J. Williams⁸, Sebastien Boutet⁹, Marc Messerschmidt¹⁰, M. Marvin Seibert¹¹, Evan K. Curwood¹¹, Eugeniu Balaur², Andrew G. Peele⁵, Keith A. Nugent², Harry M. Quiney¹, Brian Abbey²

¹ARC Centre of Excellence in Advanced Molecular Imaging, School of Physics, University of Melbourne

²Australian Research Council (ARC) Centre of Excellence in Advanced Molecular Imaging, Department of Chemistry and Physics, La Trobe Institute for Molecular Sciences, La Trobe University

³Department of Physics, Imperial College London

⁴Florey Institute of Neuroscience and Mental Health

⁵Science and Engineering Faculty, Queensland University of Technology

⁶Swinburne University of Technology

⁷Department of Engineering Science, University of Oxford

Brookhaven National Laboratory

⁹Linac Coherent Light Source, SLAC National Accelerator Laboratory

¹⁰BioXFEL Science and Technology Center

¹¹Laboratory of Molecular Biophysics, Department of Cell and Molecular Biology, Uppsala University

¹²Australian Synchrotron

Correspondence to: Harry M. Quiney at quiney@unimelb.edu.au, Brian Abbey at B.Abbey@latrobe.edu.au

URL: https://www.jove.com/video/56296

DOI: doi:10.3791/56296

Keywords: Chemistry, Issue 126, Nanocrystallography, Femtosecond X-ray Diffraction, Correlated Electron Dynamics, X-ray Free Electron Lasers, Linac Coherent Light Source, Buckminsterfullerene

Date Published: 8/22/2017

Citation: Ryan, R.A., Williams, S., Martin, A.V., Dilanian, R.A., Darmanin, C., Putkunz, C.T., Wood, D., Streltsov, V.A., Jones, M.W., Gaffney, N., Hofmann, F., Williams, G.J., Boutet, S., Messerschmidt, M., Seibert, M.M., Curwood, E.K., Balaur, E., Peele, A.G., Nugent, K.A., Quiney, H.M., Abbey, B. Measurements of Long-range Electronic Correlations During Femtosecond Diffraction Experiments Performed on Nanocrystals of Buckminsterfullerene. J. Vis. Exp. (126), e56296, doi:10.3791/56296 (2017).

Abstract

The precise details of the interaction of intense X-ray pulses with matter are a topic of intense interest to researchers attempting to interpret the results of femtosecond X-ray free electron laser (XFEL) experiments. An increasing number of experimental observations have shown that although nuclear motion can be negligible, given a short enough incident pulse duration, electronic motion cannot be ignored. The current and widely accepted models assume that although electrons undergo dynamics driven by interaction with the pulse, their motion could largely be considered 'random'. This would then allow the supposedly incoherent contribution from the electronic motion to be treated as a continuous background signal and thus ignored. The original aim of our experiment was to precisely measure the change in intensity of individual Bragg peaks, due to X-ray induced electronic damage in a model system, crystalline C₆₀. Contrary to this expectation, we observed that at the highest X-ray intensities, the electron dynamics in C₆₀ were in fact highly correlated, and over sufficiently long distances that the positions of the Bragg reflections are significantly altered. This paper describes in detail the methods and protocols used for these experiments, which were conducted both at the Linac Coherent Light Source (LCLS) and the Australian Synchrotron (AS) as well as the crystallographic approaches used to analyse the data.

Video Lin

The video component of this article can be found at https://www.jove.com/video/56296/

Introduction

One of the major purposes of X-ray free electron lasers (XFELs) is to develop a high throughput, high resolution approach to molecular imaging and dynamics. Structural biology depends on atomic scale information, traditionally limited to lower resolution X-ray crystallography techniques performed at third generation synchrotrons. Long exposure times which cause significant radiation damage in crystals, greatly affect the resolution achieved using traditional techniques. The snapshot diffraction imaging scheme^{2,3,4} employed at XFELs, involves collecting diffraction images from short pulse X-rays hitting either fixed target samples (which are translated across the beam focus) or samples injected into the path of the beam.





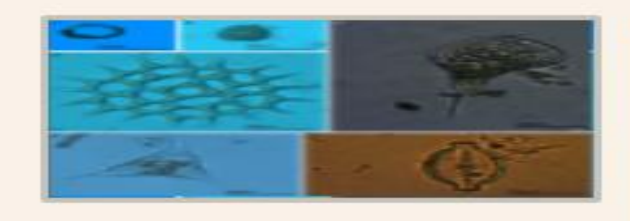
<?xml version="1.0" encoding="utf-8"?><!DOCTYPE ArticleSet PUBLIC '-//NLM//DTD PubMed 2.0//EN' 'http://www.ncbi.nlm.nih.gov:80/entrez/query/static/PubMed.dtd'><ArticleSet><Article><Journal>

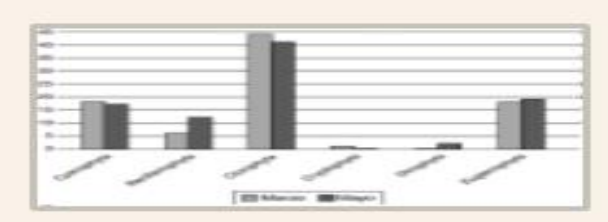
Jove

https://www.jove.com

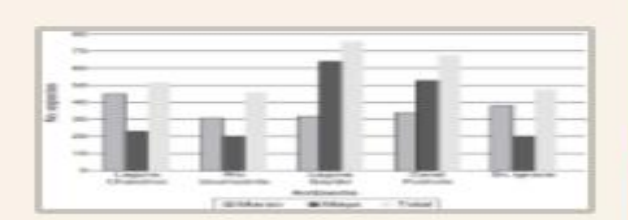
PubStatus='epublish'><Year>2017</Year><Month>8</Month><Day>22</Day></PubDate></Journal> <ArticleTitle>Quantitative Immunofluorescence to Measure Global Localized Translation</ArticleTitle><ELocationID EIdType='doi'>10.3791/55909</ELocationID> <Language>EN</Language><AuthorList><Author><FirstName>Jonathan</FirstName> <LastName>Bergeman/LastName><Affiliation>Centre de Recherche sur le Cancer de 1'Université Laval, Faculté de Médecine, Département de Biologie molé culaire, biochimie mé dicale et pathologie, Université Laval</Affiliation> </Author><Author><FirstName>Marc-Étienne</FirstName><LastName>Huot</LastName> <Affiliation>Centre de Recherche sur le Cancer de l’Université Laval, Faculté de Mé decine, Dé partement de Biologie molé culaire, biochimie mé dicale et pathologie, Université Laval; CRCHU de Qué bec: L' Hô tel-Dieu de Québec; Marc-Etienne.Huot@crchudequebec.ulaval.ca</Affiliation></Author></AuthorList> <ArticleIdList><ArticleId IdType='doi'>10.3791/55909</ArticleId></ArticleIdList><Abstract>The mechanisms regulating mRNA translation are involved in various biological processes, such as germ line development, cell differentiation, and organogenesis, as well as in multiple diseases. Numerous publications have convincingly shown that specific mechanisms tightly regulate mRNA translation. Increased interest in the translation-induced regulation of protein expression has led to the development of novel methods to study and follow de novo protein synthesis in cellulo. However, most of these methods are complex, making them costly and often limiting the number of mRNA targets that can be studied. This manuscript proposes a method that maguines only basic mangants and a confess! fluorescence imaging system to manages and





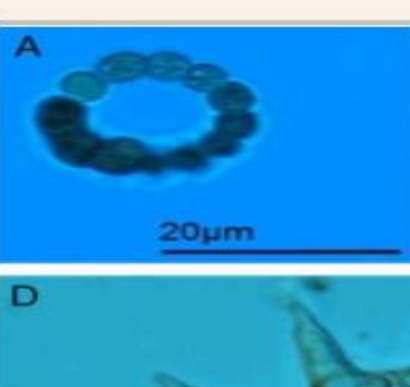


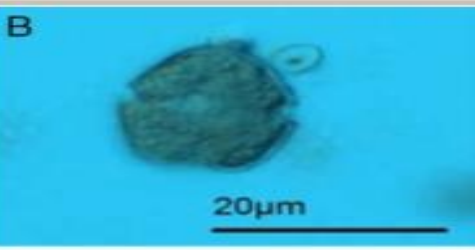
En cuanto a la presencia de las especies e Monoactinus simplex (Meyen) Corda y Sce ellos. En el río Usumacinta se obtuvo el n encontró la mayor riqueza específica en r fitoplancton se registraron a una tempera y oxígeno disuelto de 10.7 a 24.8 mgL⁻¹ (

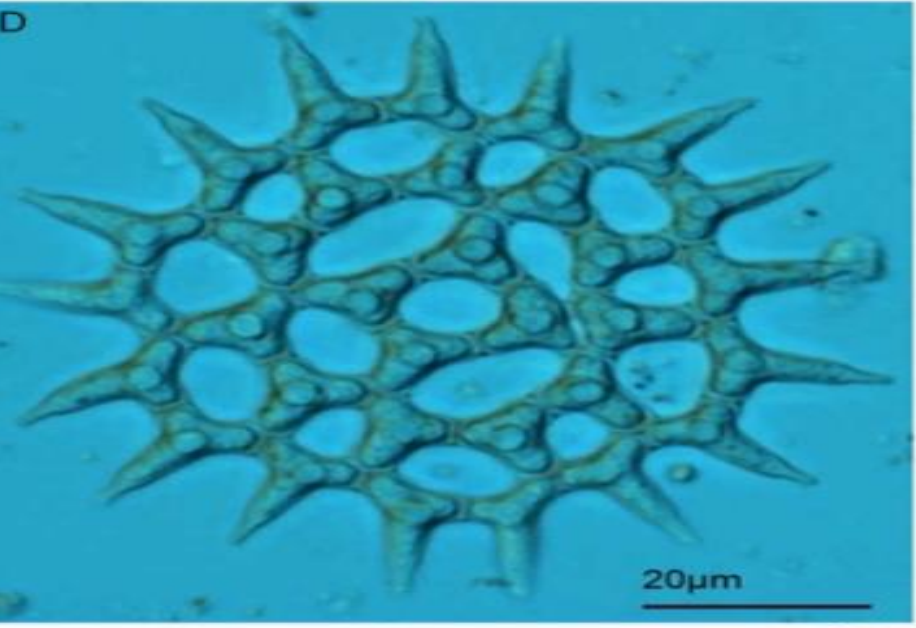


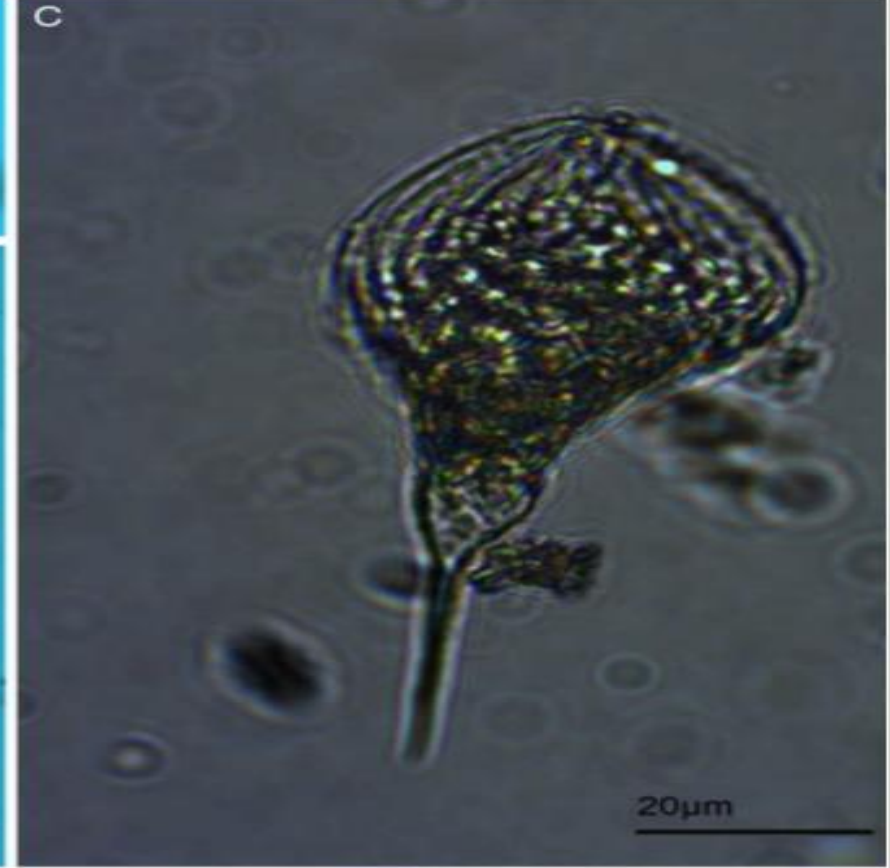
Discusión

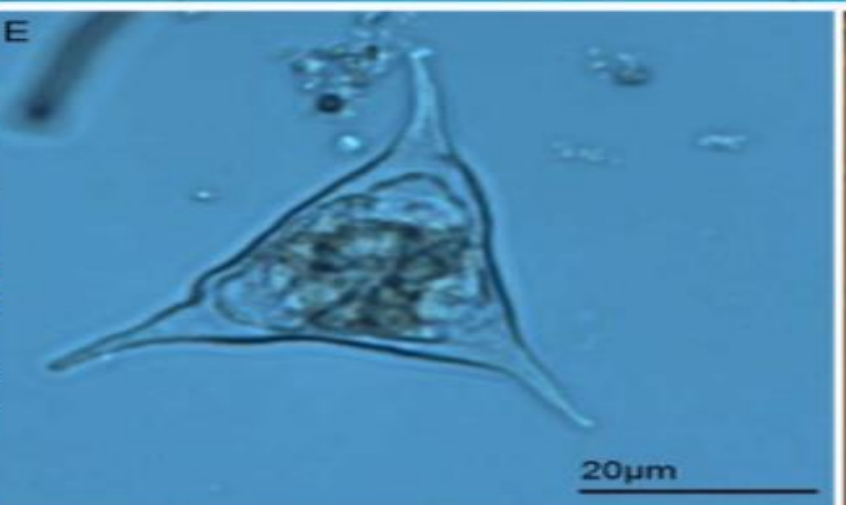
La presencia de 129 taxones dulceacuícol considera que el muestreo se realizó solo otros trabajos como el del río González y 273 especies (Moreno-Ruiz Tepia-Gorzia González Moreno-Ruiz Tepia-Gorzia González Moreno-Ruiz Tepia-Gorzia González Moreno-Ruiz Tepia-Gorzia González embargo, hay que considerar que el mues (secas), mientras que los de río González nortes). Otros trabajos como el de la pení Alegre, Brasil (Glor 1999), reportaron 150 e obtenido aquí.







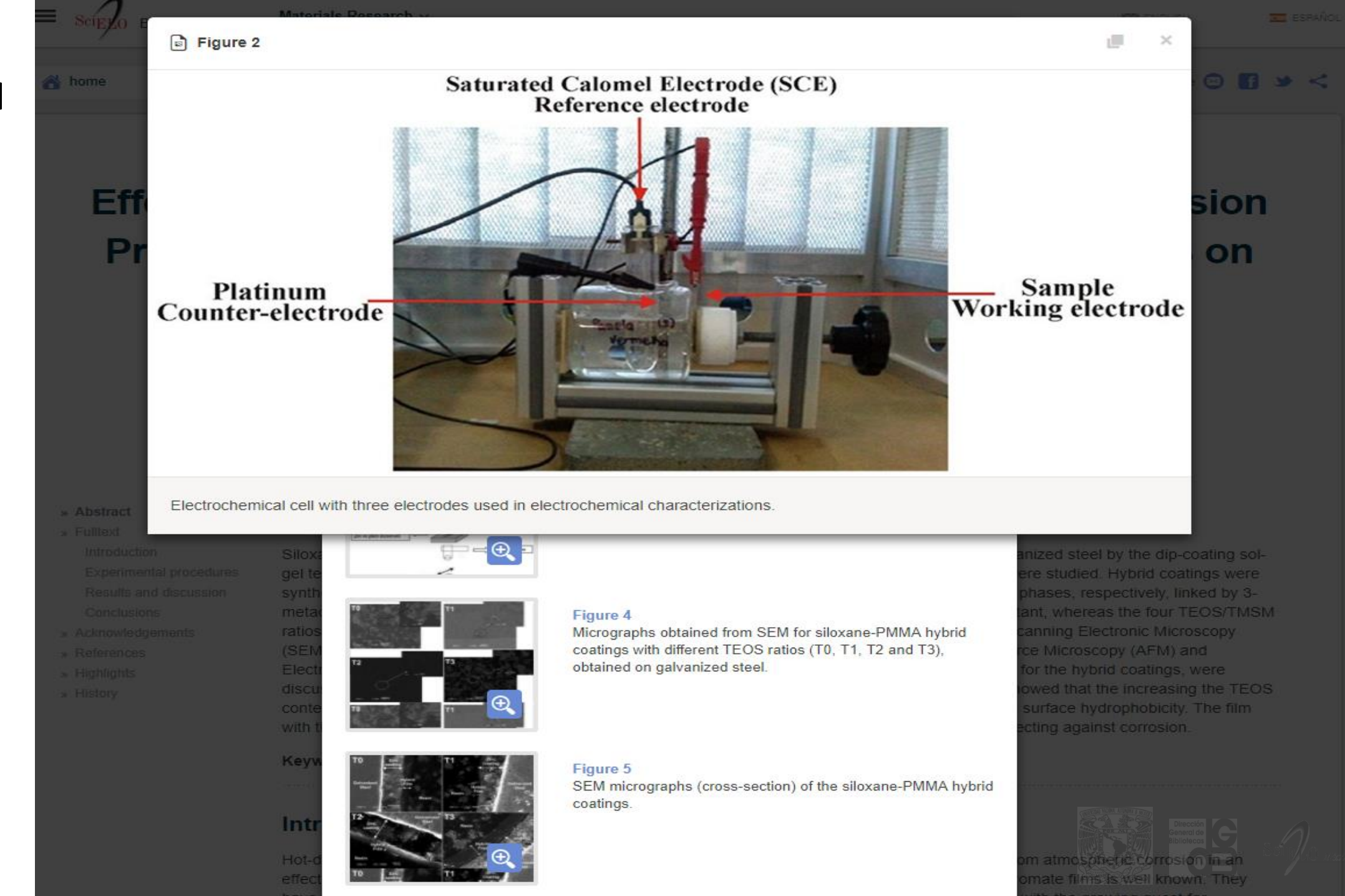








SciELO-Brasil



















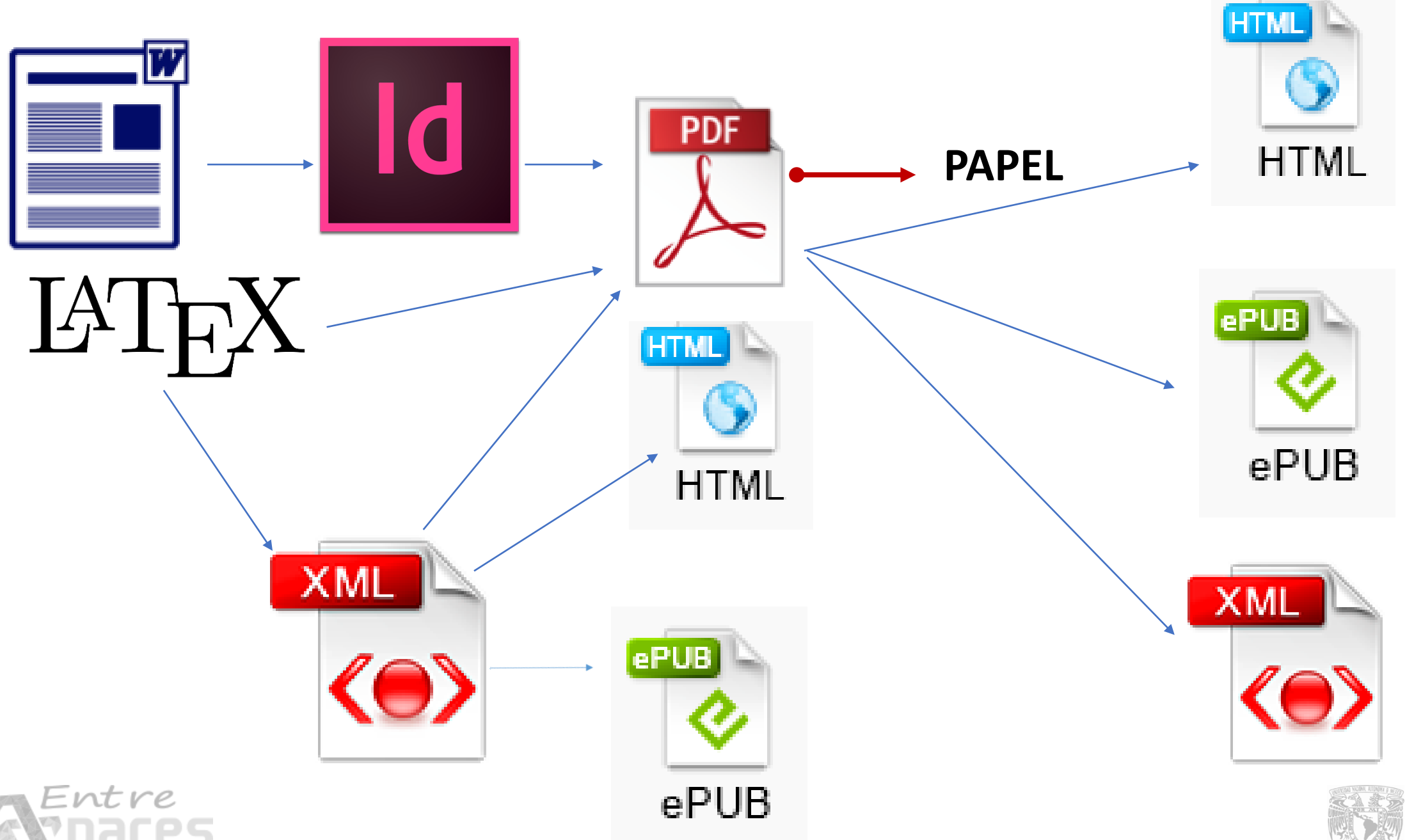
verso de histituciones de nimigrantes cimios en iviexico (vease 📔 Cuadro 2) podemos en la actuandad

clasificar a las asociaciones de inmigrantes chinos en México en cuatro grandes grupos:

CHARLES HOLD	The second secon	
	province Theory Steel	de a company
	A three days and the second of	
6 - 6	4. A 4. C C C C C C C C C C C C C C C C C C	- Anna Anna Anna Anna Anna Anna A
	Lapore color while and discount to seem a consum-	Transparing or house an arra
Common	La more de la companya de la company	Larrent transference:
******	Winderson and Charles and the second	
N. P. C. S. P. Com.	A STATE OF THE PARTY OF THE PAR	MATERIAL SERVICE SERVICE
	Character and the second secon	Court adjusted
	Appendix of the second	25 1-2-20-20-20-20-20-20-20-20-20-20-20-20-2
	And the second of the second o	
** **	and the same of th	and the second second
	4	4
		A CONTRACTOR AND ADDRESS OF THE PARTY OF THE
X CONTRACTOR OF THE	4 4 4 4 4 4 4 4 4 4 4 4 4 4 4 4 4 4 4 4	
		SANTANTANIA CARLANDO ANTO ANADAS ANTO
	personal discovering the contractions	###

- 1. Instituciones históricas de inmigrant China y/o de Estados Unidos, en el pr varias de estas instituciones están er la segunda mitad del siglo XX se crea particularmente mexicanos-. Estas ir la menor relevancia de las discrepano
- 2. Instituciones formadas por descendie recientemente y buscan profundizar, condiciones antichinas que perdurare mayoría de nacionalidad mexicana y

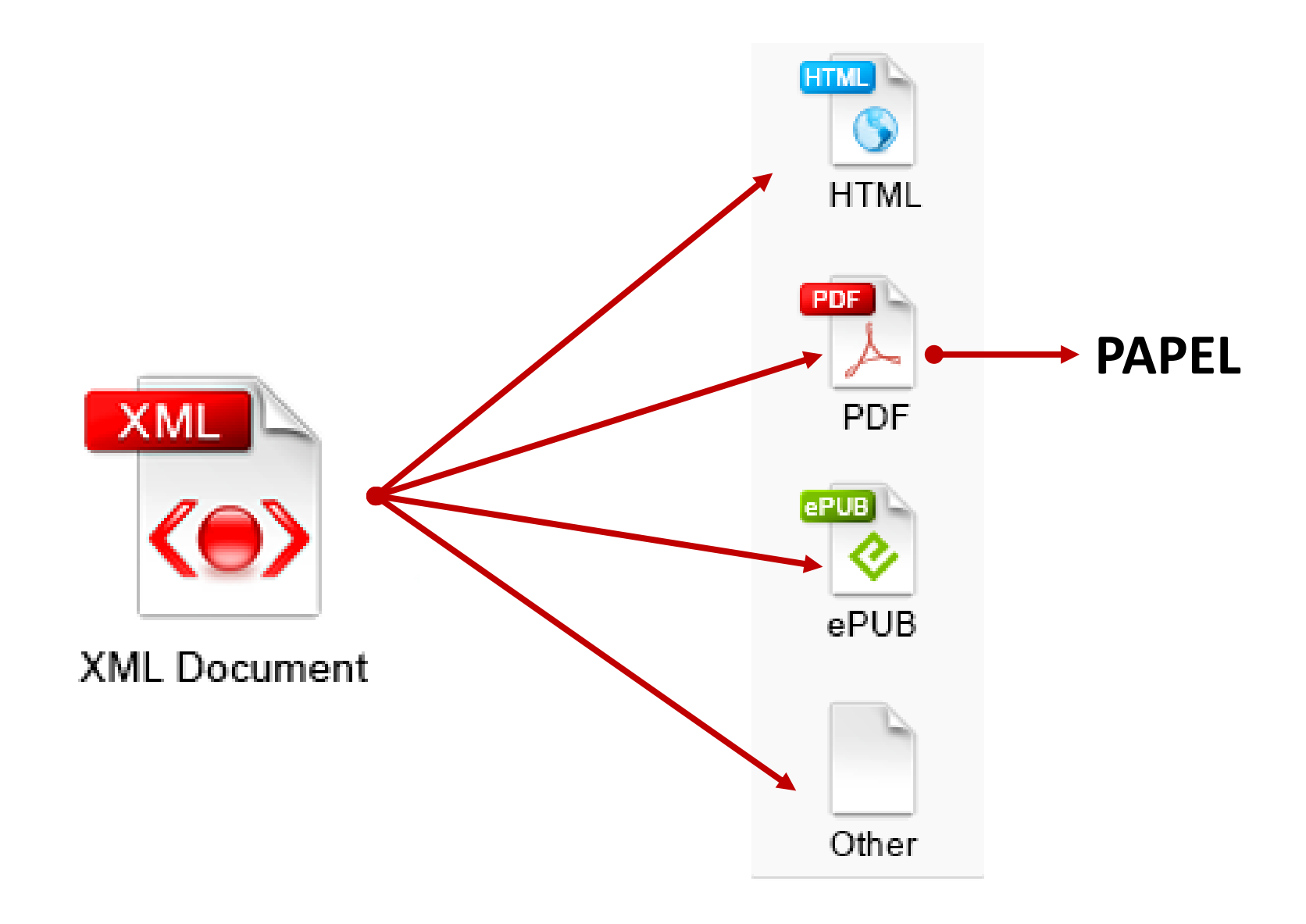
	MUNICIPIO	ASOCIACIÓN	PRINCIPAL ACTIVIDAD	
Entered by the second of the s	BAJA CALIFORNIA NORTE			
. Instituciones históricas de inmigrante	Mexicali	Asociación de Mexicali	Cultural y representar a la comunidad china ante cual- quier instancia gubernamen- tal y civil.	
China y/o de Estados Unidos, en el pri		Asociación Zhong Shan	Cívico-culturales	
varias de estas instituciones están en		Asociación Lung Kung	Cívico-culturales	
la segunda mitad del siglo XX se crear		Escuela de Idioma ChinoTianji	Enseñanza del mandarín	
particularmente mexicanos Estas in:		Logia Masónica China en Baja California,		
la menor relevancia de las discrepanci		Núm. 20 (Ming ChihTang)		
•		Asociación Chung Shan de Baja California	Cívico-culturales	
. Instituciones formadas por descendie		Asociación Sam Yap A.C.	Cívico-culturales	
recientemente y buscan profundizar,		Asociación Leon Chong How Tog	Cívico-culturales	
condiciones antichinas que perduraro		Asociación Hoy Yin	Cívico-culturales	
mayoría de nacionalidad mexicana y s		Asociación Chew Lun	Cívico-culturales	
datan de tres o cuatro generaciones. E		Asociación Yee Fong Toy Tong	Cívico-culturales	



















XML + **Jats** [DTD]



Journal Article Tag Suite

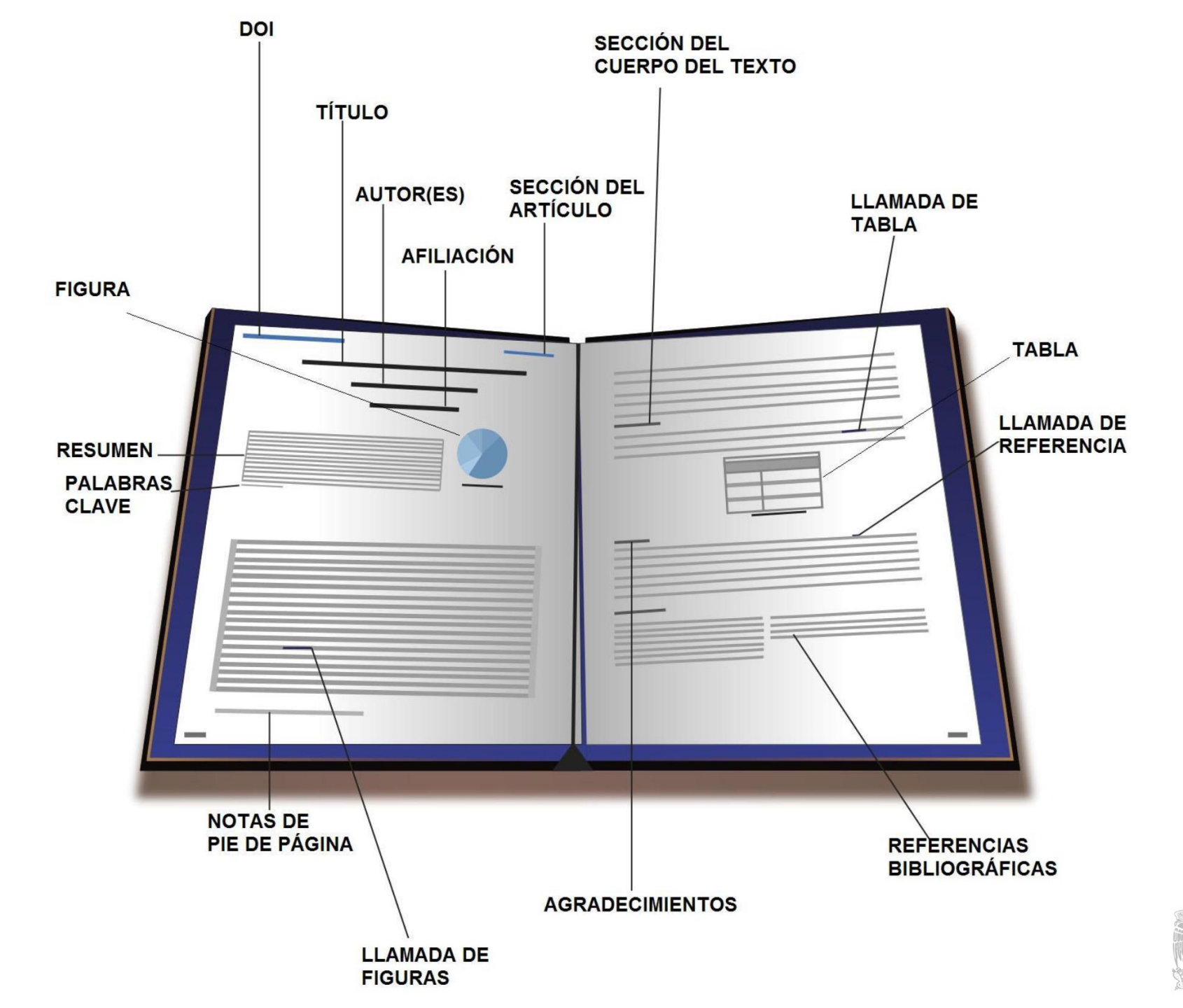
 Formato XML que define la estructura para la identificación y marcación de los elementos de un artículo científico

 La norma fue creada por la National Library of Medicine (NLM) para la estructuración de textos completos del repositorio PubMed Central

Estándar NISO Z39.96-2012













Estructuración y validación de textos completos XML

Lineamientos o reglas sobre la estructura y elementos que debe contener:

- campos obligatorios y no obligatorios
- datos repetibles y no repetibles
- asentamiento correcto: caracteres y números para fechas, secuencia de fechas, números...

XML

Document Type Definition (DTD)

```
<!ELEMENT authorp - - (author | corpauth)+ >
              -- ((%m.name;) | anonym) >
<!ELEMENT author
<!ELEMENT corpauth - - (%m.org;) >
               - - (#PCDATA) >
<!ELEMENT surname
               - - (#PCDATA) >
               - - (#PCDATA) >
               - - (%m.org;) >
<!ELEMENT orgname
               - - (#PCDATA) >
<!ELEMENT orgdiv
               - - (#PCDATA) >
'<!ELEMENT anonym</pre>
               - - (#PCDATA) >
```



validación



OJS

Open Journal Systems

Publicación en línea





Scientific Electronic Library Online

Publicación en línea



Base de datos bibliométrica



colecciones de Revistas

Argentina

Bolivia

Brasil

L Chile

Colombia

Costa Rica

Cuba

España

■ México

Perú

Portugal

Sudáfrica

Uruguay

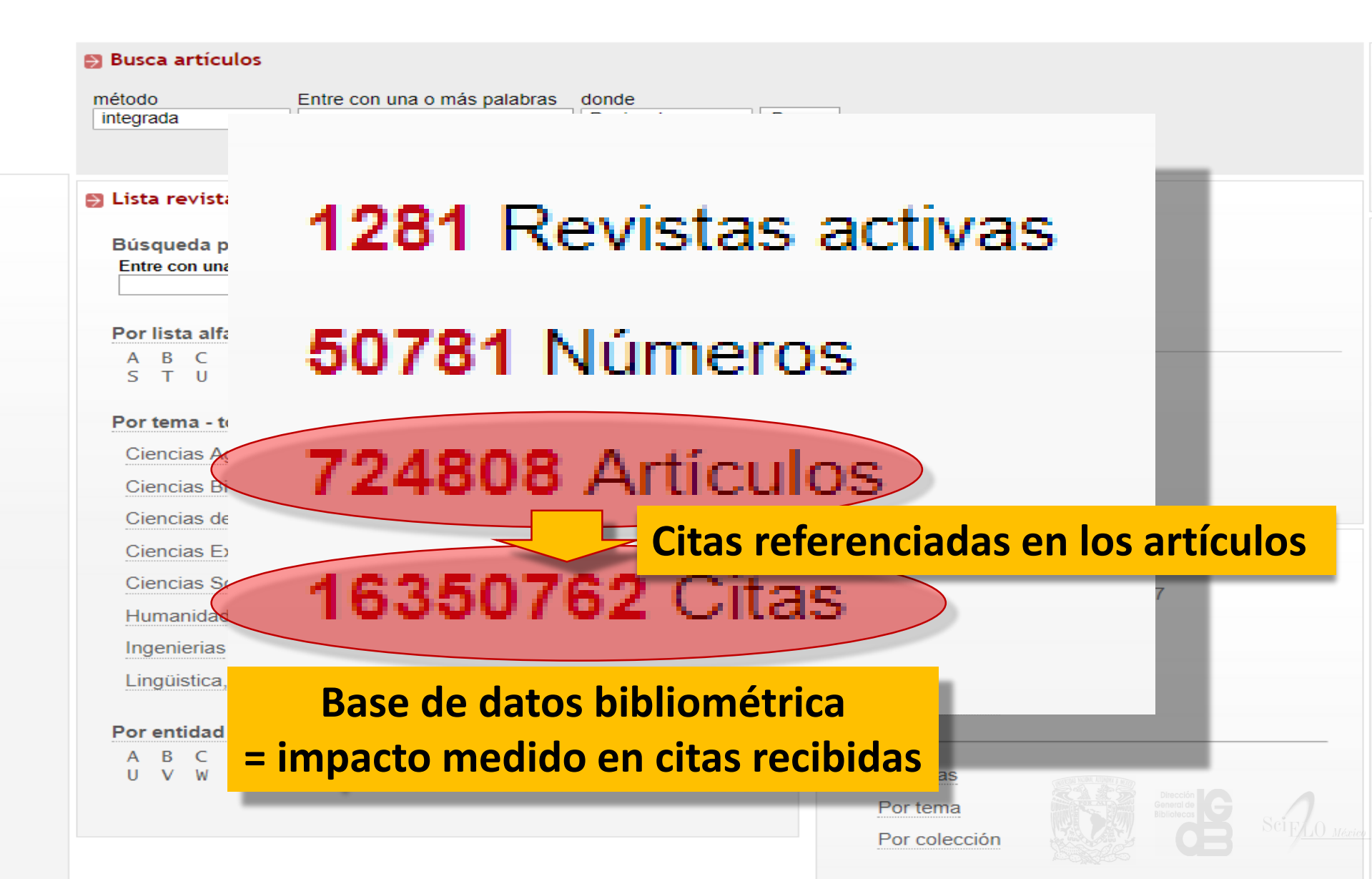
Venezuela

Salud Pública

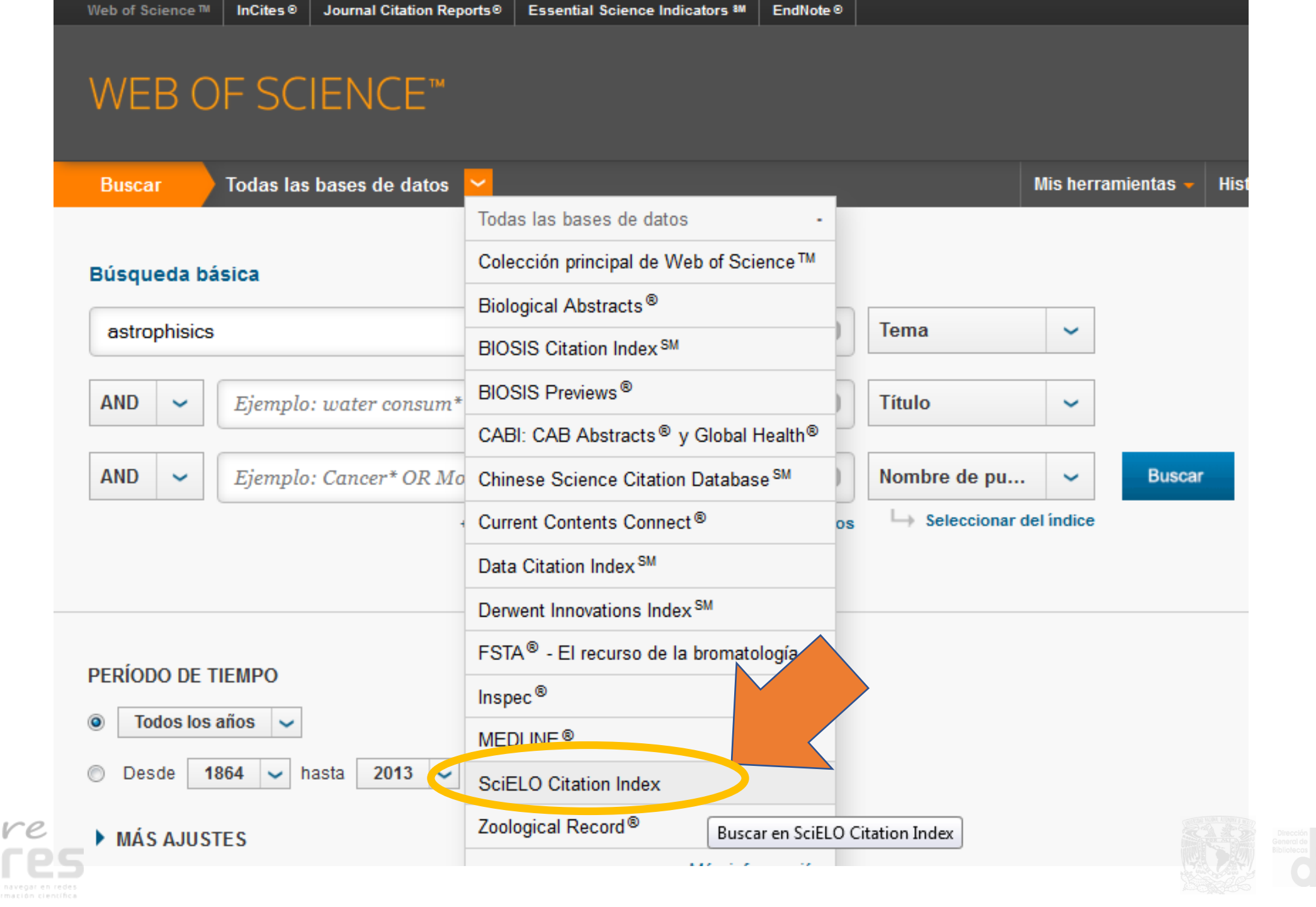
en desarrollo



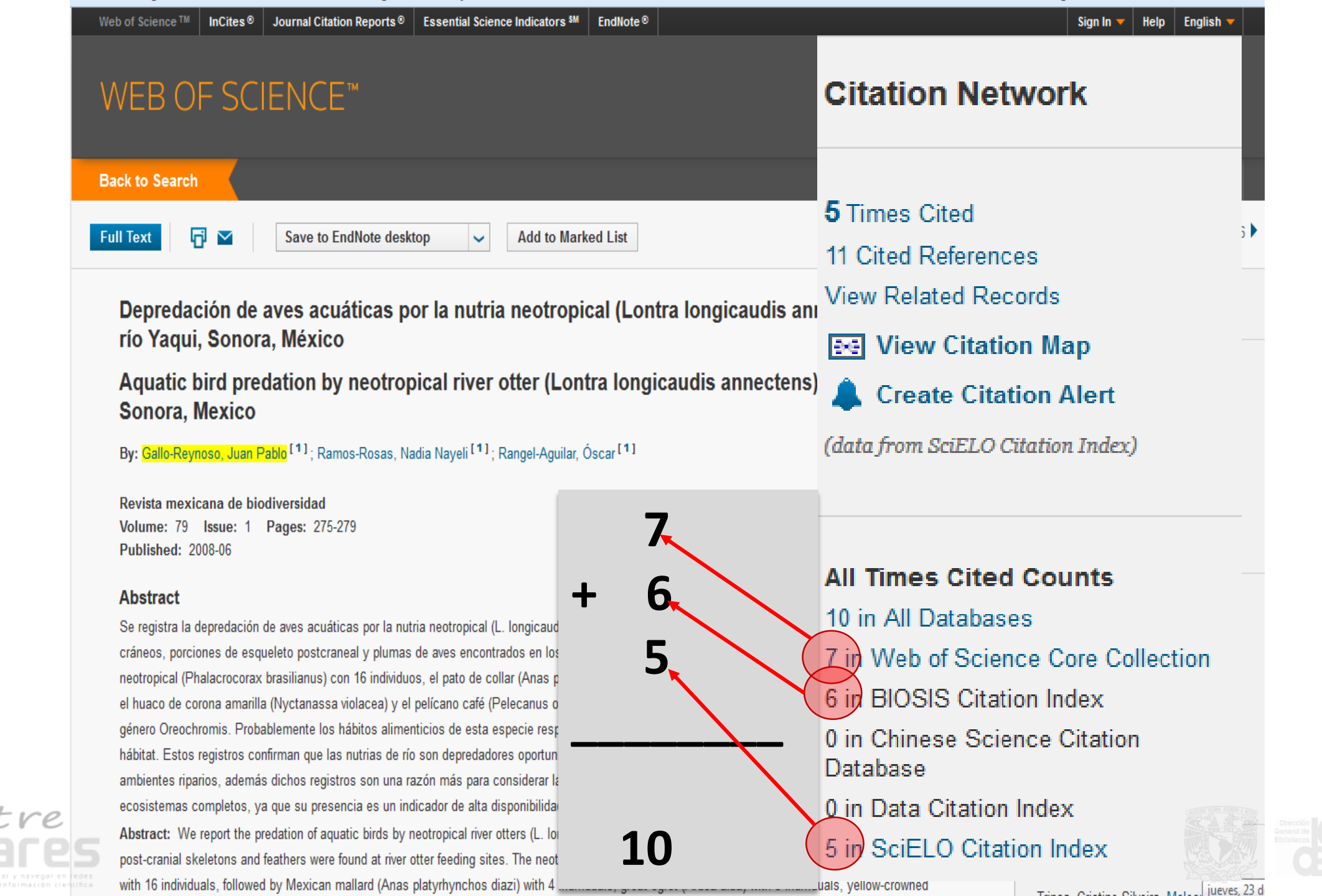
SciFLO
Scientific Electronic Library Online



divulgación científica







EN-CLAVES DEL PENSAMIENTO

Revista *En-Claves del Pensamiento*

OJS



Alcances y limitaciones de la noviolencia. Crítica desde Paul Ricoeur y la perspectiva positiva de la construcción de paz

SCOPE AND LIMITATIONS OF NON-VIOLENCE. A CRITIQUE FROM PAUL RICOEUR'S POSITION AND THE POSITIVE PERSPECTIVE OF PEACE BUILDING.

Heidi Alicia Rivas[*]

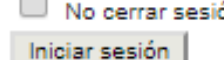
Rolando Picos Bovio[**]



Servicio de ayuda de la revista

USUARIO/A

Nombre de usuario/a
Contraseña
No cerrar sesión



NOTIFICACIONES

Vista Suscribirse

IDIOMA

Escoge idioma	
Español (España)	•
Entregar	

CONTENIDO DE LA REVISTA

buscar			
Ámbito	de la	búsque	da
Todo			General Bibliote









Revista Región y Sociedad





OJS

ACERCA DE INICIAR SESIÓN REGISTRARSE

ARCHIVOS

EL COLEGIO DE SONORA

ício > Vol. 29, Núm. 68 (2017) > Navarro Ochoa

Vulnerabilidad, trabajo y salud en mujeres de la tercera edad en Ameca, Jalisco

(en): Elderly women's vulnerability, work and health in Ameca, Jalisco

Angélica Navarro Ochoa 💷 ;

 Profesora-investigadora. Centro Universitario de los Valles, Universidad de Guadalajara. Carretera Guadalajara-Ameca, km. 45.5, C.P. 46600, Ameca, Jalisco, México. Teléfono: (375) 758-0500, extensión 47364. Correo electrónico: angelica.ochoa@profesores.valles.udg.mx Universidad de Guadalajara Centro Universitario de los Valles Universidad de

Resumen:

En esta investigación se analizan las condiciones de vida de los adultos mayores, en especial de las mujeres en Ameca, Jalisco México Examinar su situación desde un enfoque de género permite mostrar la

TABLA DE CONTENIDO

· (en): Elderly women's vulnerability, work and health in Ameca, Jalisco

lectrónico: 2448-4849

- Introducción
- Conclusión
- Bibliografía
- Notas

USUARIO/A

Nombre de usuario/a

Contraseña

No cerrar sesión

Iniciar sesión





Revista Acta Poética

OJS

in Acta poética

Los poemas preliminares del Quijote de 1605: un modelo de análisis

Emiliano Álvarez

DOI: 10.19130/iifl.ap.2017.1.772

Resumen:

Los poemas preliminares del Quijote han sido poco tomados en consideración por la crítica; sin embargo, una lectura minuciosa puede demostrar cómo trazan vínculos con el resto de la obra. En este trabajo se analiza el poema de Urganda la desconocida, en busca de proponer un modelo que sirva para estudiar el

DOL

Contents

10.19130/iifl.ap.2017.1.772

Info

The article was received on Sat, 11 Jun 2016, accepted on Thu, 13 Oct 2016, and published on .

Copyright & License

References

Este es un artículo publicado en acceso abierto bajo una licencia Creative Commons

Author

Focus

Emiliano Álvarez

Universidad Nacional Autónoma de México, e-mail: emilianoalpas@gmail.com, Mexico









》

Revista Innovación Educativa

OJS

CONTENIDO

Matemáticas y educación superior

Mathematics and higher education

Xicoténcatl Martínez Ruiz

Español

English

Academia.edu

HTML Scielo

XML

Web of Science

Redalyc





ALEPH

Matemáticas para la vida. Una propuesta para la profesionalización docente de profesores de matemáticas

Mathematics for life: a proposal for the professionalization of mathematics instructors Olda Covián Chávez y Avenilde Romo-Vázquez

Resumen - Abstract - keywords

PDF

HTML Sc

Academia.edu

Redalyc

XML

Web of Science

Talento matemático excepcional y destino profesional. Trayectorias de participantes mexicanos en olimpiadas internacionales de matemáticas

Exceptional mathematics talent and professional prospects. Paths of Mexican participants in international mathematics Olympiads

José Navarro Cendejas























QT

NORMAS PARA AL

Revista América Latina en la Historia Económica

OJS

PRECIOS Y CRISIS EN UNA ECONOMÍA RIOPLATENSE. SANTA FE (1790-1850)

Prices and Crisis in Rio de la Plata. Santa Fe (1790-1850)

Frid, Carina, Universidad Nacional de Rosario, Santa Fe, Argentina, email: carinafrid@gmail.com

Historial: Recibido: 15/01/2016 | Aceptado: 26/09/2016 | Publicación impresa: 01/05/2017

- » Sobre el autor
- » Licencia
- Toyte

 - » Fuentes y metodología
 - o » De la prosperidad tardo-colonial a la gran crisis de la economía de Santa Fe
 - » Los precios de los bienes de consumo en una economía en dificultades
 - 9 v Conclusiones
- » Notas
- » Referencias











Relaciones estudios DE HISTORIA Y SOCIEDAD

Revista Relaciones. Estudios de Historia y Sociedad

OJS

INICIO LIBROS PARA RESEÑAR PRÓXIMO INICIAR SESIÓN NÚMERO

Inicio > Vol. 38, Núm. 151 (2017) > Carrera Ouezada

DOI: https://doi.org/10.24901/rehs.v38i151.328

Entre la regularización y la enajenación: composiciones, denuncias y ventas de tierras baldías en Yucatán, 1679-1827 Between Regularization and Alienation: Compositions, Denouncements and Sales of Unoccupied Land in Yucatan, 1679-1827

Sergio Eduardo Carrera Quezada

EL COLEGIO DE MÉXICO, secarrera@colmex.mx

Este artículo exhibe los intentos del gobierno de la provincia de Yucatán por instrumentar la regulación de las propiedades rurales por medio de las composiciones de sitios y estancias entre los siglos XVII y XVIII. Asimismo, aborda la dificultad por distinguir entre los bienes realengos y las tierras de comunidades de los pueblos mayas durante los procedimientos de denuncias y ventas de los montes baldíos en almoneda pública en las dos primeras décadas del siglo XIX.

PALABRAS CLAVE: historia agraria, regularización de tierras, baldíos, Yucatán

This article elucidates the attempts by the government of the province of Yucatan to implement the regulation of rural properties through the composition (composiciones) of cattle ranches and haciendas between the 17th and 18th centuries. It also addresses the difficulty of distinguishing between real property and community lands belonging to Mayan villages during procedures that involved denouncements and sales of unoccupied lands in public auction in the first two decades of the 19th century.

KEYWORDS: agrarian history, land regularization, vacant lands, Yucatán

Fecha de recepción del artículo: 23 de noviembre de 2015 / Fecha de aprobación: 29 de febrero de 2016 / Fecha de recepción de la versión final: 12 de abril de 2016

Introducción 1

A partir de las reales cédulas del primero de noviembre de 1591, la Corona española se empeñó en instrumentar un programa de distribución y regularización de la propiedad de la tierra en todos sus reinos y provincias, de modo que ordenó la venta de bienes realengos y el cobro de composiciones a los ocupantes irregulares.² Su implementación dio como resultado una diversidad de casos regionales, cada uno con características propias según el momento y la forma como las autoridades facultadas lo ejecutaron. Así, el propósito de este artículo es ofrecer una explicación de por qué el gobierno de la provincia de Yucatán no se interesó en los asuntos agrarios durante prácticamente todo el periodo colonial, y no fue sino hasta las primeras décadas del siglo XIX, en medio de importantes cambios socioeconómicos y por la tendencia liberal en la privatización de la tierra, cuando tuvo motivos para aplicar la política agraria de la Corona y ejercer el derecho a la cobranza por la concesión de baldíos y por los espacios ocupados sin título.

Hace décadas François Chevalier y José María Ots Capdequí anotaron la importancia de las composiciones en la formación de las propiedades particulares y la consolidación de la hacienda colonial, tema que fue retomado por Francisco de Solano a partir del conjunto de leyes decretadas para regular la posesión de la tierra en la Nueva España. Estos autores abrieron camino en el estudio del programa de regularización agraria, pero las investigaciones regionales recientes son las que más detalles han aportado sobre las composiciones y venta de realengos, las acciones de los personajes encargados de su ejecución y las consecuencias a nivel local. Actualmente se tiene mayor conocimiento de cómo la regularización de la propiedad incidió en las provincias novohispanas, pues cada estudio regional ofrece una perspectiva distinta que se integra al conjunto de experiencias analizadas, al matizar las







Revista Madera y Bosques

OJS







Inicio > Vol. 23, Núm. 1 (2017) > López Hernánez

Composición y diversidad de especies forestales en bosques templados de Puebla, México

Composition and diversity of forest species in forests temperate of Puebla, Mexico

Juan Antonio López-Hernández¹, Óscar A. Aguirre-Calderón¹, Eduardo Alanís-Rodríguez^{1*}, José Carlos Monarrez-Gonzalez², Marco A. González-Tagle¹ y Javier Jiménez-Pérez¹

- ¹ Universidad Autónoma de Nuevo León, Facultad de Ciencias Forestales, Linares, Nuevo León, México.
- ² Centro Interdisciplinario de Investigación para el Desarrollo Integral Regional, Unidad Durango, Durango, Dgo.,
- * Autor de correspondencia, eduardo.alanisrd@uanl.edu.mx

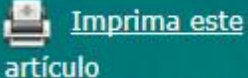
Resumen

La presente investigación se realizó con el objetivo de evaluar la composición y la diversidad de las especies forestales en bosques templados en la zona este del estado de Puebla (centro de México). La base de datos se obtuvo de 45 sitios permanentes de investigación silvícola (SPIS), ubicados en la región forestal Centro y Pico de

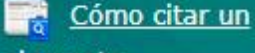
HERRAMIENTAS DEL ARTÍCULO



Resumen



Metadatos de indexación



elemento

Envie este artículo por correo electrónico (Inicie sesión)

Enviar un correo electrónico al autor/a (Inicie sesión)





Orgullosament de la familia





Revista *Investigaciones* geográficas

OJS



Iniciar sesión

Q

Búsqueda avanzada



ISSN 2448-7279

Acerca de Estadísticas Anteriores Cómo publicar E-print Contacto

Reconocimiento del Senado de la República a la UNAM por la homologación del geoparque mundial de la Mixteca Alta en el estado de Oaxaca, otorgado por la Unesco.

Inicio > Núm. 93



ISSN: 0188-4611

ISSN Digital: 2448-7279

Revista indexada en:

Editorial

HTML EPUB

ARTÍCULOS

Sobre la relación entre geoformas y usos del suelo en ambientes tropicales secos usando SIG y estadística multivariada

Itzi Gael Segundo Métay, Gerardo Bocco, Alejandro Velázquez, Konrad Gajewski

PDF (English) HTML (English) EPUB (English)

Validación de modelos geoestadísticos y convencionales en la determinación de la variación espacial de la fertilidad de suelos del Pacífico Sur de Costa Rica

Juan Gabriel Garbanzo-León, Brayan Alemán-Montes, Alfredo Alvarado-Hernández, Carlos Henríquez-Henríquez

PDF HTML EPUB



Texture

Tan abierto como LaTeX y tan simple como un procesador de textos clásico.







Paragraph -

၁)





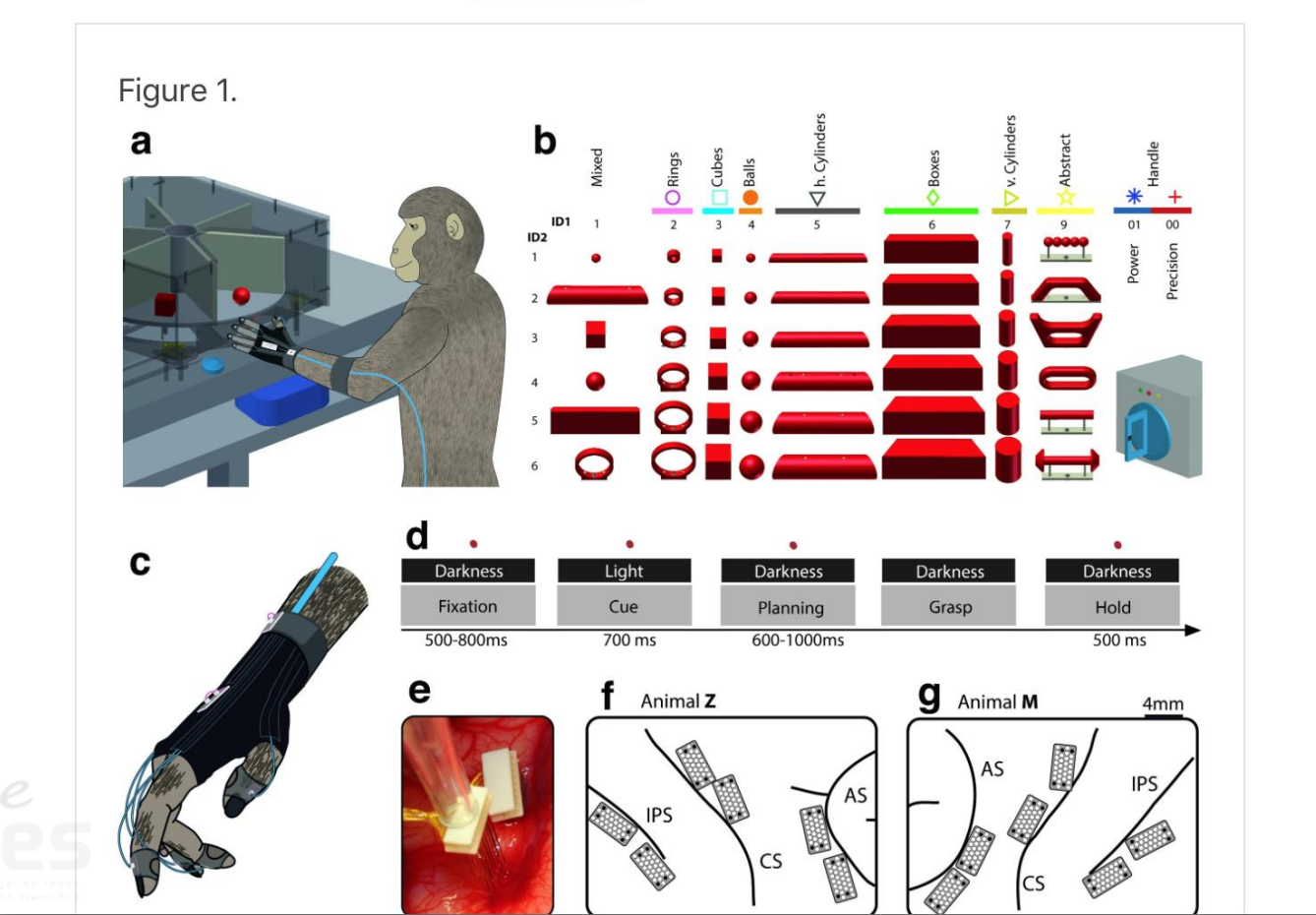




Insert

Results

Two macaque monkeys grasped a large set of 49 objects causing highly variable visual stimuli and motor responses (Figure 1a–b, Video 1). During the experiments we recorded hand and arm kinematics from an instrumented glove (Schaffelhofer and Scherberger, 2012) (see Figure 1c, Video 2) in conjunction with neuronal activity from 6 cortical microrrays (6 x 32 channels) (Figure 1e–g).



▶ Introduction

Results

Vision for hand action

Motor planning and execution

Feature coding in area F5

Feature coding in area M1

Numerical comparison

Feature code correlation

Discussion

Recording sites and relation to anatomical connections

Visual processing for grasping

Motor planning and execution

Conclusions

Materials and methods

Animal training and experimental setup

Task paradigm

Kinematics recording

Electrophysiological recordings

Data analysis

Firing rate and modulation depth

Sliding ANOVA population analysis

Dimensionality reduction

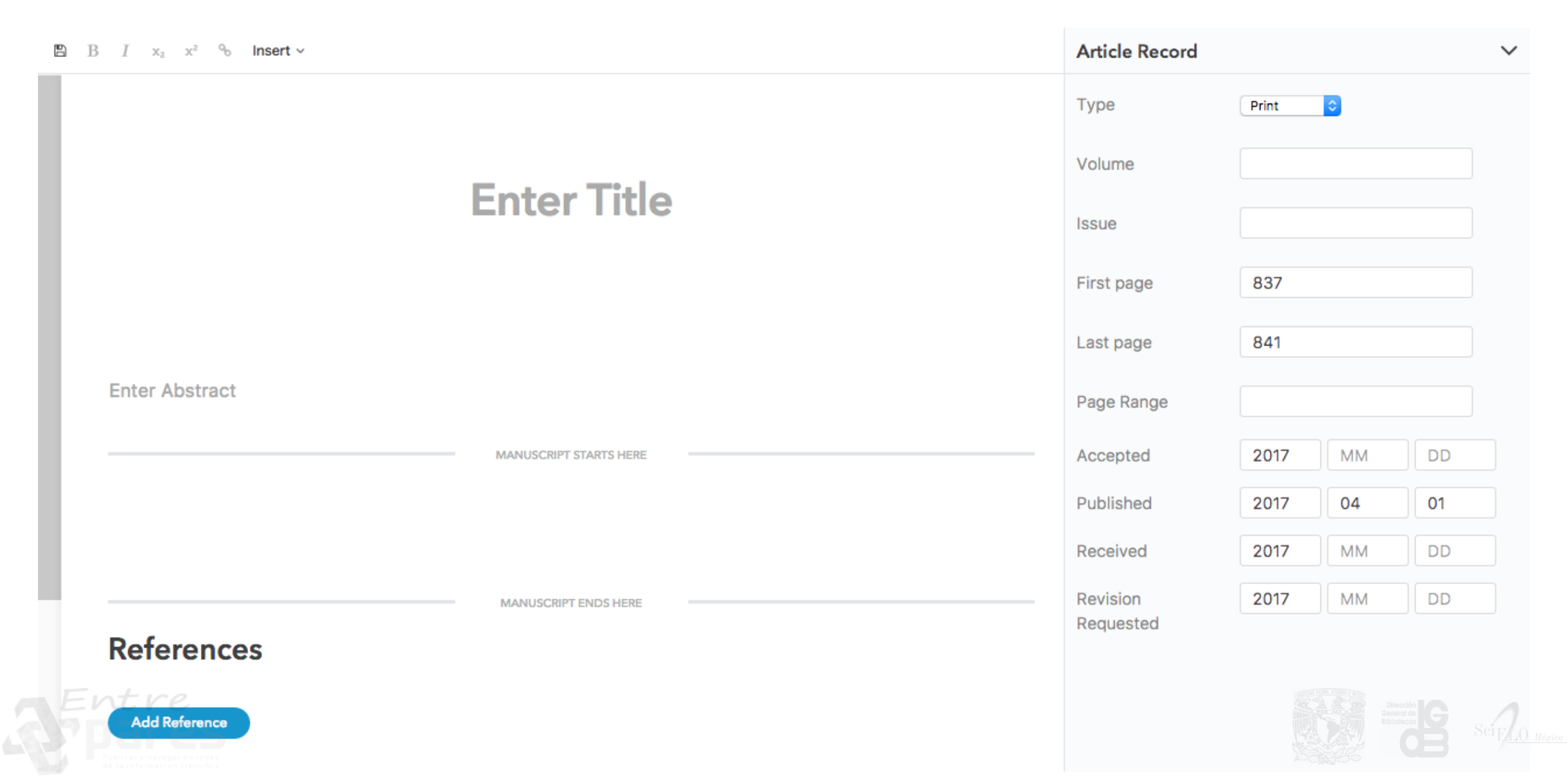
Procrustes analysis

Hierarchical cluster analysis

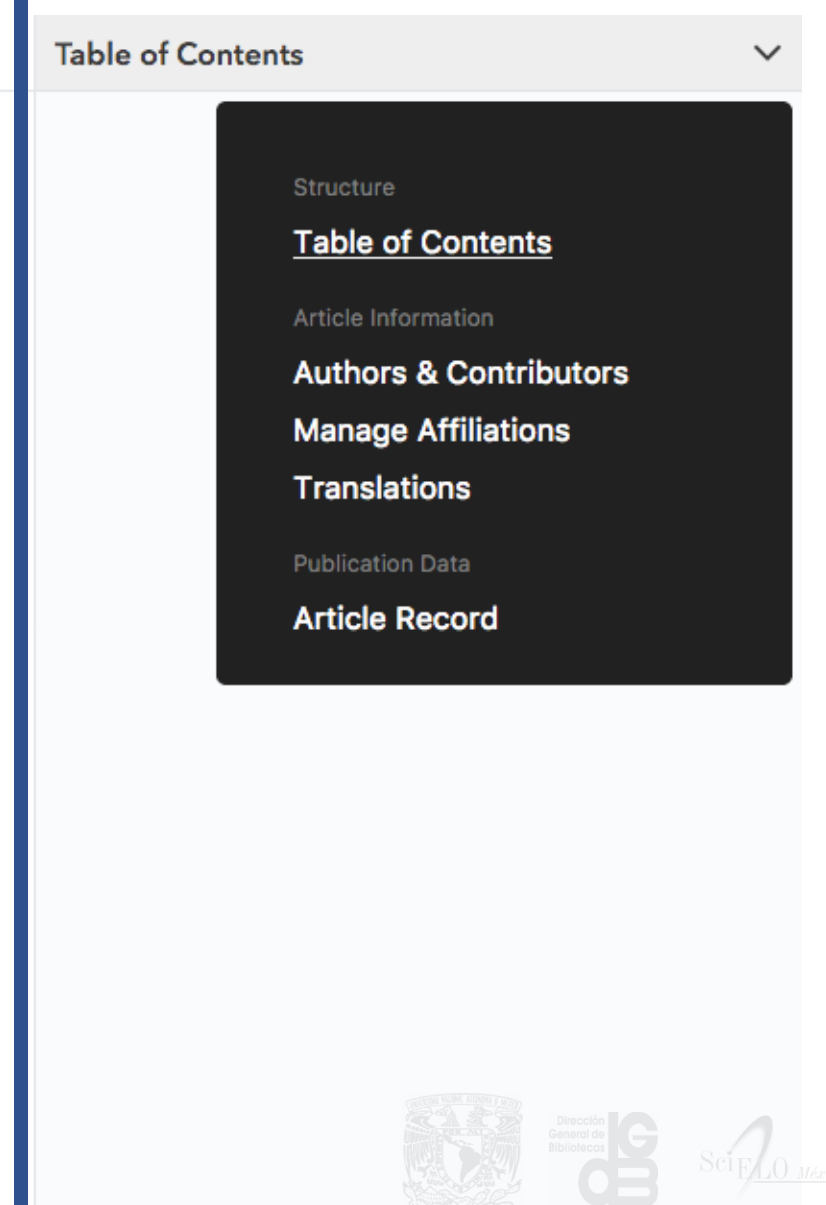
Feature code correlation

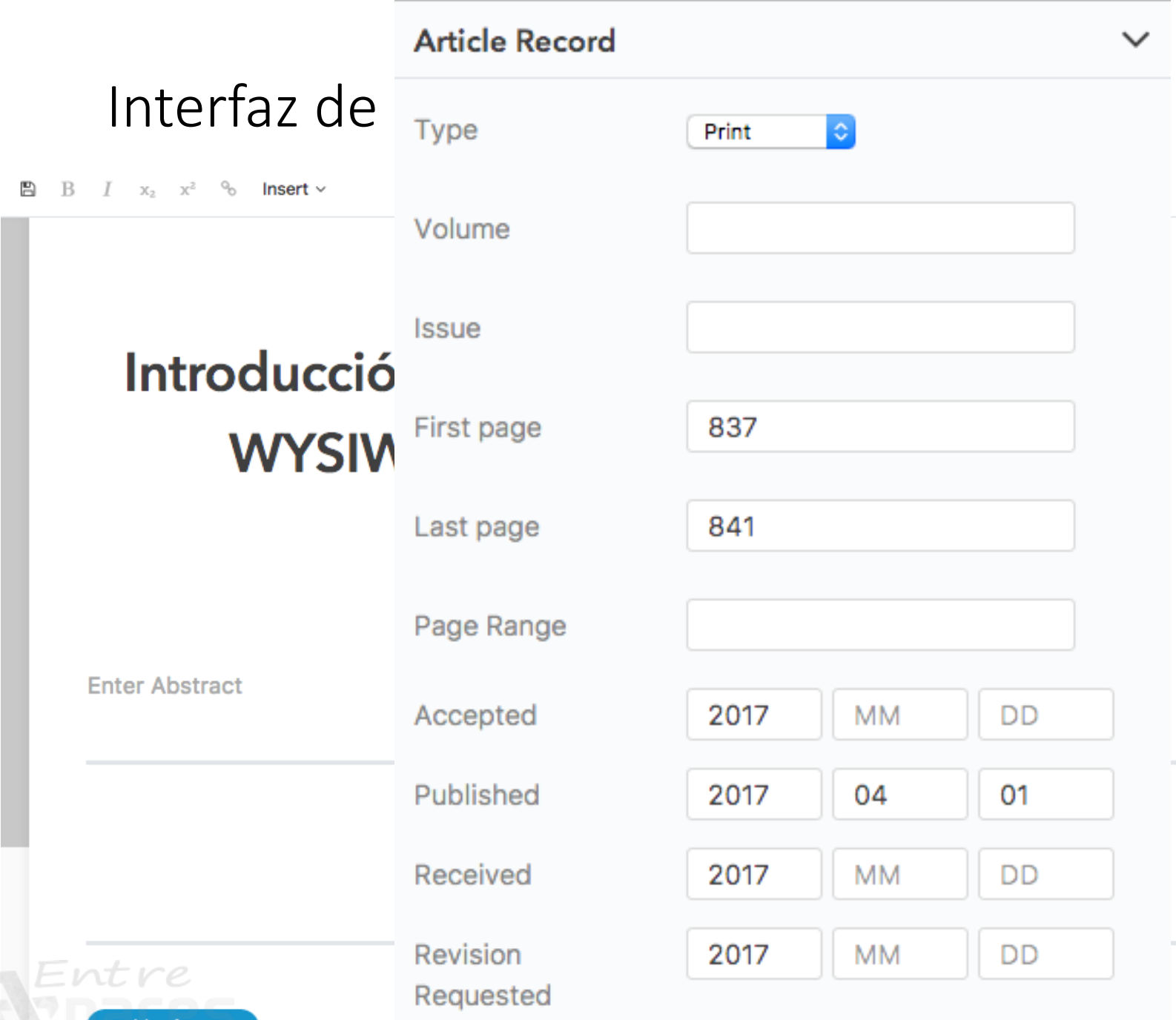


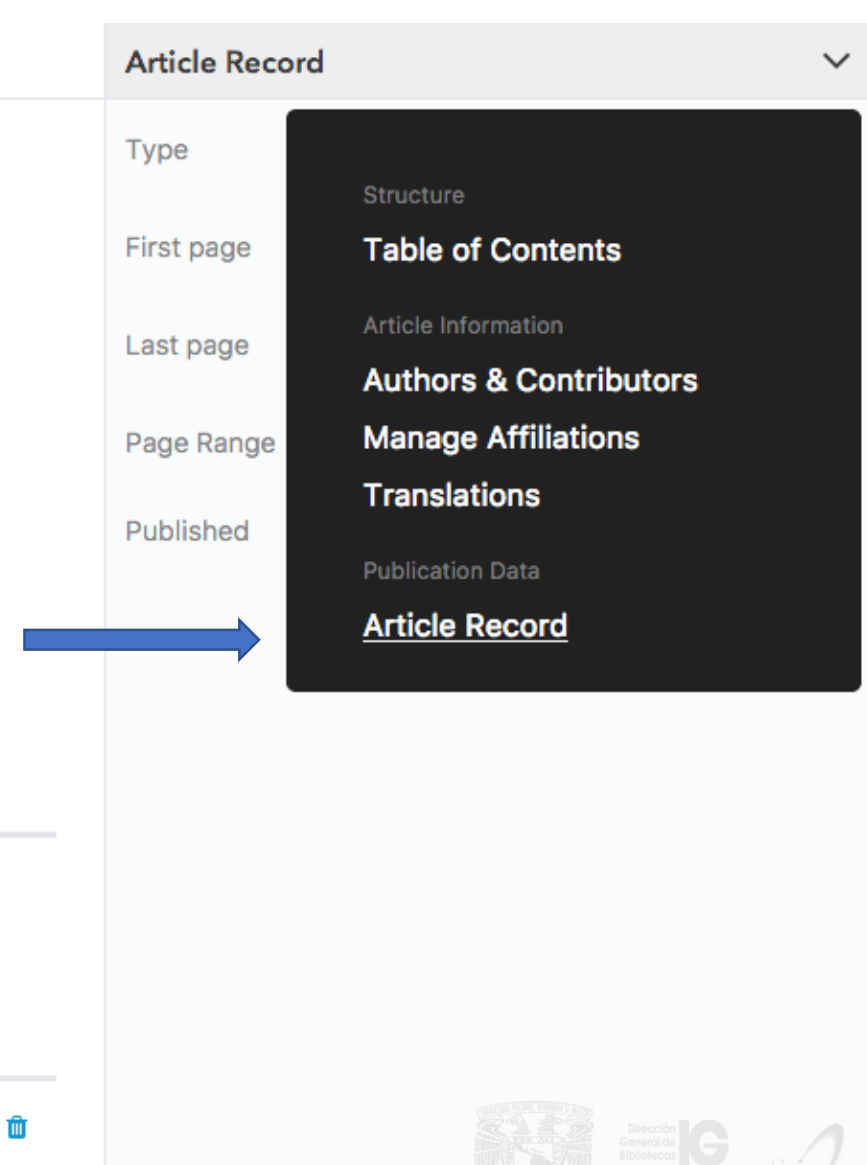


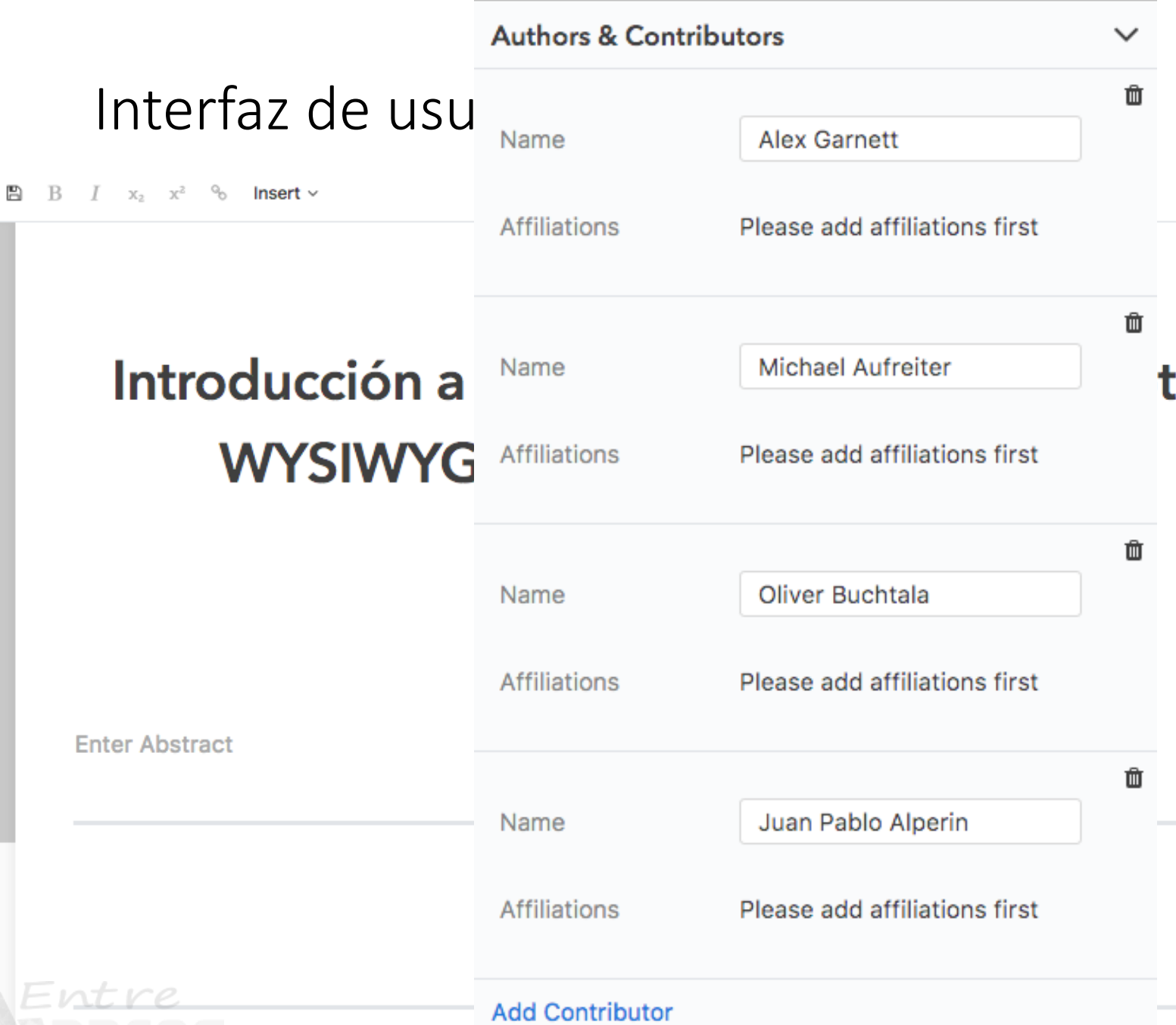


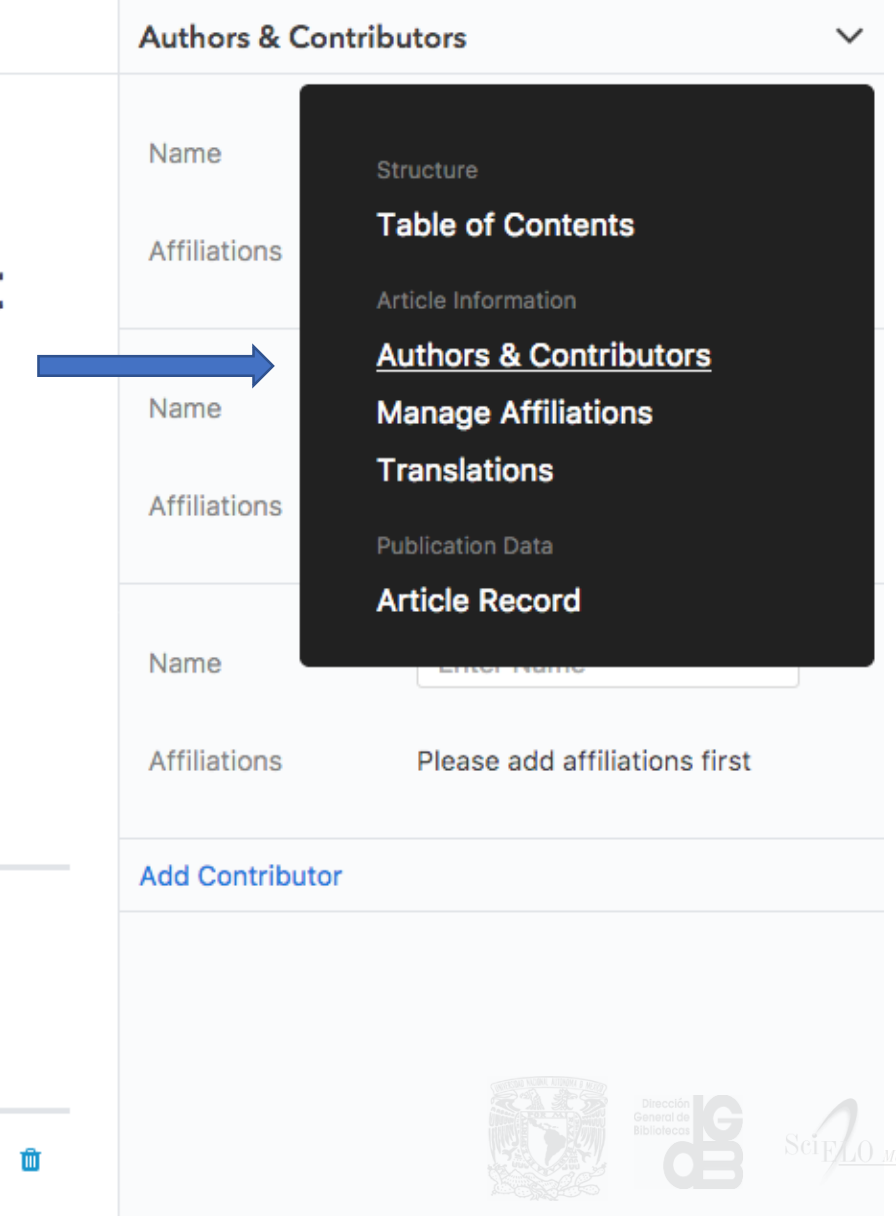


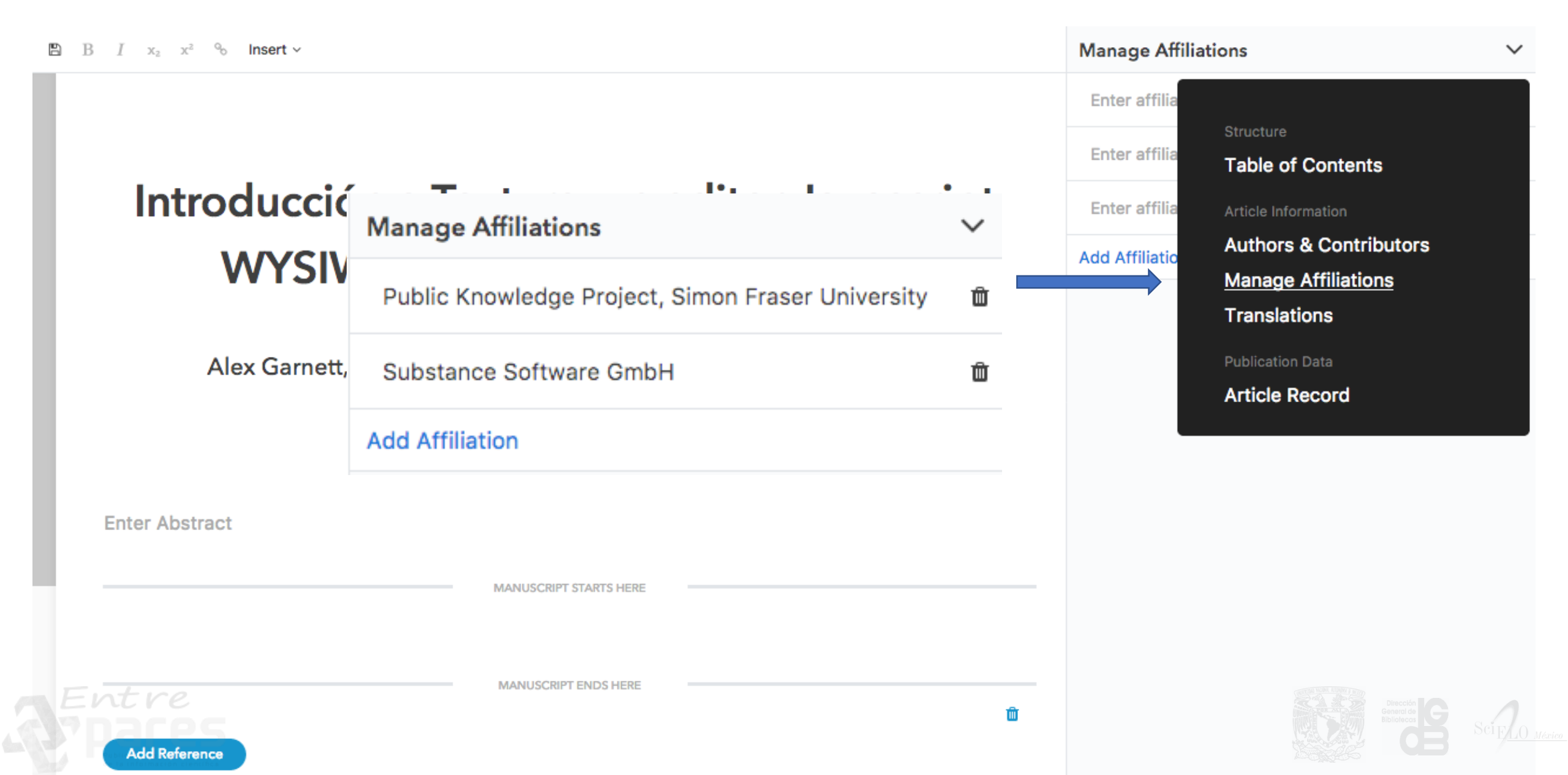








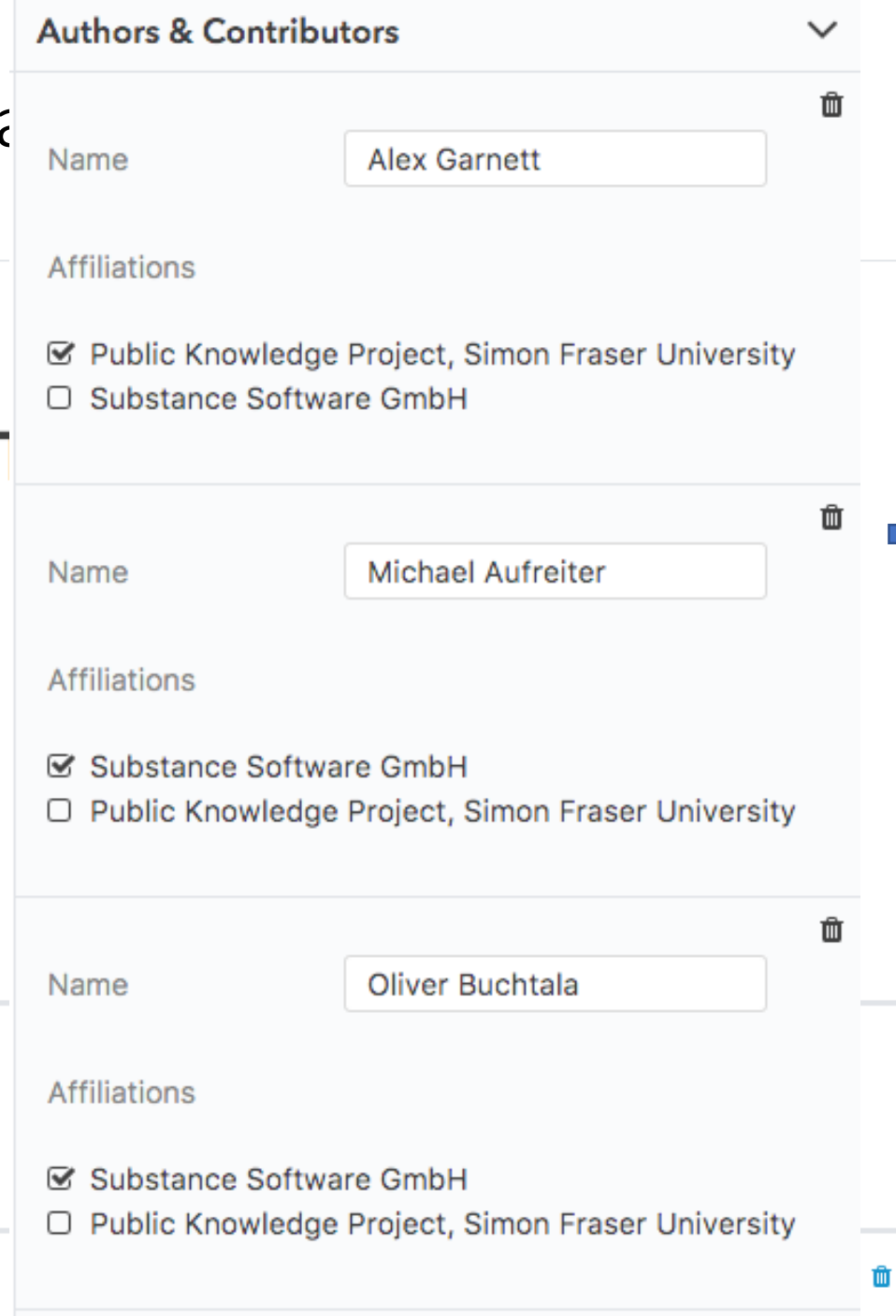


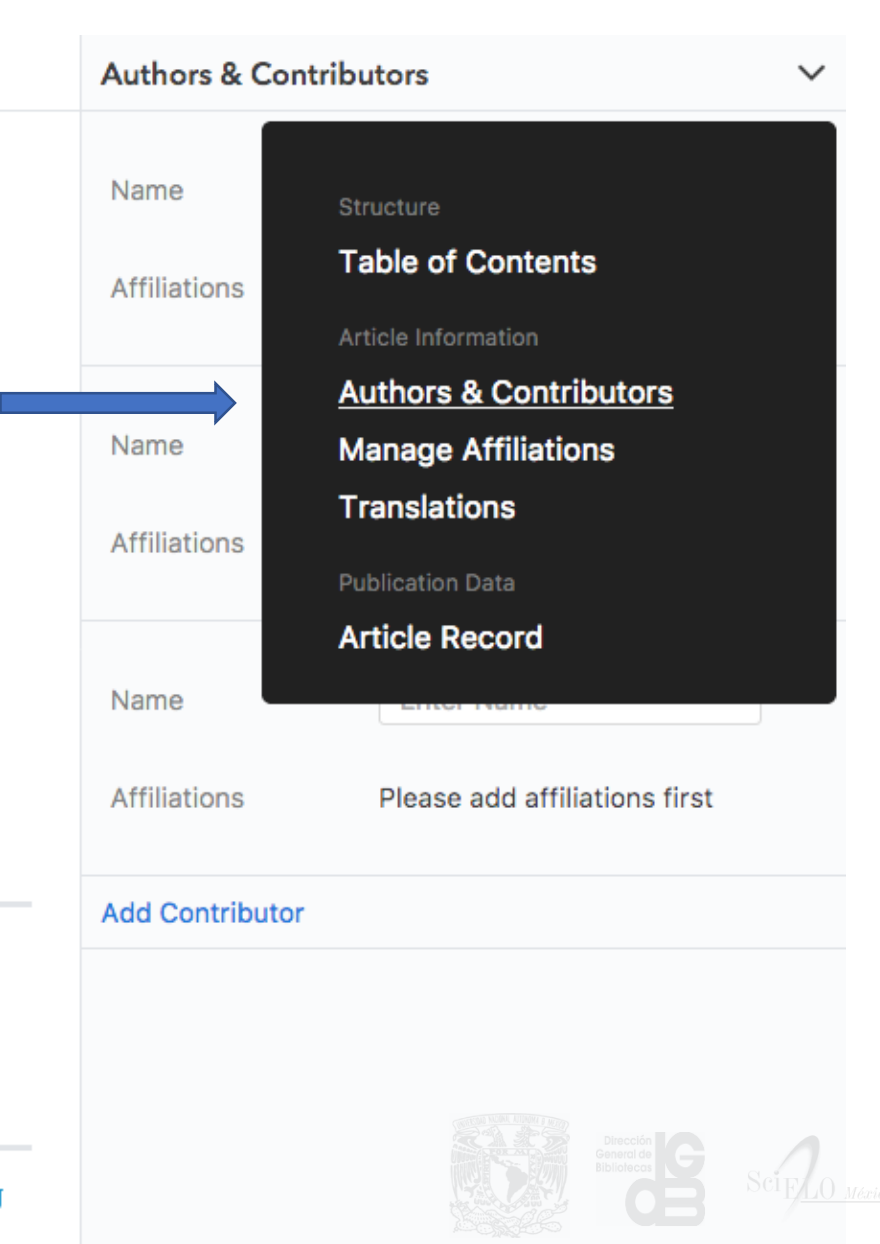


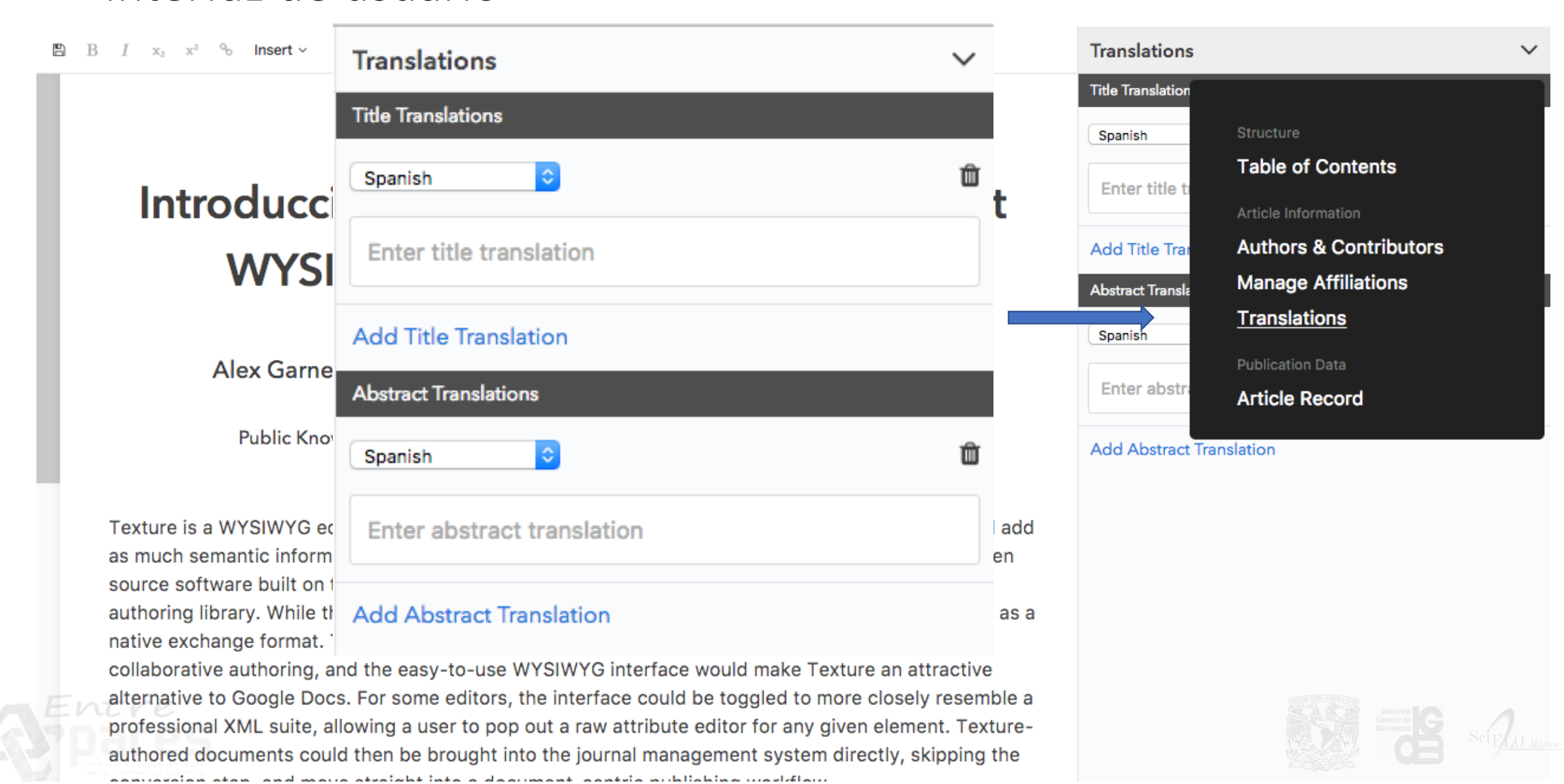
B I x₂ x² % Insert ∨

Introducción a WYSIWYG

Enter Abstract







Paragraph v B B I x₂ x² % Insert v

Introducción a Texture, un editor Javascript WYSIWYG Open Source para JATS

Alex Garnett, Michael Aufreiter, Oliver Buchtala, Juan Pablo Alperin

Public Knowledge Project, Simon Fraser University; Substance Software GmbH

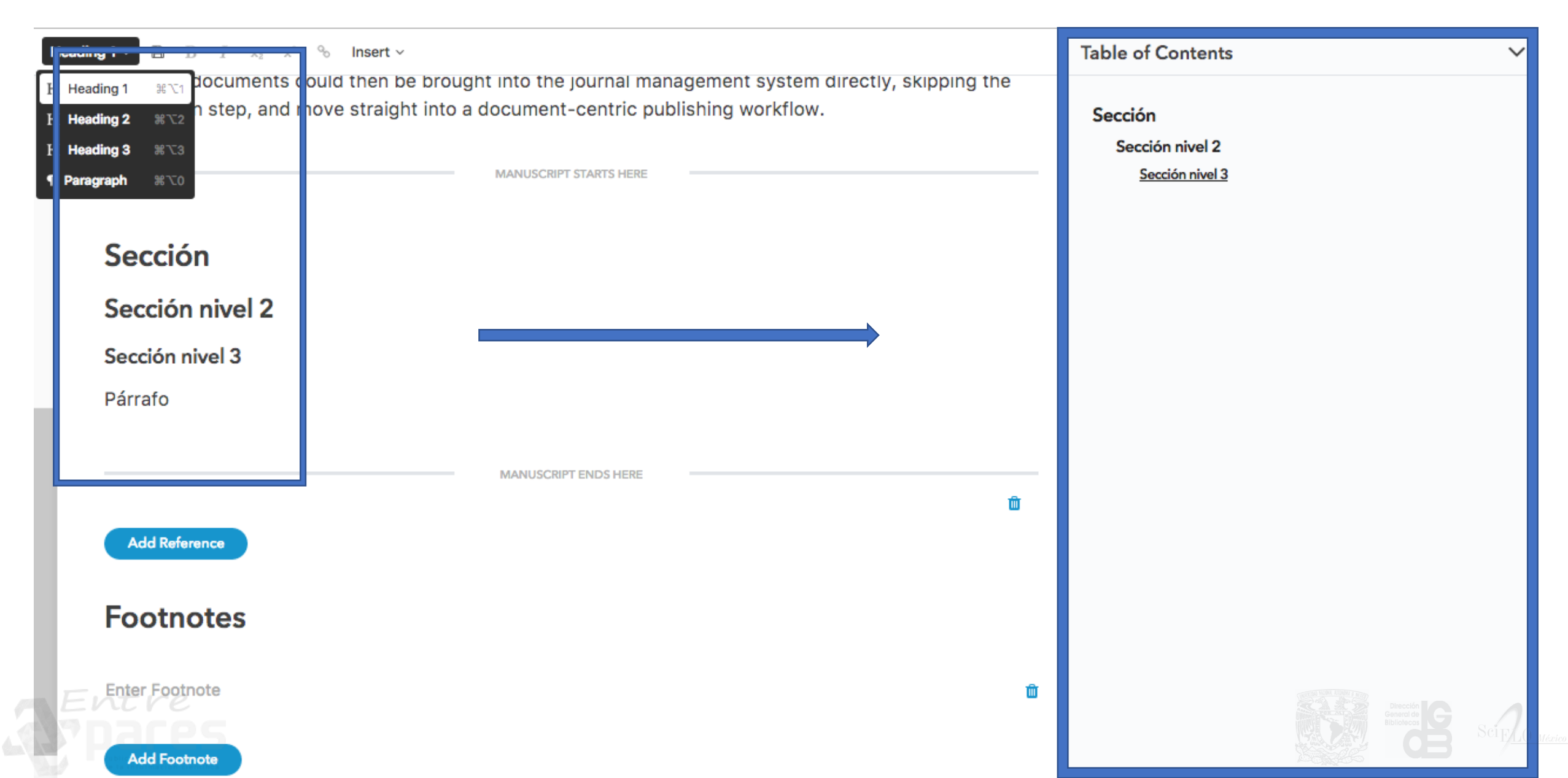
Abstract

Texture is a WYSIWYG editor app that allows users to turn raw content into structured content, and add as much semantic information as needed for the production of scientific publications. Texture is open source software built on top of Substance (http://substance.io), an advanced Javascript content authoring library. While the Substance library is format agnostic, the Texture editor uses JATS XML as a native exchange format. The Substance library that Texture is built on already supports real-time collaborative authoring, and the easy-to-use WYSIWYG interface would make Texture an attractive alternative to Google Docs. For some editors, the interface could be toggled to more closely resemble a professional XML suite, allowing a user to pop out a raw attribute editor for any given element. Texture-authored documents could then be brought into the journal management system directly, skipping the conversion step, and move straight into a document-centric publishing workflow.









Paragraph v B I x₂ x² % Insert

Introduction

Microsoft Word's dominance as an authoring tool creates substantial inefficiencies in the scholarly authoring ecosystem. Many journals and journal management platforms are designed around uploading and downloading incrementally updated drafts of Word manuscripts, creating a difficult-to-manage ecosystem of individual change-tracked files and annotated PDFs. For most end users, there is no sufficiently easy to use or widely accepted alternative to this; although some researchers author in LaTeX or Markdown which can at least be diffed line by line, gettir from Word has been a fairly fruitless task so far. We believe that this is mostly due B I x2 when it comes to publishing, the scholarly publishing industry has (mostly) settled c ——JATS XML. This disconnect between the tools and formats used for authoring and the formats required for publishing has meant that, for several decades now, manuscripts received from authors will need to be entirely XML-typeset by publishers at considerable expense ([1]).

The role of the XML typesetting is so crucial that there are several companies that specialize in just this task. Right now, most academic journals with adequate budgets have outstanding contracts with third-party typesetting shops, resulting in a process that is highly professionalized, but also highly impractical and unavailable to many smaller journals. This work, requiring specialized labour and more person-hours than can be easily justified, has been one of the main differentiating factors between well-resourced journals and those on shoestring budgets. This is especially unfortunate, as having an XML-first workflow that allows journals to produce multiple formats from a single source would be especially beneficial to such low-budget journals.

Efforts to bring XML markup, in particular JATS, to a broader group of journals have continued to appear in recent years. These efforts, in the form of automatic Word-to-XML converters include the Public

Table of Contents

Introduction

Introducing Texture

Current state of development

Current and future use cases

Proof-of-concept implementation

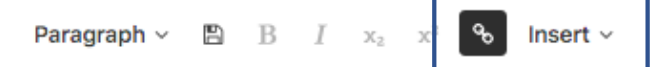
Outlook

Open collaborative roadmap









Introduction

Microsoft Word's dominance as an authoring tool creates substantial inefficiencies in the scholarly authoring ecosystem. Many journals and downloading incrementally updated drafts of word manuscripts, creating a difficult-to-manage ecosystem of individual change-tracked files and annotated PDFs. For most end users, there is no sufficiently easy to use or widely accepted alternative to this; although some researchers author in LaTeX or Markdown which can at least be diffed line by line, getting most authors away from Word has been a fairly fruitless task so far. We believe that this is mostly due to ease of use. Yet, when it comes to publishing, the scholarly publishing industry has (mostly) settled on a structured format—JATS XML. This disconnect between the tools and formats used for authoring and the formats required for publishing has meant that, for several decades now, manuscripts received from authors will need to be entirely XML-typeset by publishers at considerable expense ([1]).

The role of the XML typesetting is so crucial that there are several companies that specialize in just this task. Right now, most academic journals with adequate budgets have outstanding contracts with third-party typesetting shops, resulting in a process that is highly professionalized, but also highly impractical and unavailable to many smaller journals. This work, requiring specialized labour and more person-hours than can be easily justified, has been one of the main differentiating factors between well-resourced journals and those on shoestring budgets. This is especially unfortunate, as having an XML-first workflow that allows journals to produce multiple formats from a single source would be especially beneficial to such low-budget journals.

Efforts to bring XML markup, in particular JATS, to a broader group of journals have continued to appear in recent years. These efforts, in the form of automatic Word-to-XML converters include the Public

Table of Contents

Introduction

Introducing Texture

Current state of development

Current and future use cases

Proof-of-concept implementation

Outlook

Open collaborative roadmap







authoring ecosystem. Man and downloading incremen ecosystem of individual ch sufficiently easy to use or

Citation

Figure Reference

Table Reference

Footnote Reference

Insert v

al management platforms are designed around uploading of Word manuscripts, creating a difficult-to-manage and annotated PDFs. For most end users, there is no ernative to this; although some researchers author in

LaTeX or Markdown which can at least be arried line by line, getting most authors away from Word has been a fairly fruitless task so far. We believe that this is mostly due to ease of use. Yet, when it comes to publishing, the scholarly publishing industry has (mostly) settled on a structured format—JATS XML. This disconnect between the tools and formats used for authoring and the formats required for publishing has meant that, for several decades now, manuscripts received from authors will need to be entirely XML-typeset by publishers at considerable expense ([1]).

The role of the XML typesetting is so 1 task. Right now, most academic jour party typesetting shops, resulting in and unavailable to many smaller jour than can be easily justified, has been journals and those on shoestring bu workflow that allows journals to propose beneficial to such low-budget journals.

1 Of LaTeX and labour.
Martin Eve (2016)

2 The Public Knowledge Project XML Publishing Service and meTypeset: Don't call it "Yet Another Word-to-JATS Conversion Kit."
Alex Garnett, Juan Pablo Alperin, John Willinsky (2015)

3 Building a real XML-first (XML-in) workflow for scholarly typesetting.
Martin Eve (2015)

Efforts to bring XML markup, in particular JATS, to a broader group of journals have continued to appear in recent years. These efforts, in the form of automatic Word-to-XML converters include the Public Knowledge Project's Open Typsetting Stack ([2]), Martin Eve's meTypeset ([3]) redalyc.org's Marcalyc (http://marcalyc.redalyc.org/) However, none of these tools, and, to the best of our knowledge, none of the proprietary tools used by those offering professional XML markup services, produce production-quality JATS without user mediation, and still require manual or semi-manual intervention. From the

Table of Contents

Introduction

Introducing Texture

Current state of development

Current and future use cases

Proof-of-concept implementation

Outlook

ize in just this

hly impractical

e person-hours

-resourced

L-first

specially

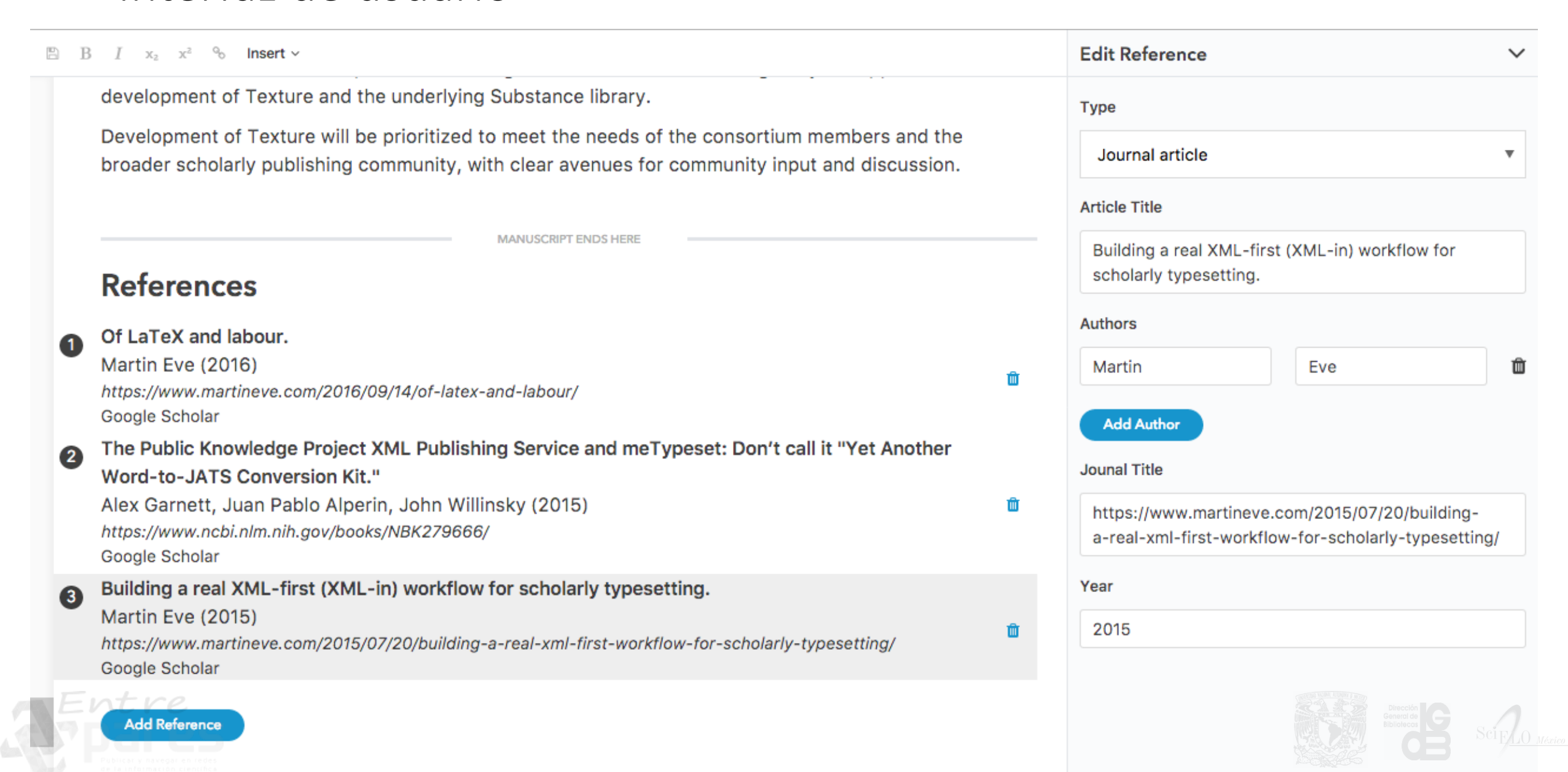
ts with third-

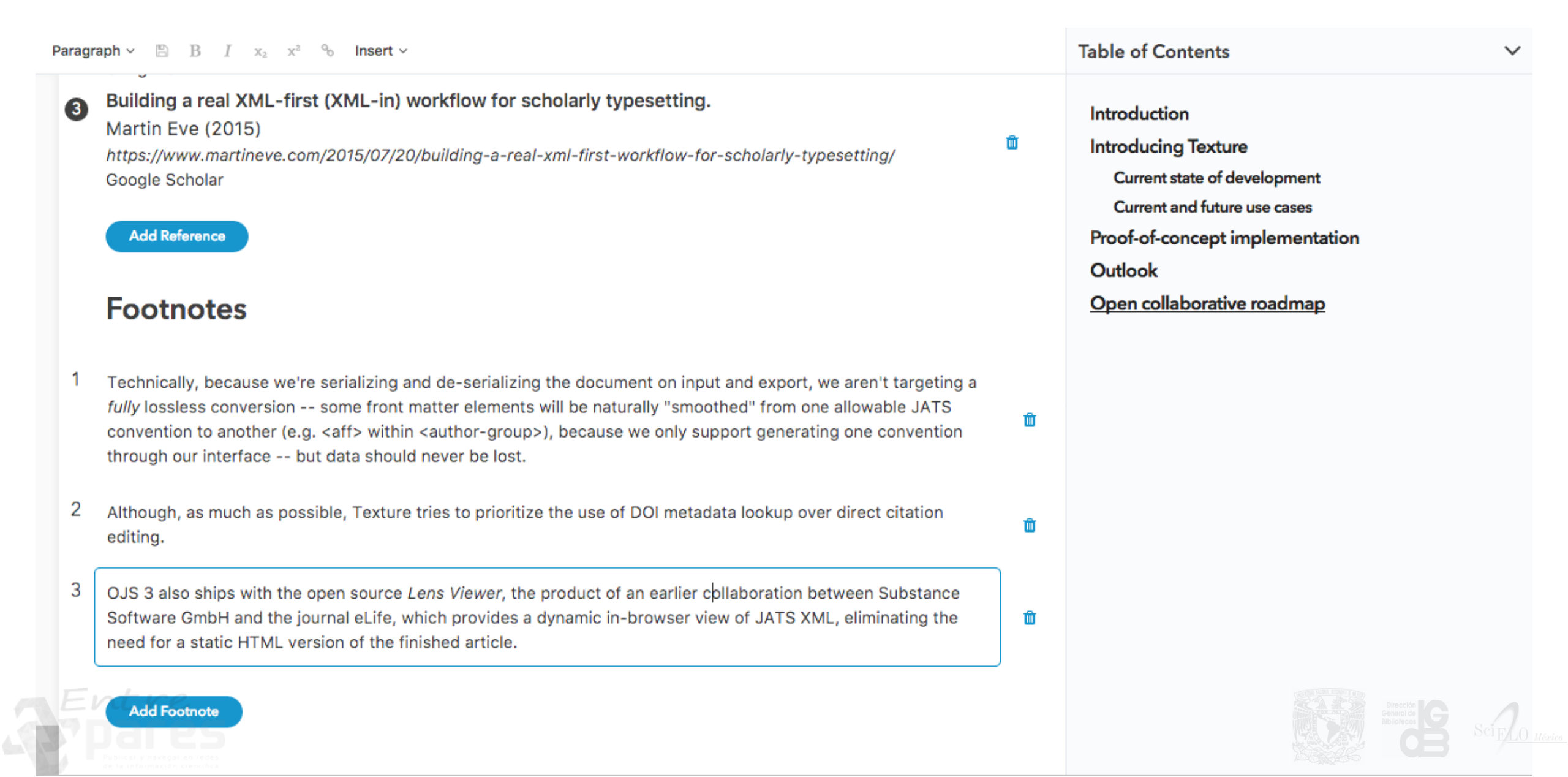
Open collaborative roadmap











(•) substance Consortium







Paragraph -

၁)





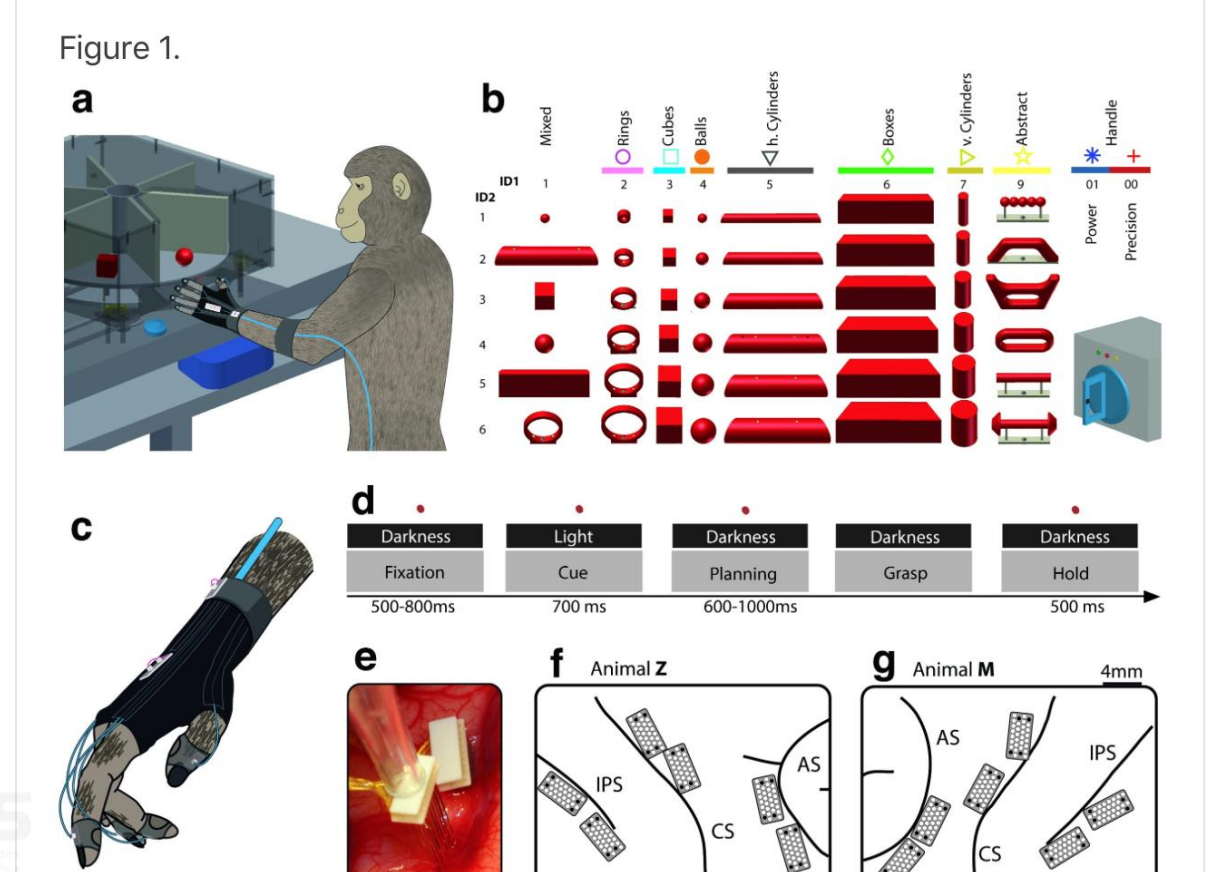




Insert

Results

Two macaque monkeys grasped a large set of 49 objects causing highly variable visual stimuli and motor responses (Figure 1a–b, Video 1). During the experiments we recorded hand and arm kinematics from an instrumented glove (Schaffelhofer and Scherberger, 2012) (see Figure 1c, Video 2) in conjunction with neuronal activity from 6 cortical microrrays (6 x 32 channels) (Figure 1e–g).



▶ Introduction

Results

Vision for hand action

Motor planning and execution

Feature coding in area F5

Feature coding in area M1

Numerical comparison

Feature code correlation

Discussion

Recording sites and relation to anatomical connections

Visual processing for grasping

Motor planning and execution

Conclusions

Materials and methods

Animal training and experimental setup

Task paradigm

Kinematics recording

Electrophysiological recordings

Data analysis

Firing rate and modulation depth

Sliding ANOVA population analysis

Dimensionality reduction

Procrustes analysis

Hierarchical cluster analysis

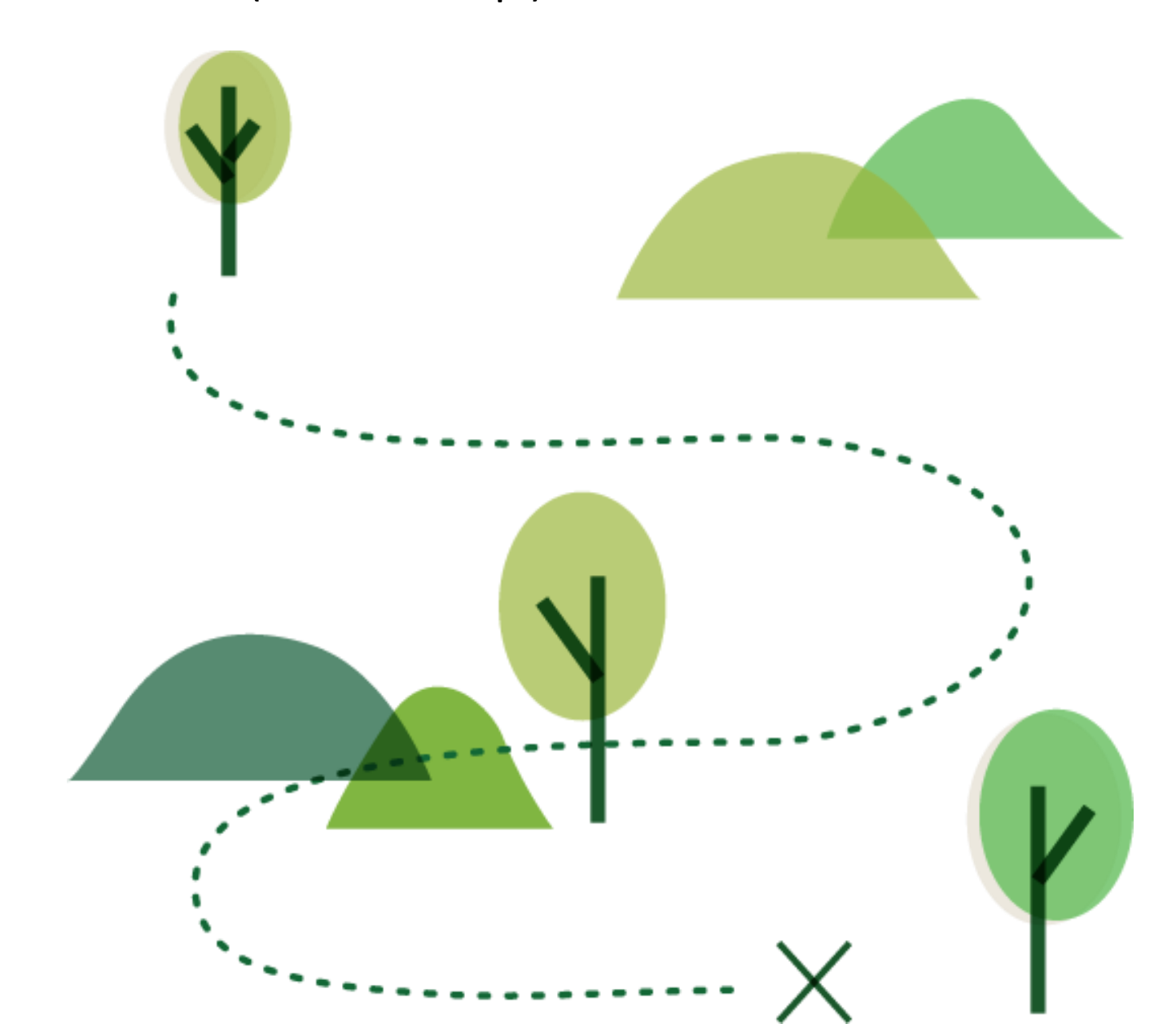
Feature code correlation







Ruta de desarrollo (Roadmap)











Ruta de desarrollo (*Roadmap*), Funcionalidad

Edición General ?	status beta ?
Copiar pegar desde Word, etc.)	status beta ?
Buscar ly life emplazar?	status alpha ?
Numeración automática de letique tas para figuras, dablas, ecuaciones, letc. ecuaciones de la comparación de la comparac	status beta ?
Edición de la ferencia de la fica	status alpha ?
Agregar dautores de la comes d	status alpha ?
Agregaranformación de la rtículo apaginación, avolumen, anúm., a etc.)	status alpha ?
Agregar draducciones ?	status alpha







Ruta de desarrollo (*Roadmap*), Contenido soportado

Título de la rtículo 2	status prod ?
Resumen?	status prod ?
Párrafos?	status prod ?
Títulos de Bección ?	status prod ?
Imágenes?	status alpha ?
Figuras?	status alpha ?
Listas?	Alpha24?
Tablas?	status alpha ?
Negritas Italicas Italic	status alpha ?
URLs@externas@ext-link)?	status prod ?
Superíndice By Bubíndice ?	status prod
Citas extuales blockquote)?	status beta

Ruta de desarrollo (*Roadmap*), transformaciones

JATS4R3>?TextureJATS?	status alpha
TextureJATS2>2ATS4R?	status alpha
JATSE>@ATS4R?	status alpha
Suite Deprue bas para Conversiones ?	Alpha 242
· · · · · · · · · · · · · · · · · · ·	

Integración

Sistema de la rchivos de la relativa de la compara de la c	Alpha 24?
Archivosæmpaquetadosænfformato@tar.gz@	Beta 12
Aplicación de descritorio para OSX, Windows y Linux?	Beta 12

?







Imágenes, formatos y calidad







Calidad de las imágenes

img1.jpg	Archivo JPG	37 KB
img2.jpg	Archivo JPG	31 KB
img3.jpg	Archivo JPG	15 KB
img4.jpg	Archivo JPG	28 KB
img5.jpg	Archivo JPG	72 KB
img6.jpg	Archivo JPG	15 KB
img7.png	Archivo PNG	22 KB







Name	Formula
Pearson correlation coefficient	$r = \frac{\sum (G - \overline{G})(C - \overline{C})}{\sqrt{(G - \overline{G})^2} \sqrt{(C - \overline{C})^2}}$
Mean error	$ME = \frac{1}{N} \sum (C - G)$
Relative mean absolute error	$RMAE = \frac{1}{N.\overline{G}} \sum (C - G)$
Nash-Sutcliffe efficiency coefficient	$Eff = 1 - \frac{\sum (C - G)^2}{\sum (G - \overline{G})^2}$
Percent bias	$PB = 100 \frac{\sum (C - G)}{\sum G}$

$$L\uparrow = \varepsilon_1 \sigma T_S^4,$$

$$L\downarrow = \varepsilon_2 \sigma T_A^4 \mid$$

$$LE = C_2(e_S - e_a),$$

$$L\downarrow = \varepsilon_2 \sigma T_A^4 \left[0.89 - 0.2 \left(10^{-0.07e_a}\right)\right], \ Q_{dif} = C_\omega \, \mathrm{k} \left(\frac{\partial \theta}{\partial z}\right)_{z=h}$$

$$L_{out} = A + BT_A - C F_{CL} \Delta T_{S,CL}, \qquad Q_{adv} = -C_{\omega} w (h) [\theta(h) - \theta_B],$$

$$Q_{adv} = -C_{\omega} w (h) [\theta(h) - \theta_B],$$

$$H = C_1 (T_S - T_A),$$



Distribution	CPF	Restrictions
Log-normal	$F_{X}(x; \boldsymbol{\theta}) = \int_{\xi}^{x} \frac{1}{(t - \xi) \sigma \sqrt{2\pi}} \exp\left\{-\frac{1}{2} \left[\frac{\ln(t - \xi) - \mu}{\sigma}\right]^{2}\right\} dt$	$x \ge \xi$ $\sigma \ge 0$
Pearson III	$F_{X}(x; \boldsymbol{\theta}) = \int_{\xi}^{x} \frac{1}{\mu^{\sigma} \Gamma(\sigma)} \left(\frac{t - \xi}{\mu} \right)^{\sigma - 1} \exp\left(-\frac{t - \xi}{\mu} \right) dt$	$ \begin{array}{c} x \ge \xi \\ \mu > 0; \ \sigma > 0 \end{array} $
Log-Pearson III	$F_{X}(x; \boldsymbol{\theta}) = \int_{\xi}^{x} \frac{1}{t\mu^{\sigma} \Gamma(\sigma)} \left[\frac{\ln(t) - \xi}{\mu} \right]^{\sigma - 1} \exp\left[-\frac{\ln(t) - \xi}{\mu} \right] dt$	$ \ln(x) \ge \xi \mu > 0; \ \sigma > 0 $
Weibull	$F_X(x; \theta) = 1 - \exp\left[-\left(\frac{x - \xi}{\mu}\right)^{\sigma}\right]$ where ξ, μ, σ are the location, scale and shape parameters	$x \ge \xi$ $\mu > 0; \sigma > 0$







- ¿Se cuenta con las imágenes originales?
- ¿La fuente de la imagen es el PDF del artículo?
- ¿Las imágenes disponibles son de calidad?







Especificaciones generales para las imágenes

Las imágenes que acompañan al documento deben cumplir con:

- Todos los textos que contengan deben ser legibles
- No deben visualizarse "pixelados"
- La calidad del gráfico debe ser igual o mejor que la del PDF

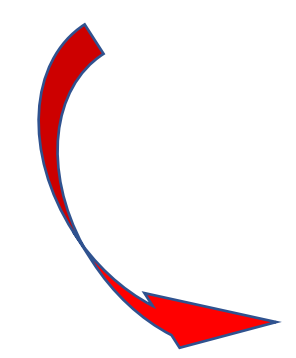
Formato del archivo

Las imágenes de las revistas no elegibles para PubMed Central pueden estar en los formatos .svg, .png, .jpg con resolución de 300 dpi como mínimo.





 La incrustación de las imágenes en Word para su conversión a XML degrada la calidad de las imágenes



 Uso de las imágenes originales en lugar de las incrustadas en Word







Tipos de imágenes

Mapa de Bits:

Están formadas por una serie de puntos (pixeles) que se guarda como archivo. Cada unos de los pixeles guarda información del color y luminosidad.

JPG PNG BMP GIF

Adobe Photoshop, Gimp, etc.

Imágenes vectoriales:

Están formada por objetos geométricos independientes (líneas, arcos, polígonos, etc.), cada uno de ellos definido por vectores que determinan sus características de forma, posición, color, etc.

AI (Adobe Illustrator), CDR (Corel Draw), SVG (Inkscape).





Sugerencia de uso de formatos

Una imagen óptima para el web depende del tipo de imagen y del formato del archivo.

SVG

Elementos sencillos como gráficas, diagramas, mapas, logos, texto.

JPG

Fotografías, imágenes con colores complejos y gran detalle.

PNG

Gráficas, dibujos, texto, logos, imágenes con transparencia.









Scalable Vector Graphics

https://www.w3schools.com/graphics/svg_intro.asp

- Define imágenes basadas en vectores para el web en formato XML
- Las imágenes SVG no pierden calidad cuando se aumenta o reduce su visualización
- Permite definir imágenes tanto estáticas como animadas
- Es una recomendación de W3C





Ventajas de SVG

- ✓ Las imágenes SVG pueden ser creadas y editadas en cualquier editor de textos
- ✓ Puede realizarse búsqueda e indexación a las imágenes SVG
- ✓ Las imágenes SVG son escalables
- ✓ Las imágenes SVG pueden ser impresas con alta calidad
- ✓ Las imágenes SVG no pierden calidad cuando se amplían
- ✓ SVG es un estándar abierto
- ✓ Los archivos SVG son código XML





$$\vec{J} = \frac{\partial \vec{P}}{\partial t} = \frac{\partial}{\partial t} \varepsilon_0 \chi^{(1)} \vec{E} + \frac{\partial}{\partial t} \varepsilon_0 \chi^{(3)} |\vec{E}|^2 \bar{E}$$



$$\vec{J} = \frac{\partial \vec{P}}{\partial t} = \frac{\partial}{\partial t} \varepsilon_0 \chi^{(1)} \vec{E} + \frac{\partial}{\partial t} \varepsilon_0 \chi^{(3)} |\vec{E}|^2 \vec{E} \qquad \qquad \vec{J} = \frac{\partial \vec{P}}{\partial t} = \frac{\partial}{\partial t} \varepsilon_0 \chi^{(1)} \vec{E} + \frac{\partial}{\partial t} \varepsilon_0 \chi^{(3)} |\vec{E}|^2 \vec{E}$$

$$\vec{J} = \frac{\partial \vec{P}}{\partial t} = \frac{\partial}{\partial t} \varepsilon_{0} \chi(1) \vec{E} + \frac{\partial}{\partial t} \varepsilon_{0} \chi(3) \vec{E} \Big|^{2} \vec{E}$$



$$\vec{J} = \frac{\partial \vec{P}}{\partial t} = \frac{\partial}{\partial t} \varepsilon_{0} \chi(1) \vec{E} + \frac{\partial}{\partial t} \varepsilon_{0} \chi(3) \vec{E} \Big|^{2} \vec{E}$$







Ejemplo

circulo.html

```
<!DOCTYPE html>
<html>
<body>
<h1>My first SVG</h1>
<svg height="200" width="200">
  <circle cx="100" cy="100" r="90" stroke="blue" stroke-</pre>
width="3" fill="aqua" />
Sorry, your browser does not support inline SVG.
</svg>
</body>
</html>
```







Ejemplo ecuación

ecuacion2.svg

$$R_S \frac{dT_S}{dt} = Q_s - L \uparrow + L \downarrow - H - LE + Q_{dif} + Q_{adv}$$

```
ecuacion2.svg
    <?xml version="1.0" encoding="UTF-8"?>
    <svg width="199pt" height="24.1pt" version="1.2" viewBox="0 0 198.92449 24.083621" xmlns="</pre>
    http://www.w3.org/2000/svg" xmlns:cc="http://creativecommons.org/ns#" xmlns:dc="http://
    purl.org/dc/elements/1.1/" xmlns:rdf="http://www.w3.org/1999/02/22-rdf-syntax-ns#" xmlns:xlink
    ="http://www.w3.org/1999/xlink">
        <metadata>
             <rdf:RDF>
                <cc:Work rdf:about="">
                     <dc:format>image/svg+xml</dc:format>
                     <dc:type rdf:resource="http://purl.org/dc/dcmitype/StillImage"/>
 8
                     <dc:title/>
 9
                 </cc:Work>
10
             </rdf:RDF>
11
        </metadata>
12
         <defs>
13
            <symbol id="gp" overflow="visible">
14
                 <path d="m0.266-0.0938c1.07-1.11 1.8-1.93 2.19-2.45 0.383-0.52 0.578-1.03</pre>
                0.578-1.53
                0-0.438-0.121-0.766-0.359-0.984-0.23-0.227-0.508-0.344-0.828-0.344-0.406 0-0.734
                0.148-0.984 0.438-0.137 0.156-0.266 0.402-0.391 0.7341-0.188-0.0312c0.145-0.676
                0.391-1.14 0.734-1.41 0.352-0.258 0.734-0.391 1.14-0.391 0.488 0 0.883 0.156 1.19
                0.469 0.312 0.312 0.469 0.695 0.469 1.14 0 0.48-0.168 0.945-0.5 1.39-0.336
                0.449-1.05 1.24-2.16 2.38h2.02c0.281 0 0.477-0.0312 0.594-0.0938 0.113-0.0703
                0.242-0.238 0.391-0.510.109 0.0625-0.484 1.22h-3.52z"/>
15
            </symbol>
16
            <symbol id="go" overflow="visible">
                 <path d="m2.27-0.156c0.332 0 0.582-0.0938 0.75-0.281 0.176-0.188 0.266-0.422</pre>
17
                0.266-0.703
                0-0.312-0.0938-0.566-0.281-0.766-0.18-0.195-0.547-0.5-1.11-0.906-0.262
                0.156-0.449 0.367-0.562 0.625-0.105 0.25-0.156 0.492-0.156 0.719 0 0.406 0.0977
                0.73 0.297 0.969 0.207 0.23 0.473 0.344 0.797 0.344zm0.0625-3.34c0.27-0.195
                0.457-0.363 0.562-0.5 0.188-0.219 0.281-0.488 0.281-0.812
                0-0.281-0.0898-0.516-0.266-0.703-0.168-0.195-0.43-0.297-0.781-0.297-0.273 0-0.496
                0.0898-0.672 0.266-0.168 0.168-0.25 0.371-0.25 0.609 0 0.273 0.0977 0.527 0.297
                0.766 0.207 0.242 0.484 0.465 0.828 0.672zm-0.688
                0.5c - 0.387 - 0.312 - 0.648 - 0.555 - 0.781 - 0.734 - 0.219 - 0.281 - 0.328 - 0.594 - 0.328 - 0.938
                0-0.383 0.156-0.711 0.469-0.984 0.32-0.27 0.742-0.406 1.27-0.406 0.469 0 0.836
                0.133 1.11 0.391 0.281 0.25 0.422 0.543 0.422 0.875 0 0.344-0.141 0.652-0.422
                0.922-0.168 0.156-0.434 0.34-0.797 0.547 0.5 0.367 0.852 0.688 1.06 0.969 0.219
                0.273 0.328 0.594 0.328 0.969 0 0.418-0.164 0.773-0.484 1.06-0.312 0.281-0.734
                0.422-1.27 0.422-0.48 0-0.891-0.129-1.23-0.391-0.336-0.27-0.5-0.617-0.5-1.05
                0-0.375 0.113-0.703 0.344-0.984 0.156-0.188 0.426-0.41 0.812-0.672z"/>
18
            </symbol>
```



Ejemplo tabla

tabla1.svg

Parameter	Used value	
R_A : Heat capacity of an		
atmosphere 8.5 km-depth	11.043913 MJ/(m2K)	
R _s : Oceanic mixed layer		
heat capacity	128.658000 MJ/(m2K)	
h: Oceanic mixed layer depth	30 m	
D: Bottom depth of deep ocean	2970 m	
θ_B : Bottom water temperature	3.4 °C	
σ: Stefan-Boltzmann constant	$5.67 \times 10^{-8} \text{ W/(m}^2\text{K}^4)$	
ε_l : Emisivity coefficient	0.91	
ε ₂ : Emisivity coefficient	0.82	
A: Longwave radiation		
flux coefficient	-251 W/m^2	
B: Longwave radiation		
flux coefficient	$1.8 \text{ W/(m}^2\text{K})$	
C: Longwave radiation	1.000.000.000.000.000.000.000.000.000.0	
flux coefficient	1.73 W/(m ² K)	
F _{CL} : Area weighted mean		
annual cloud amount	0.6	
$\Delta T_{r,CL}$: Surface to cloud		
top temperature difference	32.34 K	
C ₁ : Turbulent sensible heat		
flux coefficient	12.57 W/(m ² v)	
C2: Latent heat flux coefficient	12.65 W/(m ² mbar)	
C₀: Volumetric heat capacity	(
of the water	4288600 J/ (m3K)	

tabla1.svg ×

- 1 <?xml version="1.0" encoding="UTF-8"?>
- <svg width="302" height="417" version="1.1" viewBox="0 0 302.168 416.63199" xml:space="</pre> preserve" xmlns="http://www.w3.org/2000/svg" xmlns:cc="http://creativecommons.org/ns#" xmlns: dc="http://purl.org/dc/elements/1.1/" xmlns:rdf="http://www.w3.org/1999/02/22-rdf-syntax-ns#" ><metadata><rdf:RDF><cc:Work rdf:about=""><dc:format>image/svg+xml</dc:format><dc:type rdf: resource="http://purl.org/dc/dcmitype/StillImage"/><dc:title/></cc:Work></rdf:RDF></metadata> <defs><clipPath id="clipPath12309"><path d="m0 751h567v-751h-567z"/></clipPath><clipPath id="</pre> clipPath12321"><path d="m56.7 102h227v70.2h-227z"/></clipPath><clipPath id="clipPath12489">< path d="m56.7 102h227v70.2h-227z"/></clipPath><clipPath id="clipPath12515"><path d="m56.7</pre> 102h227v70.2h-227z"/></clipPath><clipPath id="clipPath12721"><path d="m56.7" 29.8h169v14.2h-169z"/></clipPath><clipPath id="clipPath12737"><path d="m56.7" 29.8h169v14.2h-169z"/></clipPath><clipPath id="clipPath12753"><path d="m56.7" 29.8h169v14.2h-169z"/></clipPath><clipPath id="clipPath12773"><path d="m56.7" 29.8h169v14.2h-169z"/></clipPath><clipPath id="clipPath12793"><path d="m56.7"29.8h169v14.2h-169z"/></clipPath><clipPath id="clipPath12813"><path d="m56.7" 29.8h169v14.2h-169z"/></clipPath><clipPath id="clipPath13499"><path d="m56.7" 262h227v404h-227z"/></clipPath><clipPath id="clipPath13705"><path d="m56.7 262h227v404h-227z" /></clipPath><clipPath id="clipPath14079"><path d="m56.7 262h227v404h-227z"/></clipPath>< clipPath id="clipPath15001"><rect transform="scale(1,-1)" x="298" y="-650" width="227" height</pre> ="312" opacity=".182" stroke-width=".75"/></clipPath></defs><g transform="matrix(1.33 0 0 -1.33 -397 867)"><g clip-path="url(#clipPath15001)"><text transform="matrix(1 0 0 -1 511 702) " fill="#231f20" font-family="Times" font-size="9px"><tspan x="0 4.5 9" y="0">281</tspan></ text>
- 4 </g><g clip-path="url(#clipPath12321)"><text transform="matrix(1 0 0 -1 57 162)" fill=" #231f20" font-family="'Times New Roman PS MT'" font-size="9.17px" font-style="italic"><tspan x="0" y="0">L</tspan></text>
- 5 </g><g fill="#231f20" font-family="'Times New Roman PS MT'"><text transform="matrix(1 0 0 -1 62.1 162)" font-size="9.17px"><tspan x="0 4.5872002 6.8807998 12.055161" y="0">↑ = </tspan></text>
- 6 <text transform="matrix(1 0 0 -1 76.4 162)" font-size="9.17px" font-style="italic"><tspan x=" 0" v="0">&</tspan></text>
- 7 <text transform="matrix(1 0 0 -1 80.1 161)" font-size="5.35px"><tspan x="0" y="0">1</tspan></text>
- 8 <text transform="matrix(1 0 0 -1 82.7 162)" font-size="9.17px" font-style="italic"><tspan x="" 0 4.5229793" y="0">σT</tspan></text>

¿Cómo obtener las imágenes?

Descarga InkScape

https://inkscape.org/es/descargas/

Descarga de GIMP

https://www.gimp.org/

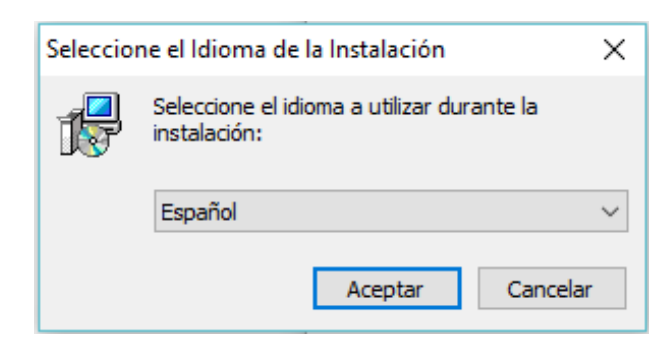






Instalación GIMP

1. Seleccionar idioma, clic en **Aceptar**



2. Inicialmente instalar sin personalizar, clic en **Instalar**

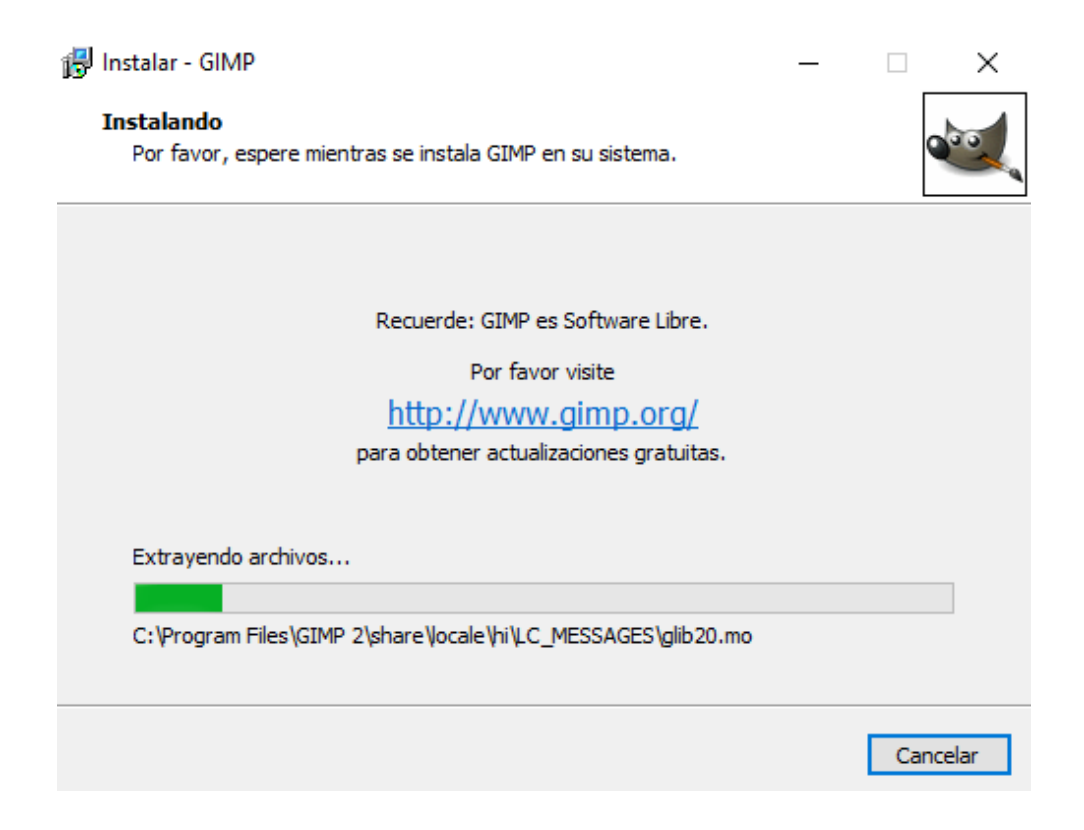








3. Esperar descarga e instalación de archivos.



4. Finalizar la instalación, clic en **Finalizar**









Instalación INKSCAPE

1. Seleccionar idioma, clic en **OK**



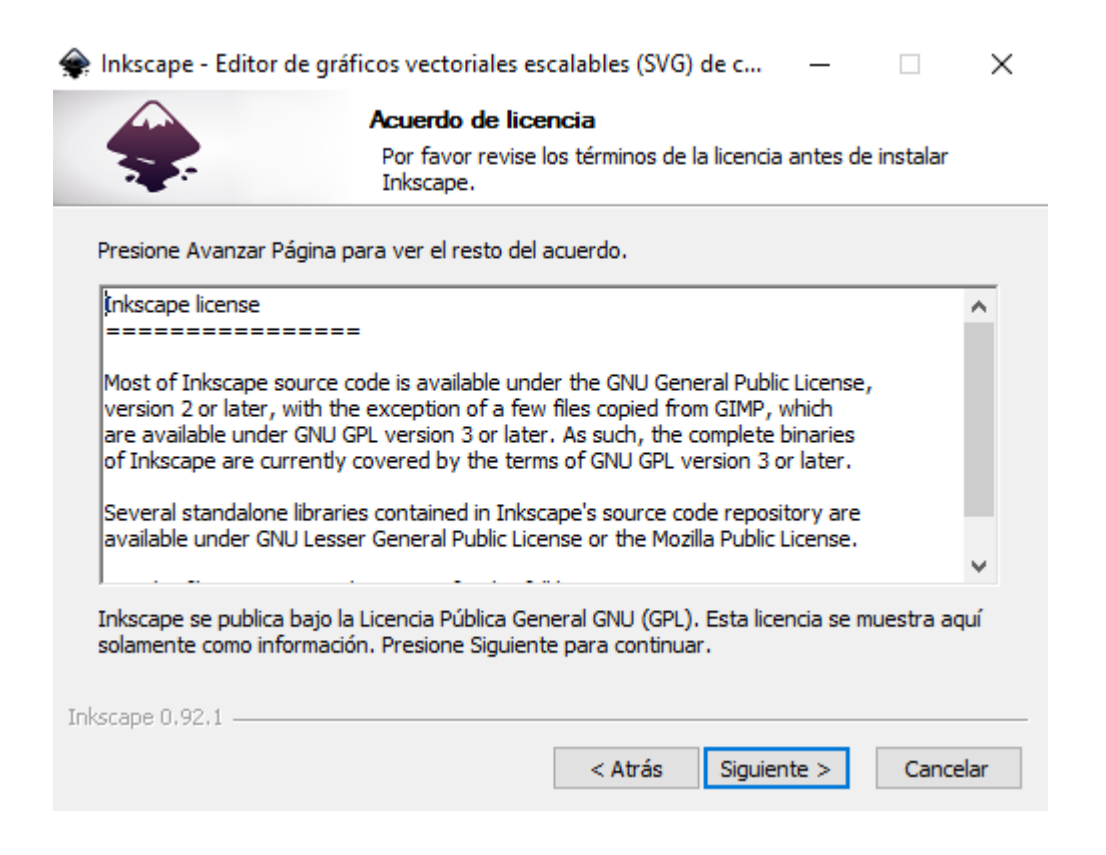
2. Verificar que no haya aplicaciones abiertas, clic en **Siguiente**



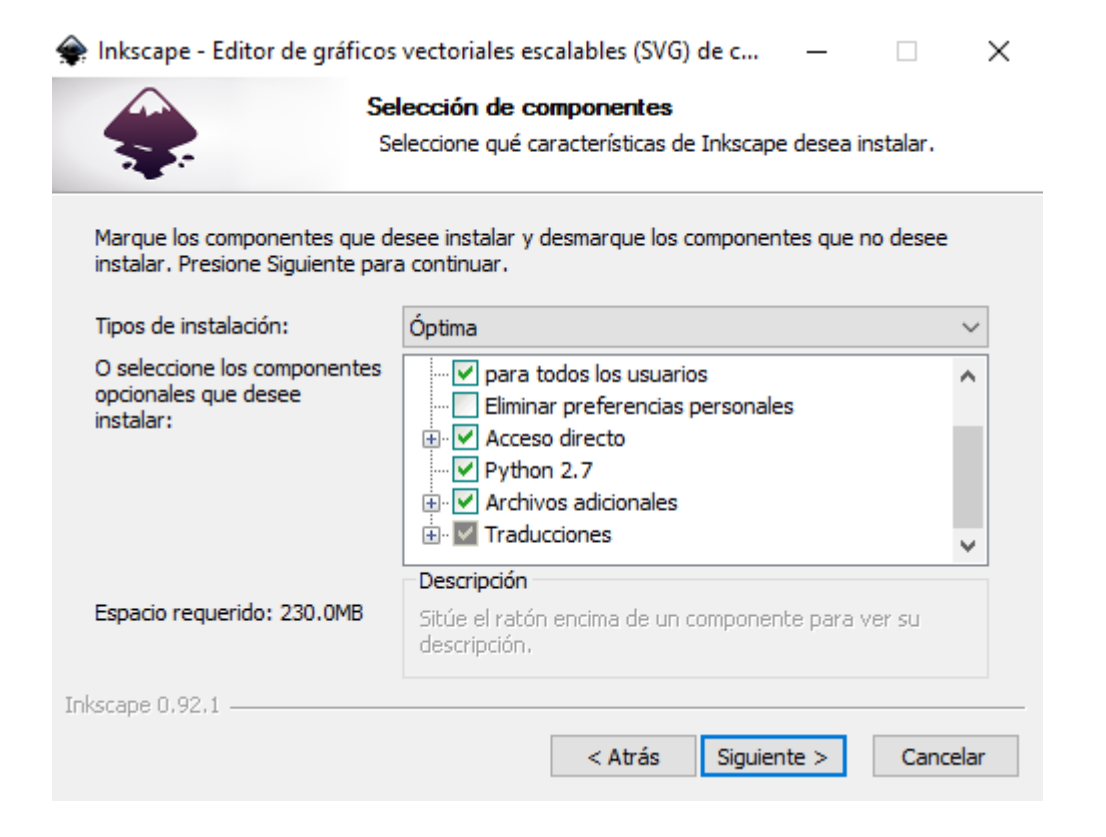




3. Revisar licencia, clic en Siguiente



4. Seleccionar componentes a instalar, clic en Siguiente

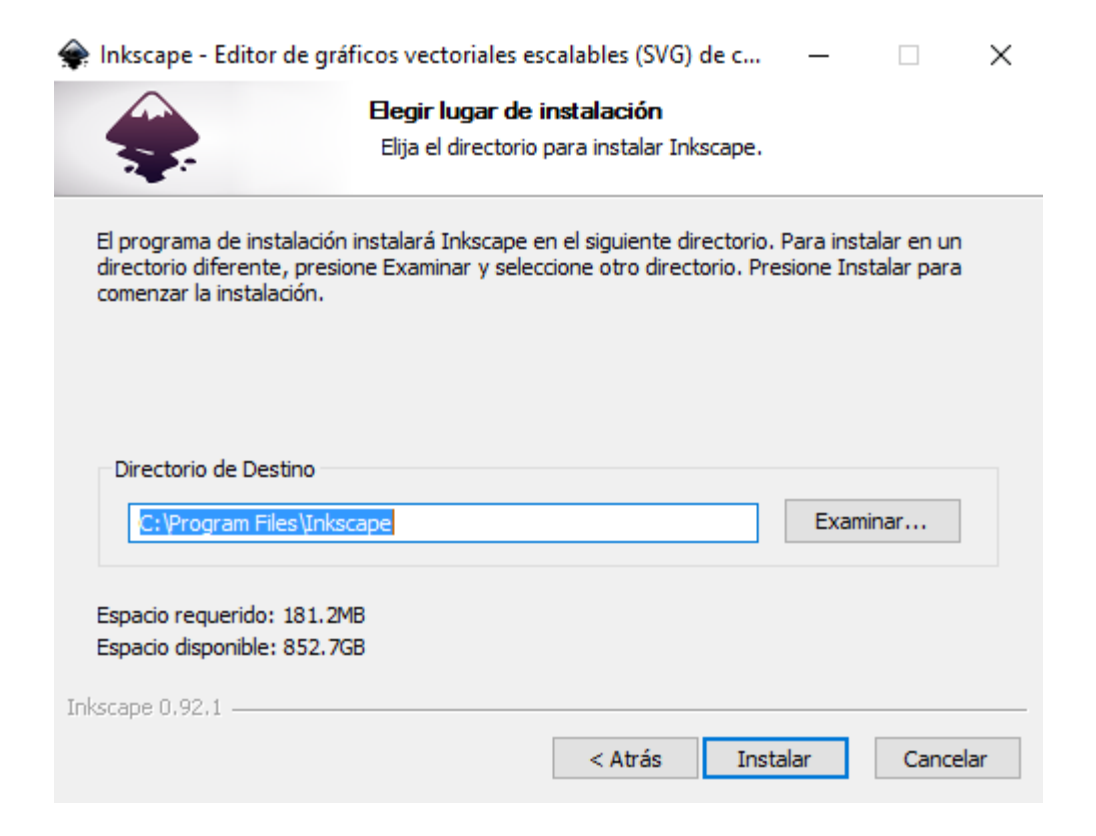




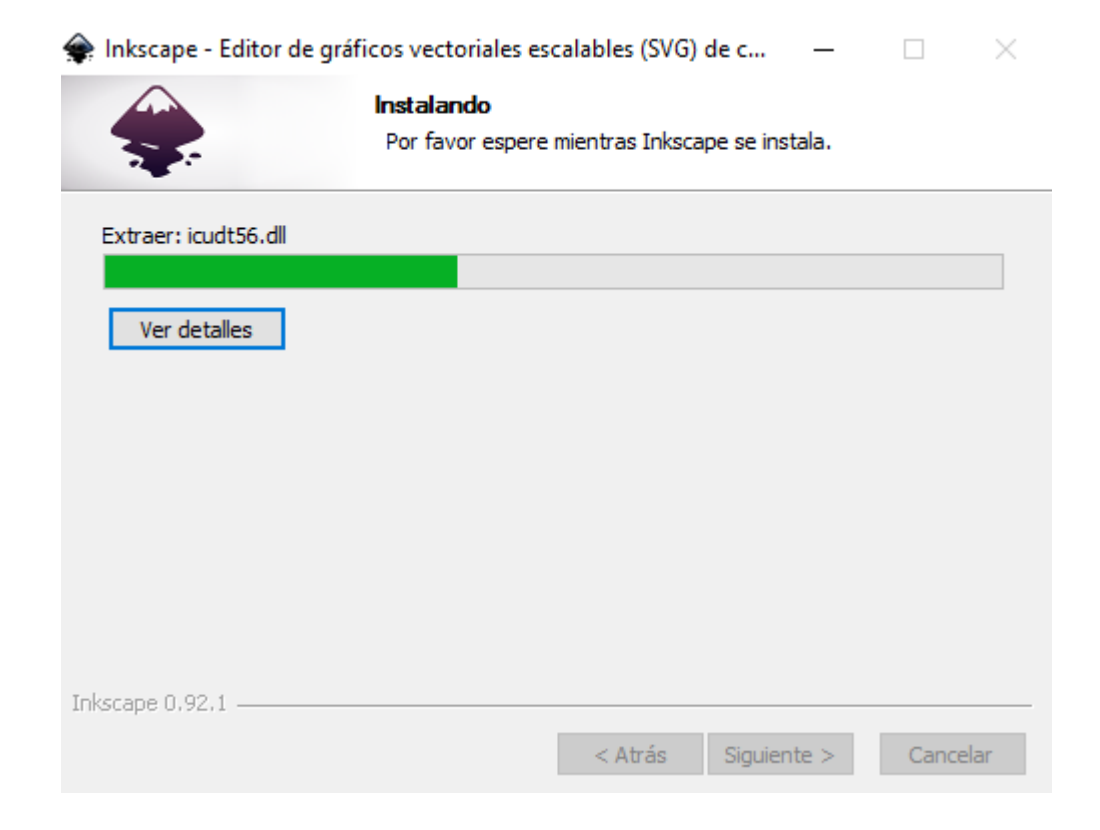




5. Elegir lugar de instalación, clic en **Instalar**



6. Esperar descarga e instalación de archivos.









7. Terminar la instalación, clic en **Terminar**



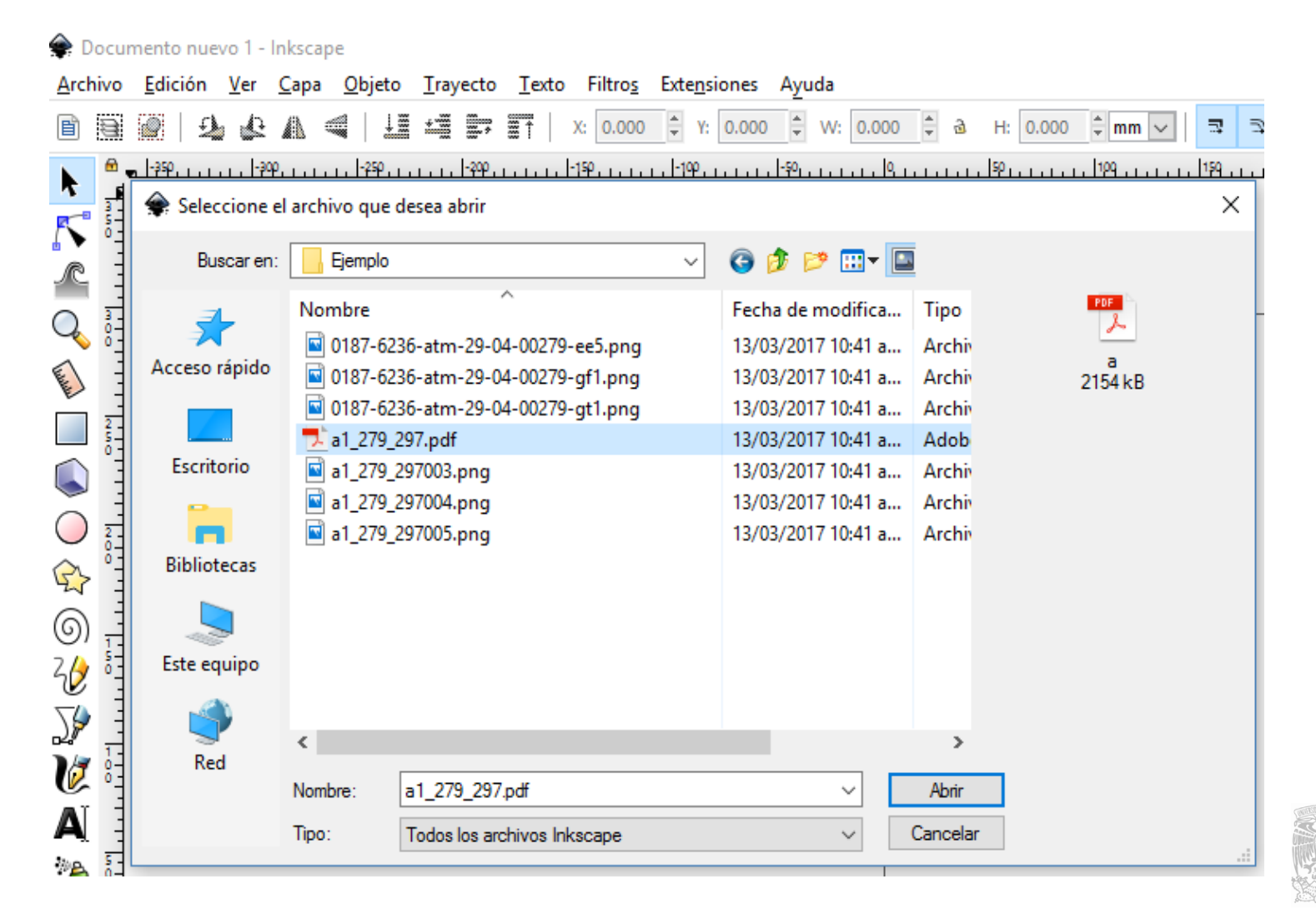






Extraer imágenes de PDF a formato SVG con INKSCAPE

1. Abrir el archivo PDF que contienen las imágenes

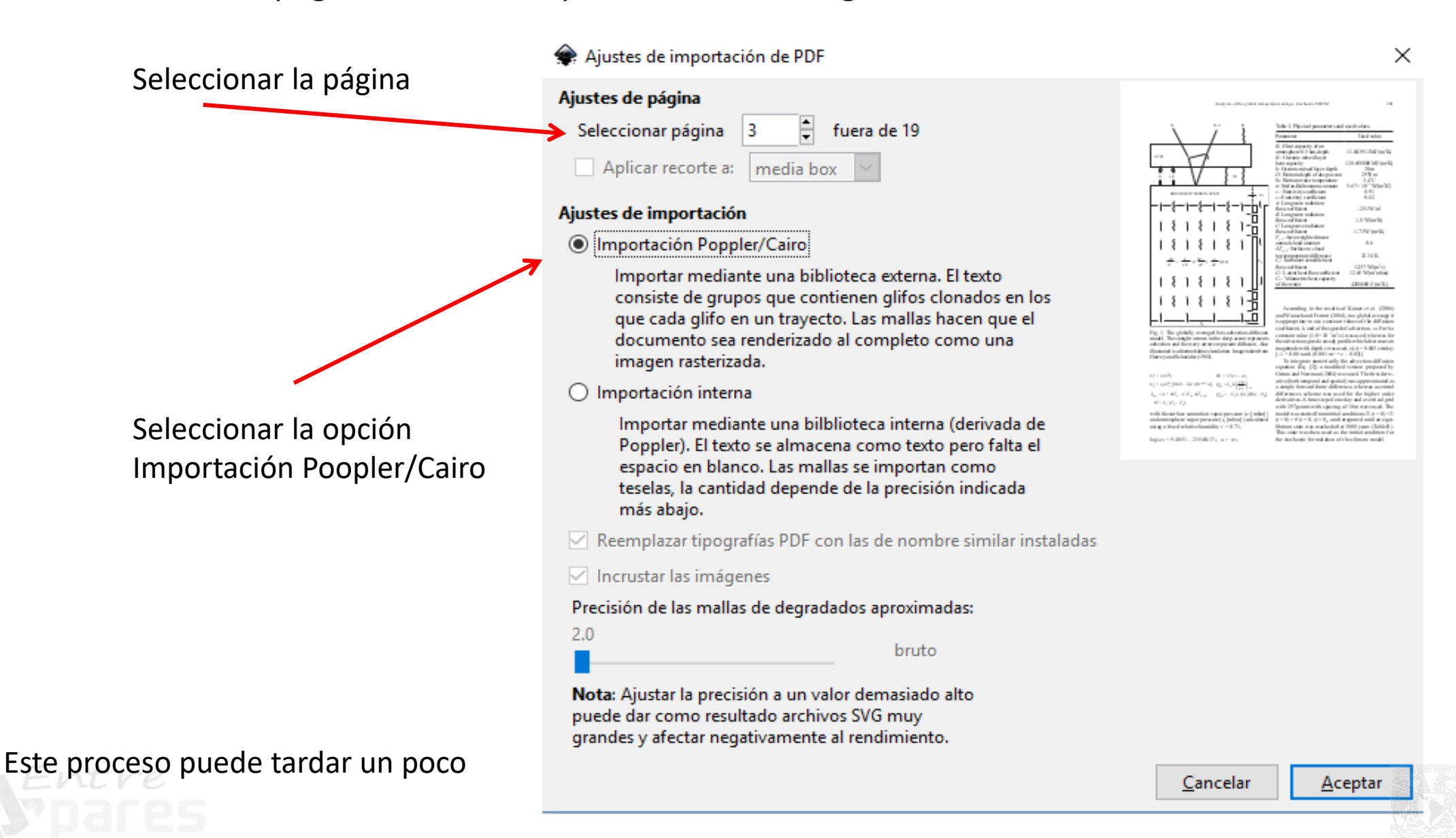








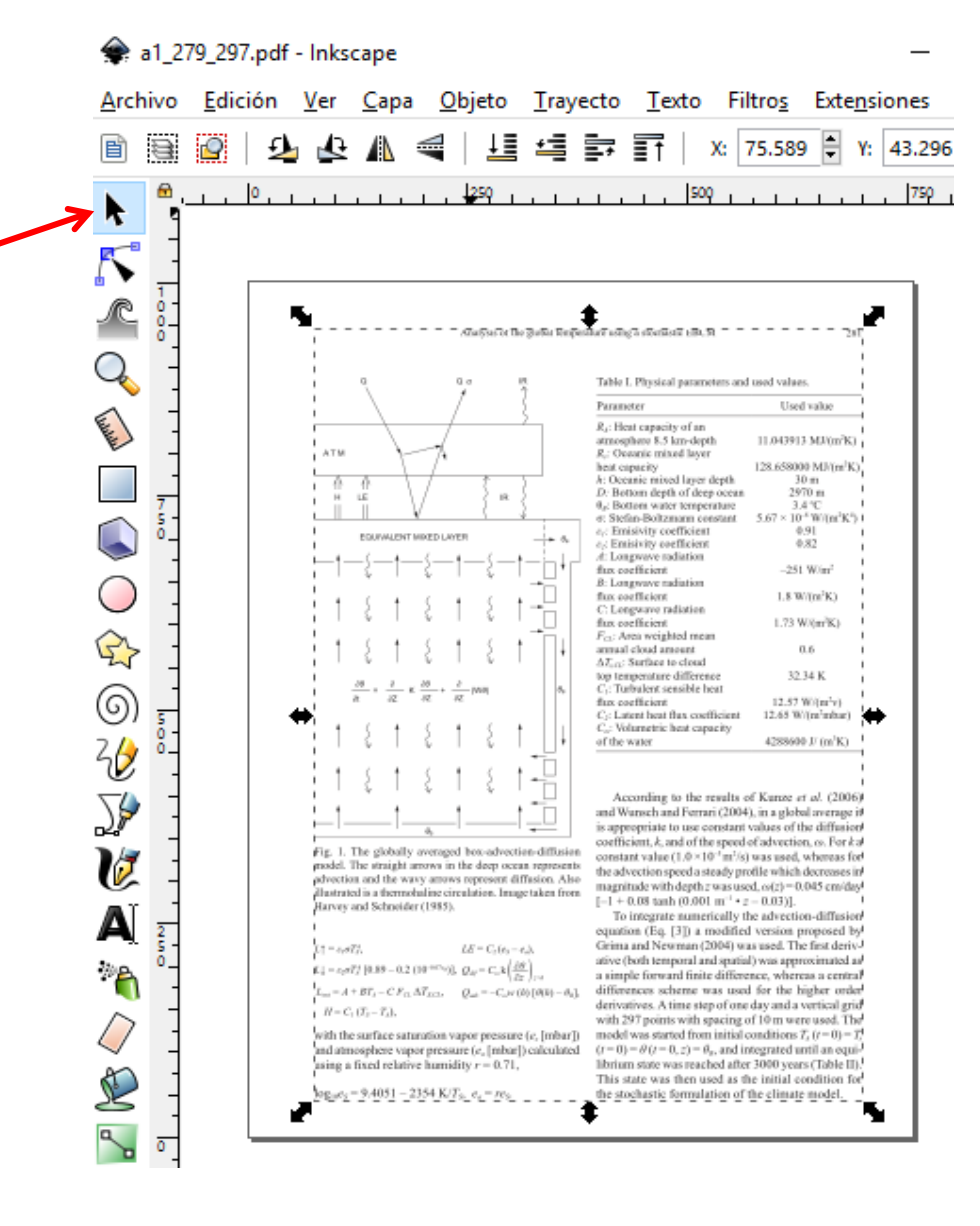
2. Localizar la página del archivo que contiene la imagen a extraer





3. Verificar que la página contiene solo un objeto

Seleccionar toda la hoja, verificar visualmente que solo se tiene un objeto

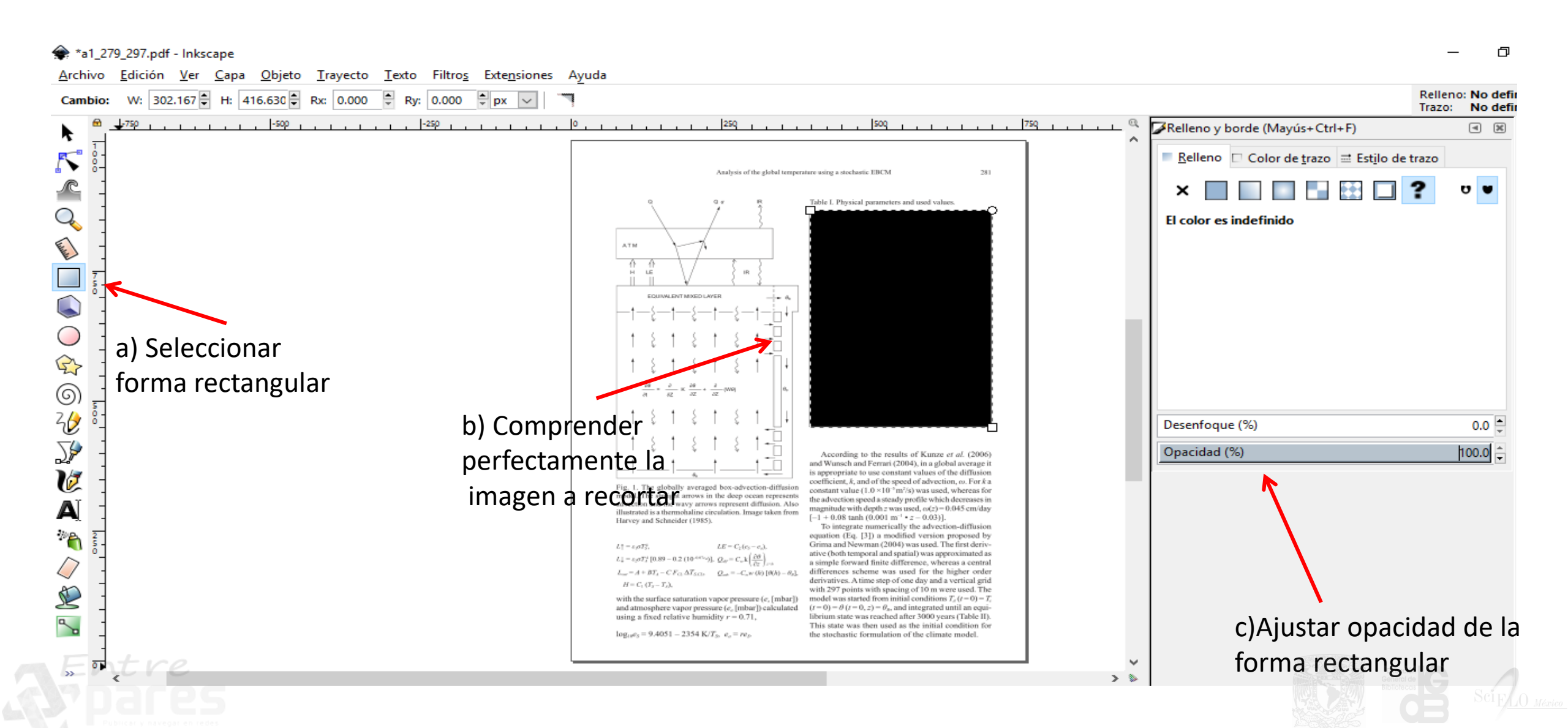




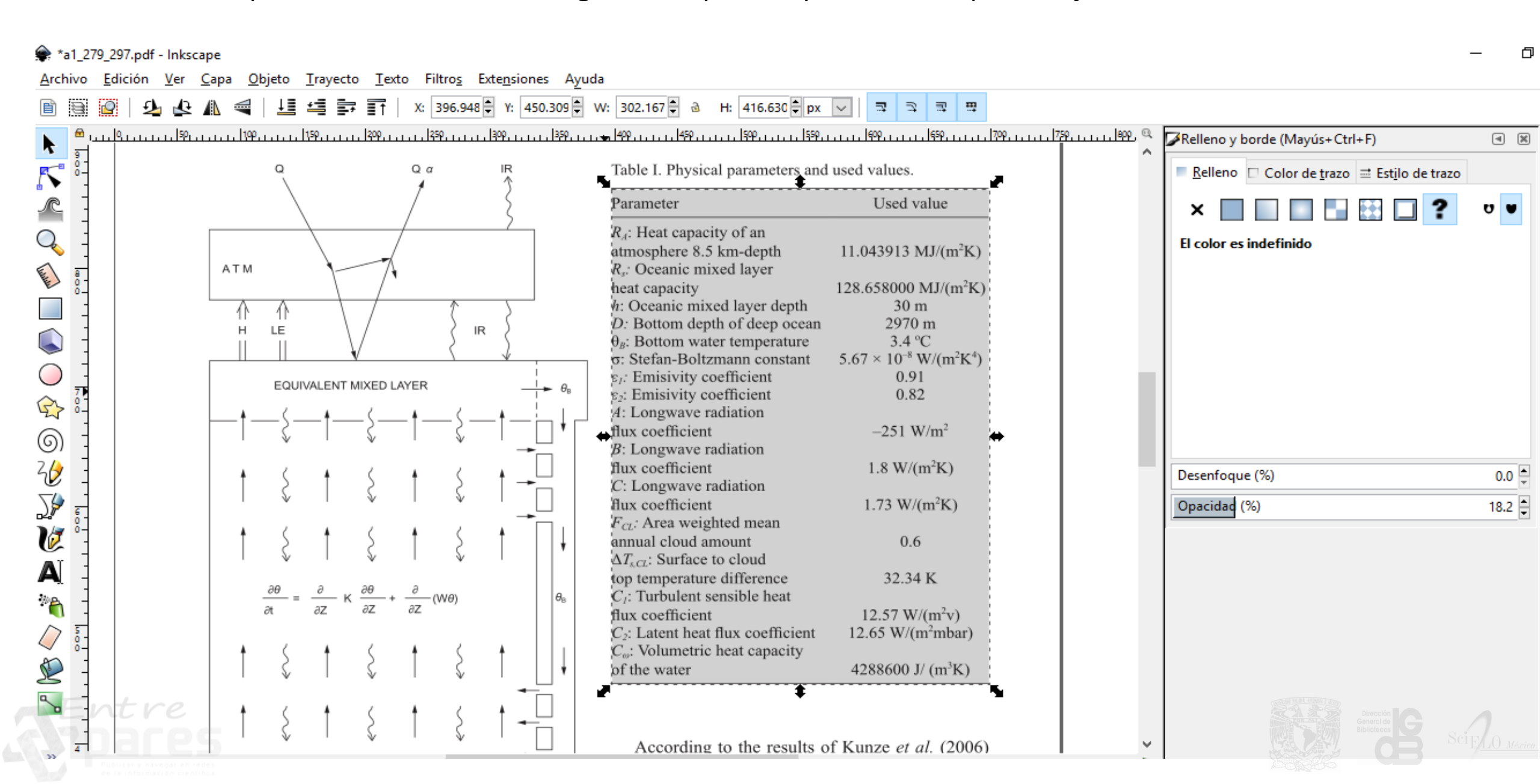




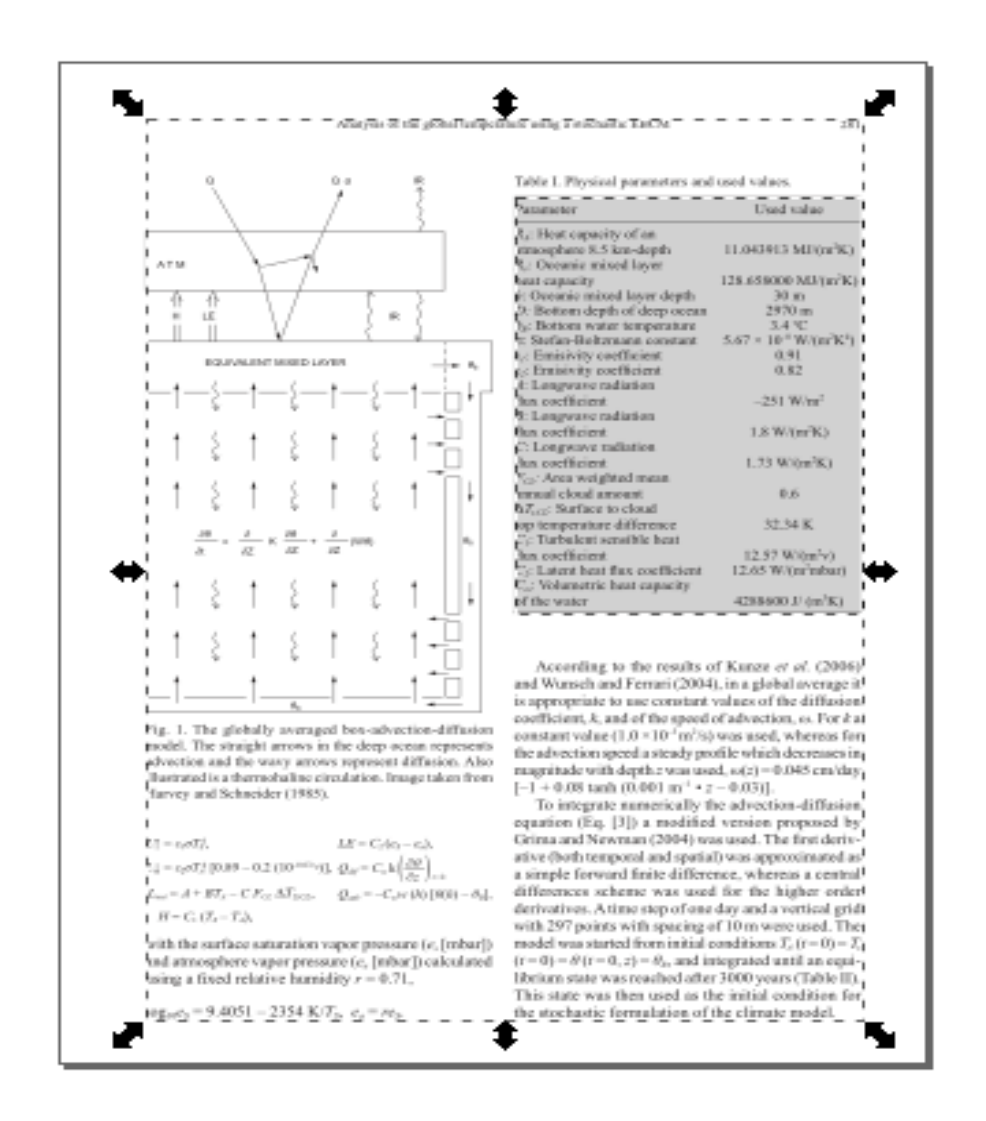
4. Con la forma rectangular seleccionar el elemento a recortar Para un recorte óptimo hacer la forma rectangular transparente y aumentar el porcentaje de visualización



Para un recorte óptimo hacer la forma rectangular transparente y aumentar el porcentaje de visualización



5. Seleccionar toda la hoja incluyendo el objeto a recortar

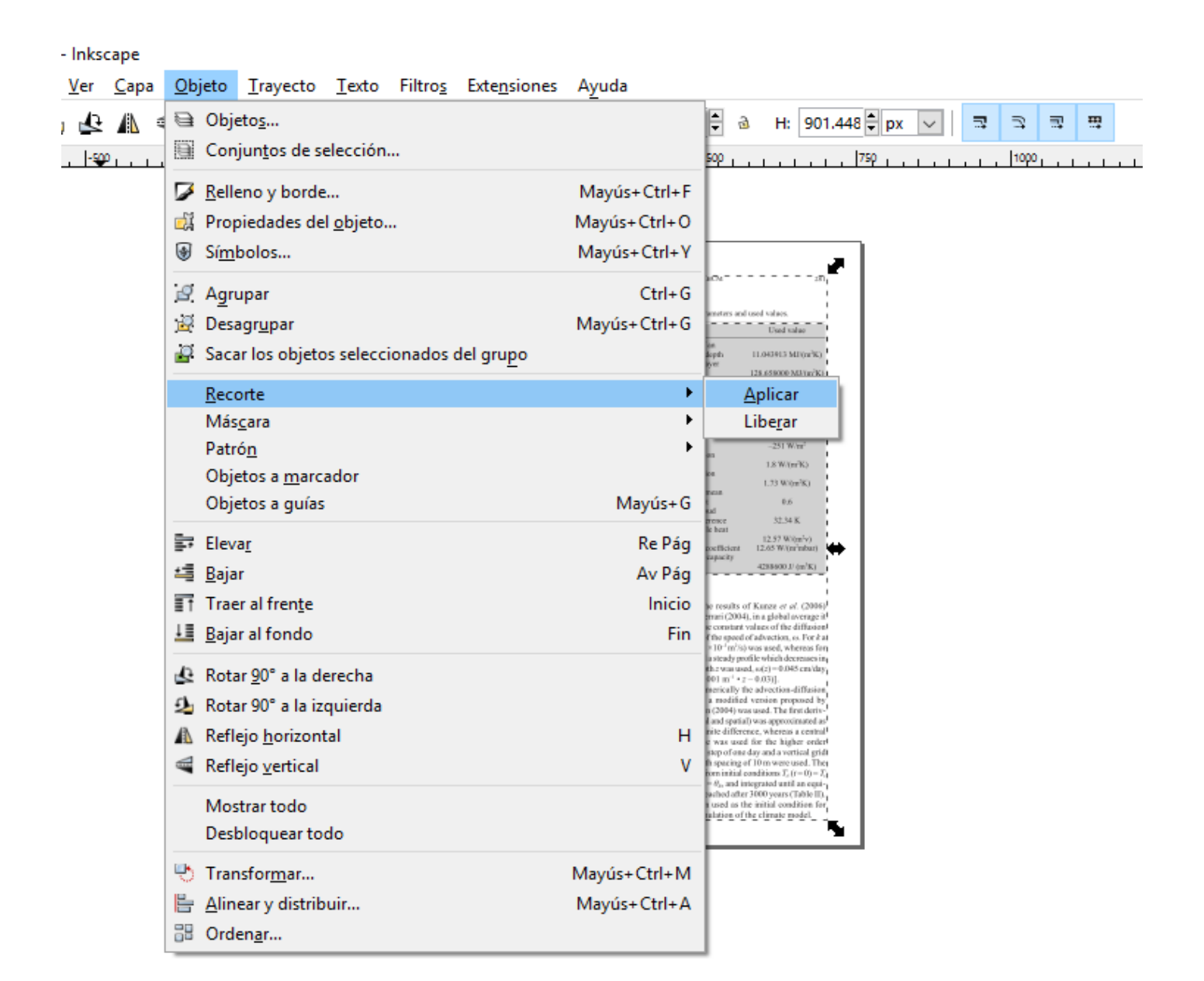








6. En el menú de **Objeto** seleccionar **Recorte-Aplicar**

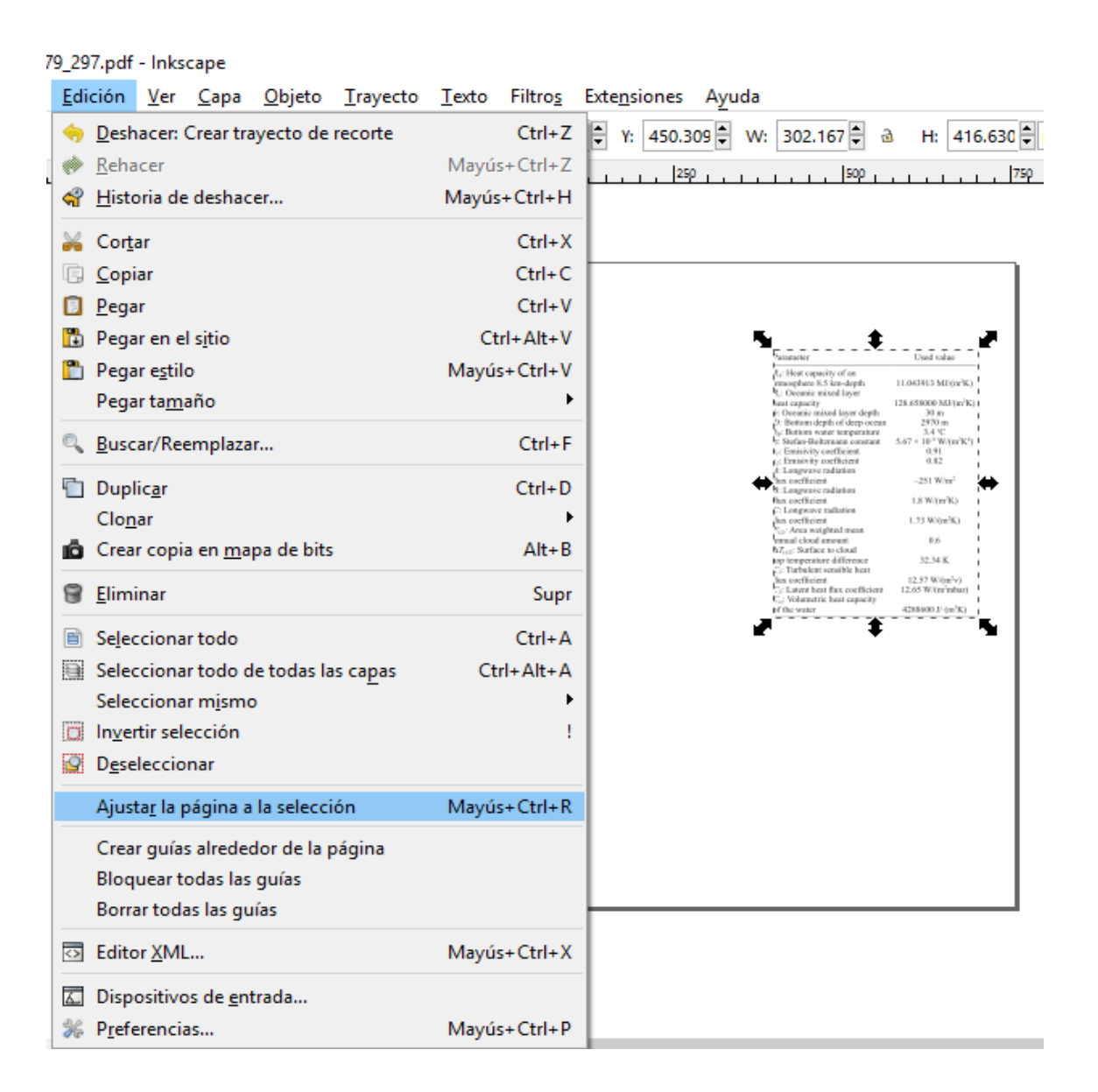








7. En el menú Edición ejecutar Ajustar la página a la selección

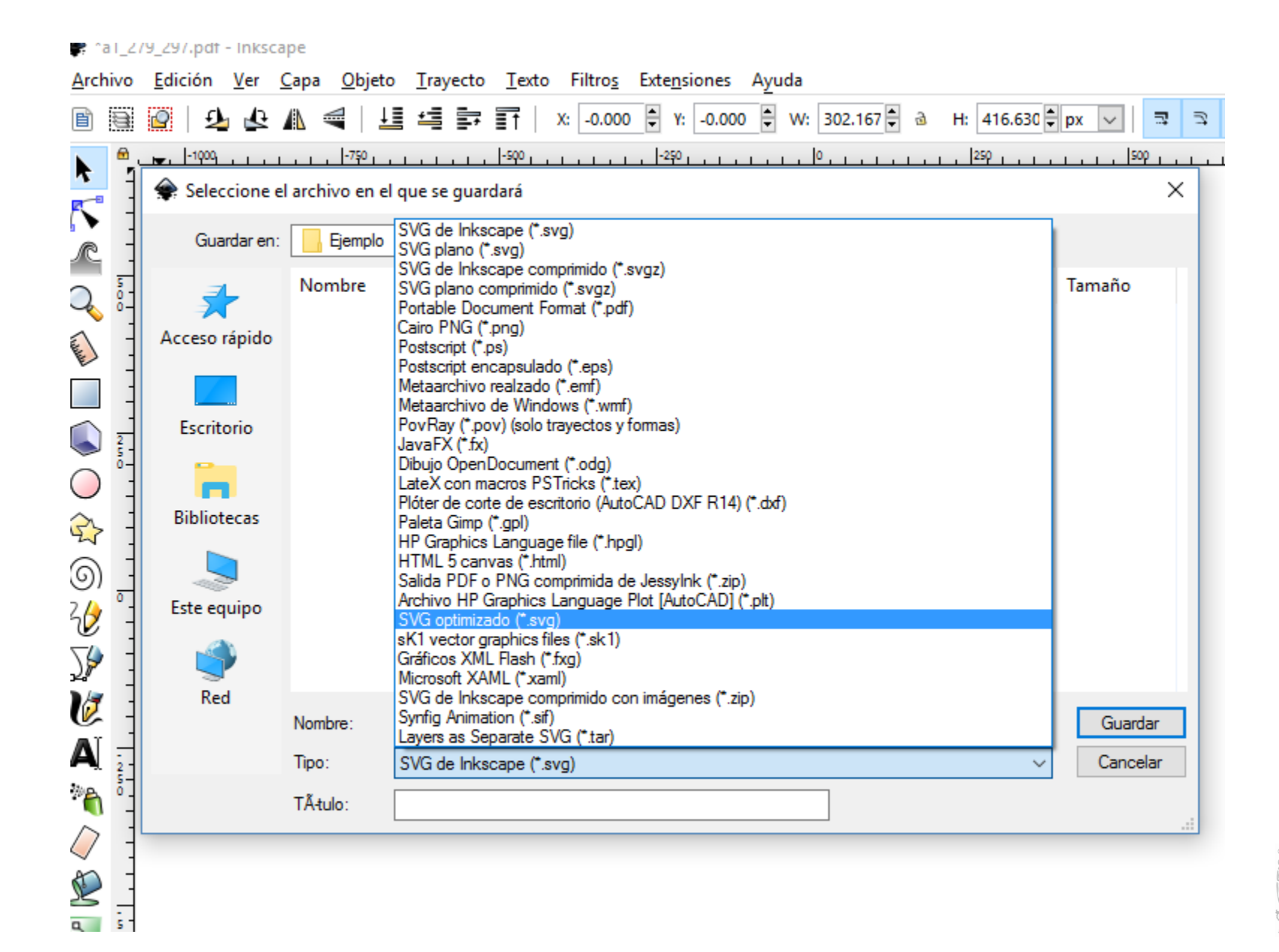








8. En el menú Archivo seleccionar Guardar como – SVG optimizado (*.svg)



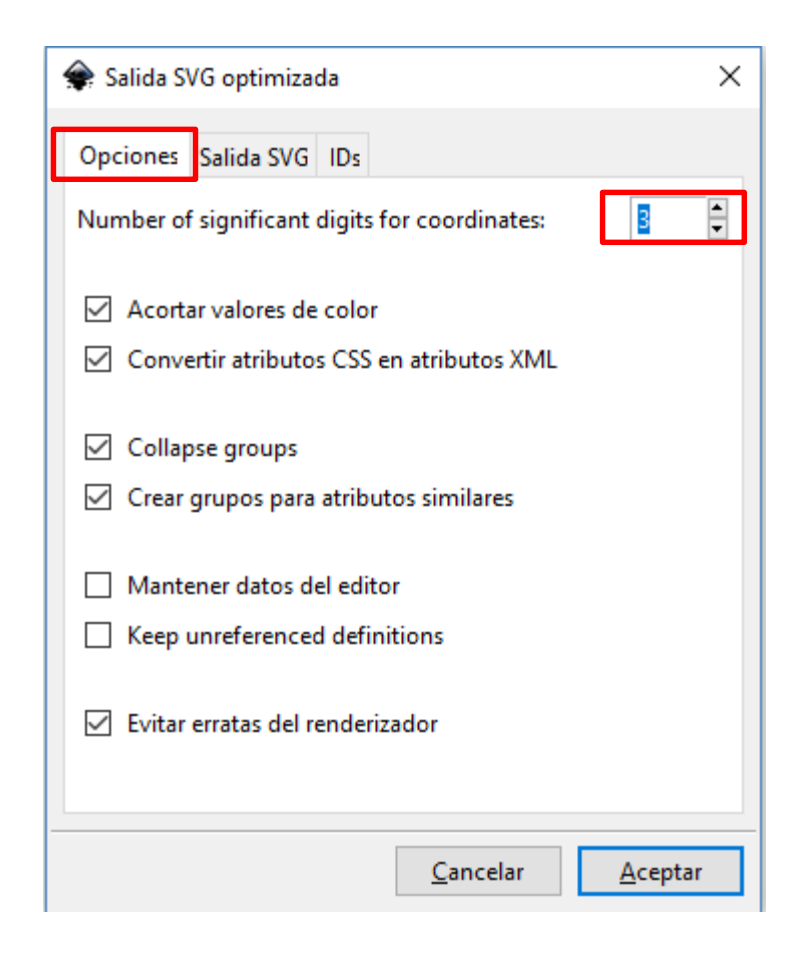






9. Seleccionar las siguientes opciones finales:

** En la opción **Number of significant digits for coordinates** verificar la mejor elección



Opciones Salida SVG IDs	
Document options	
Remove the XML declaration	
Eliminar metadatos	
▼ Eliminar comentarios	
✓ Embed raster images	
Activar vista de contenedor	
Pretty-printing	
Format output with line-breaks and indentation	
Indentation characters: None	
Depth of indentation:	
Strip the "xml:space" attribute from the root SVG element	
<u>C</u> ancelar <u>A</u> ceptar	

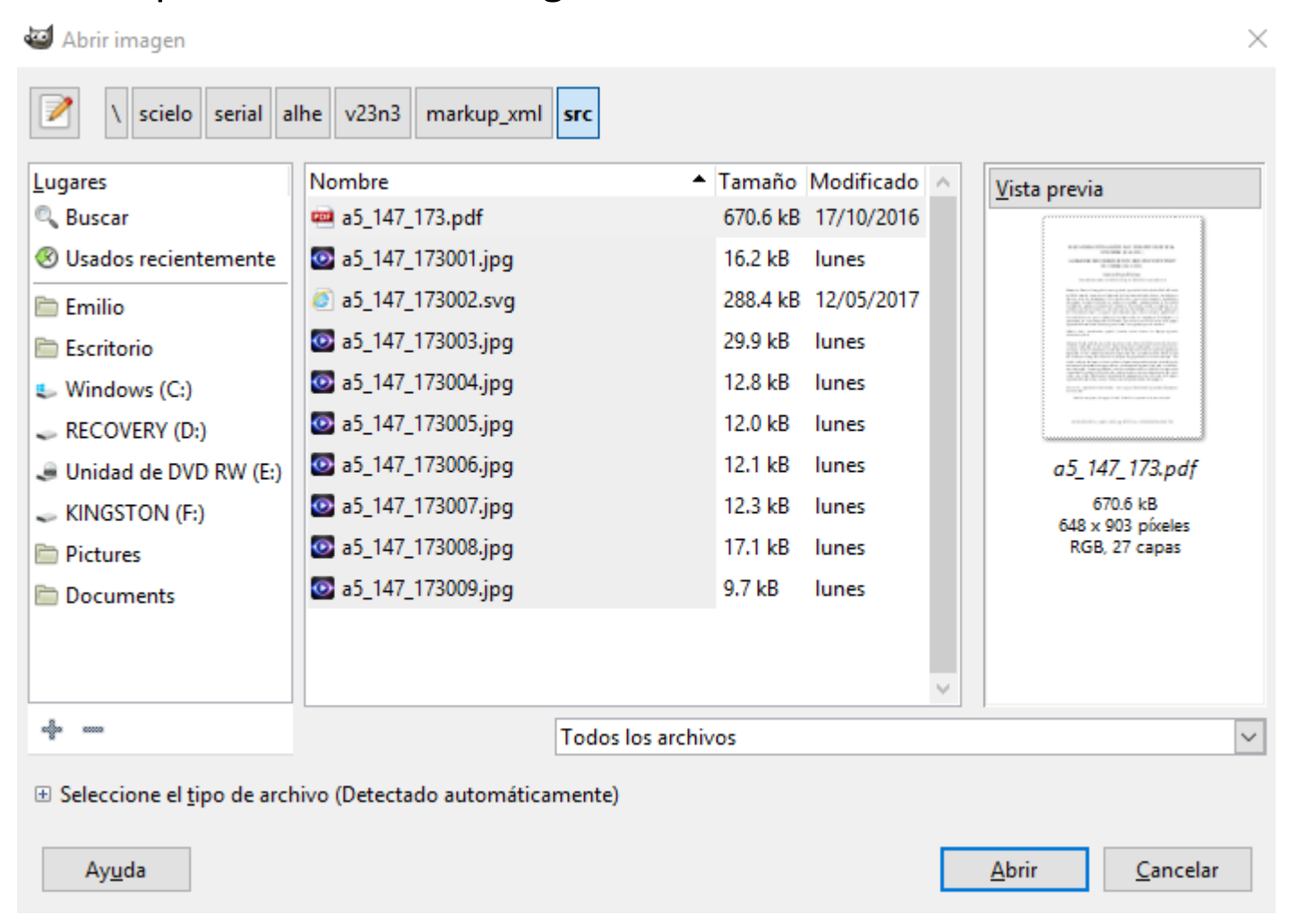
🛊 Salida SVG optimizada 💌
Opciones Salida SVG IDs
Remove unused IDs
Acortar IDs Prefix shortened IDs with:
✓ Preserve manually created IDs not ending with digits
Preserve the following IDs:
Preserve IDs starting with:
<u>C</u> ancelar <u>A</u> ceptar







1. Abrir el archivo que contiene las imágenes

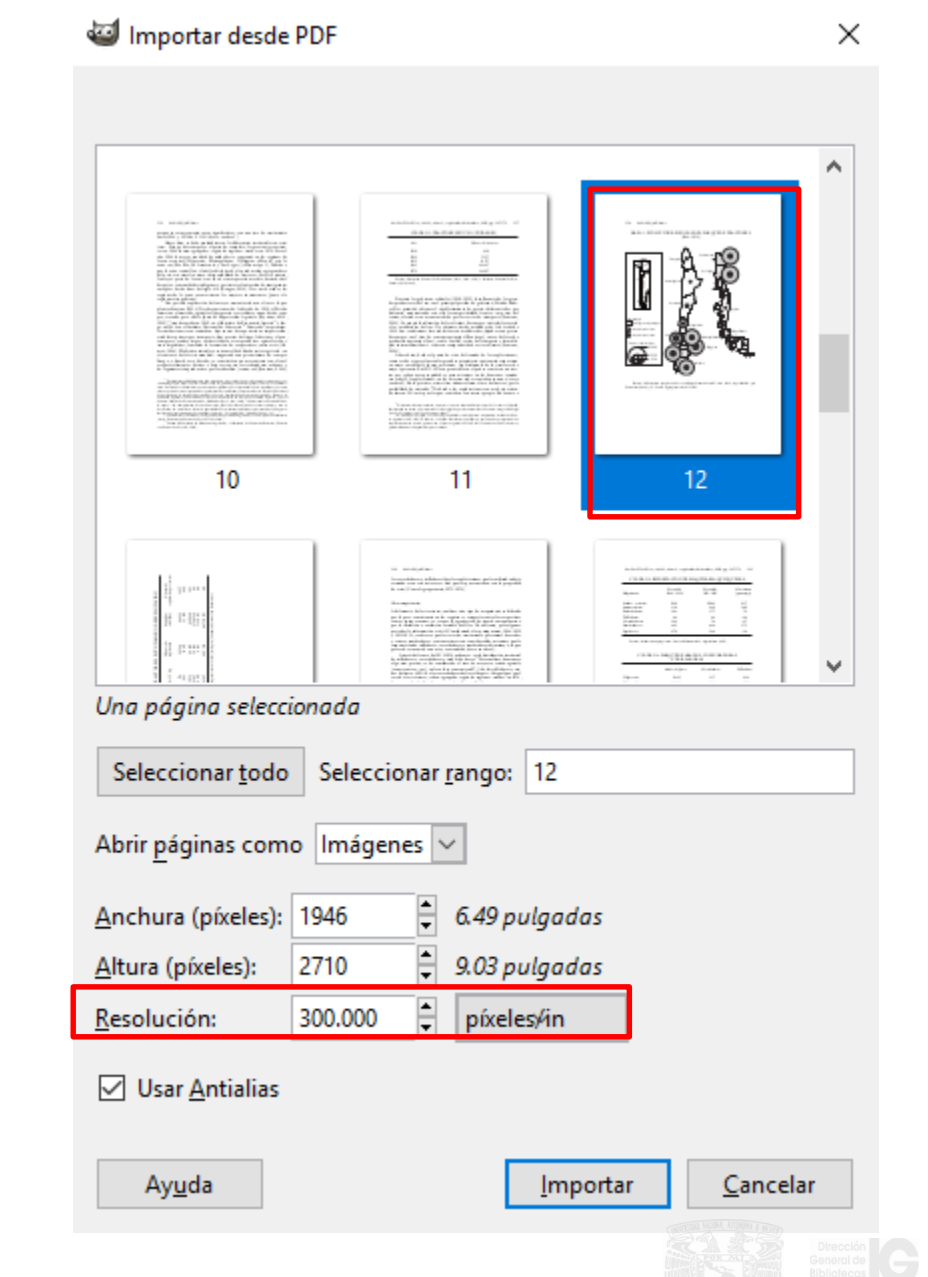








2. Seleccionar la/s página/s que contienen la imagen/es con una resolución de 300 dpi.Importar







3. Seleccionar la imagen de manera exacta y copiarla

Archivo Editar Seleccionar Vista Imagen Capa Colores Herramientas Eiltros Ventanas Ayuda 158 Andrés Rojas Bottner MAPA I. EVOLUCIÓN REGIONAL DEL PARQUE DE TRACTORES Antologista (Tractores ado 1976 Fuente: elaboración propia con base en Empadronamiento Conro 1944, reproducido por Lorensini (1946), y V Censo Agropecuario 1975-1976.

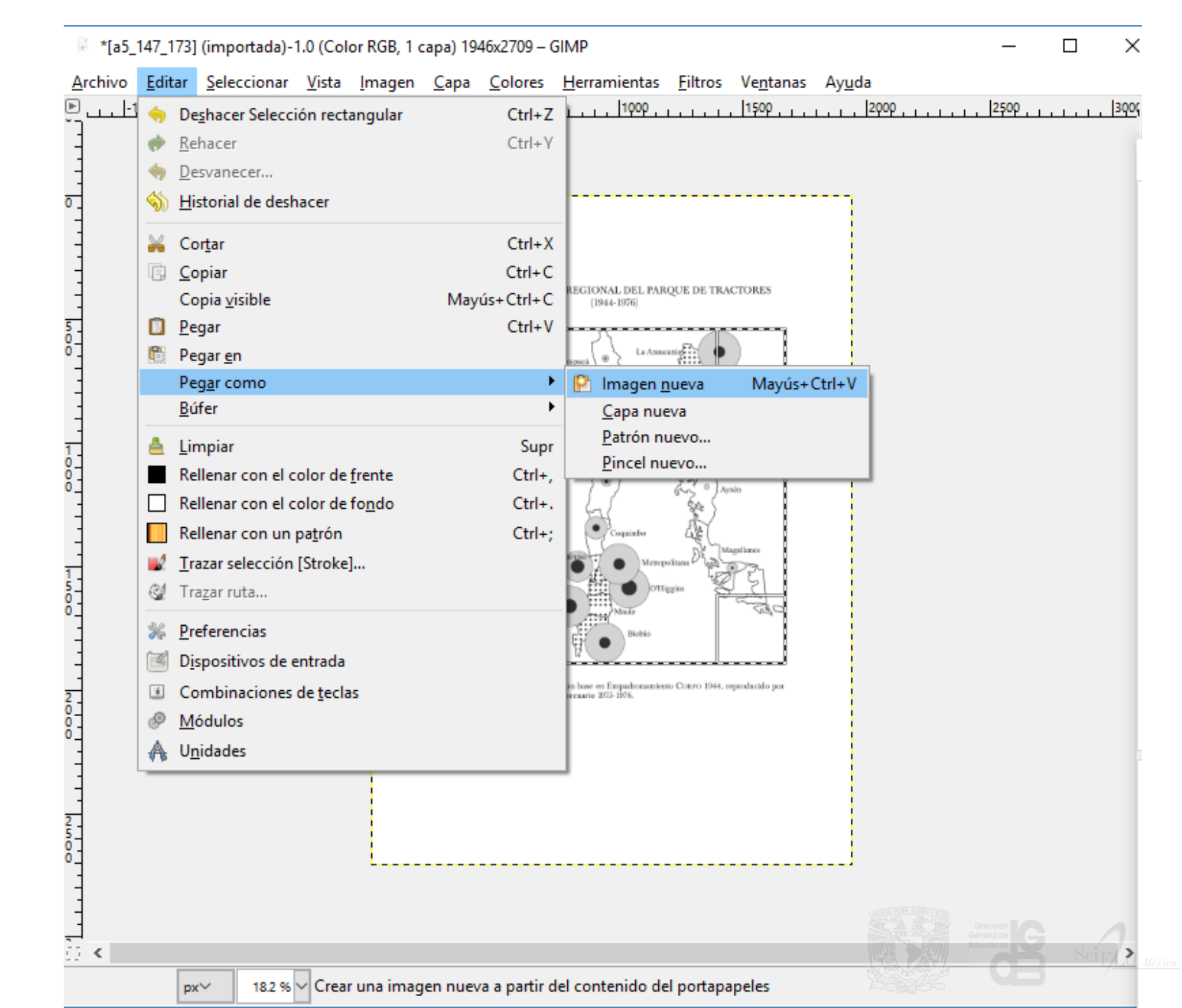
*[a5_147_173] (importada)-1.0 (Color RGB, 1 capa) 1946x2709 – GIMP

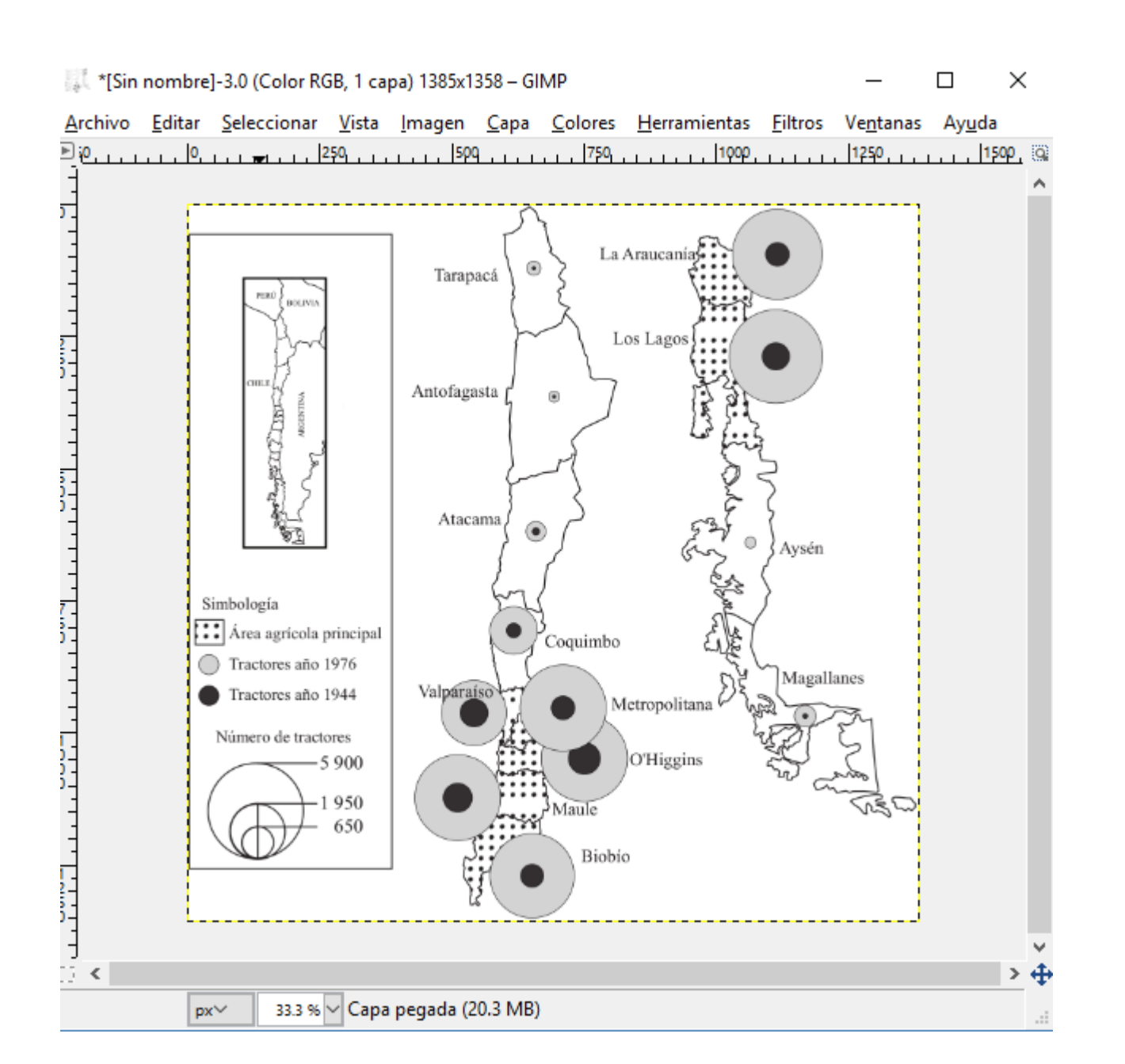




4. Pegar como imagen nueva







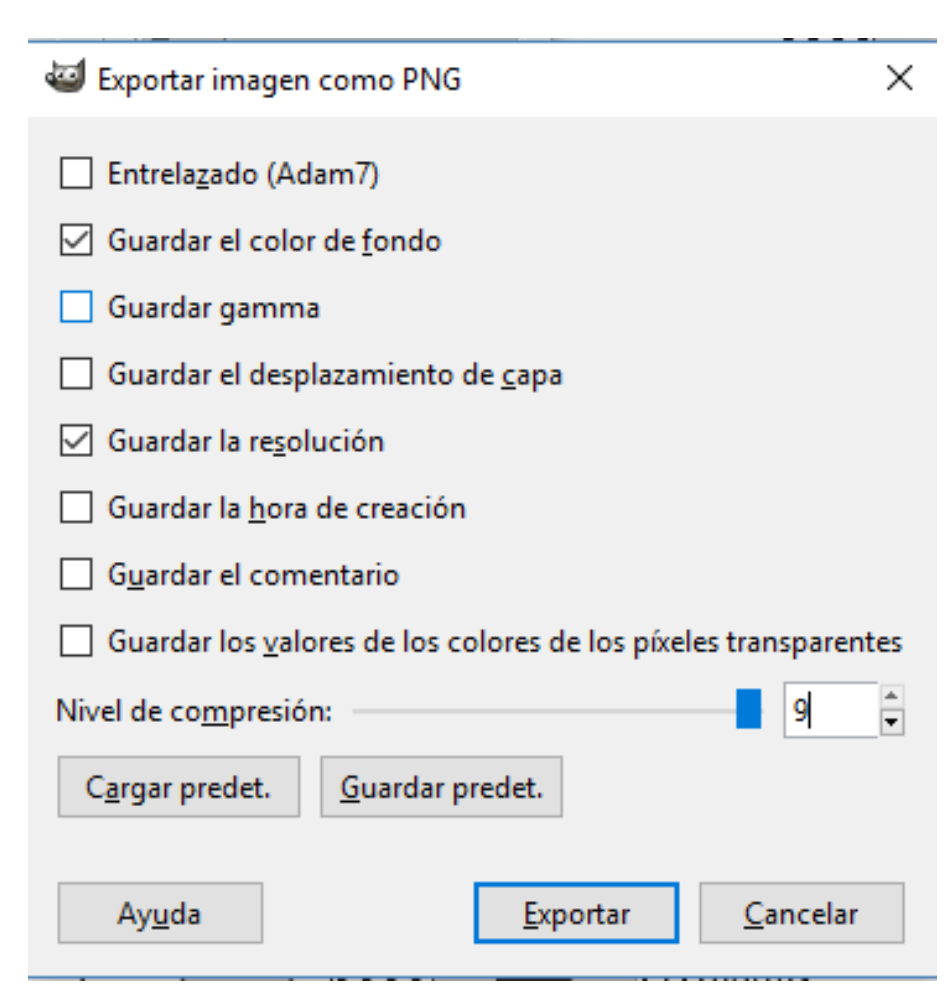






5. Exportarla como como archivo tipo .png

Verificando que estén seleccionadas las opciones de la figura de abajo









Tablas HTML







Elementos principales de las tablas

- Las tablas HTML están definidas por la etiqueta
- Las tablas se dividen el filas utilizando la etiqueta
 (table row)
- Las filas se dividen en columnas o celdas utilizando la etiqueta
 (table data)
- Las filas también pueden dividiese en columnas o celdas con estilo de título (table heading)





Elementos de agrupamiento

- <thead> utilizado para agrupar el contenido del encabezado de una tabla
- utilizado para agrupar el contenido principal una tabla
- <tfoot> utilizado para agrupar el contenido del pie de la tablas
- * Estos elementos se utilizan para especificar cada sección dentro de una tabla, los navegadores pueden utilizar estos elementos para manejar de manera independiente el cuerpo de una tabla cuando el contenido de es muy grande.





Tabla básica

```
Fila 1, Columna 1
      Fila 1, Columna 2
      Fila 1, Columna 3
   Fila 1, Columna 1
                                                      Fila 1, Columna 2
                                                                         Fila 1, Columna 3
      Fila 2, Columna 1
      Fila 2, Columna 2
                                    Fila 2, Columna 1
                                                      Fila 2, Columna 2
                                                                         Fila 2, Columna 3
      Fila 2, Columna 3
                                                      Fila 3, Columna 2
                                    Fila 3, Columna 1
                                                                         Fila 3, Columna 3
   Fila 3, Columna 1
      Fila 3, Columna 2
      Fila 3, Columna 3
```





Tabla básica con bordes

 Para mostrar el borde en cada etiqueta o es necesario utilizar el atributo border="1" en la etiqueta

```
<table_border="1">
  Fila 1, Columna 1
     Fila 1, Columna 2
     Fila 1, Columna 3
  Fila 2, Columna 1
     Fila 2, Columna 2
     Fila 2, Columna 3
  Fila 3, Columna 1
     Fila 3, Columna 2
     Fila 3, Columna 3
```

Fila 1, Columna 1	Fila 1, Columna 2	Fila 1, Columna 3
Fila 2, Columna 1	Fila 2, Columna 2	Fila 2, Columna 3
Fila 3, Columna 1	Fila 3, Columna 2	Fila 3, Columna 3



Etiqueta >

```
Fila 1, Columna 1
    Fila 1, Columna 2
    Fila 1, Columna 3
  Fila 2, Columna 1
    Fila 2, Columna 2
    Fila 2, Columna 3
  Fila 3, Columna 1
    Fila 3, Columna 2
    Fila 3, Columna 3
```

Fila 1, Columna 1	Fila 1, Columna 2 Fila 1, Columna 3	
Fila 2, Columna 1	Fila 2, Columna 2	Fila 2, Columna 3
Fila 3, Columna 1	Fila 3, Columna 2	Fila 3, Columna 3







Combinando columnas o celdas

- Para combinar columnas o celdas de forma horizontal o vertical se utilizan los atributos **colspan** y **rowspan** respectivamente.
- Los atributos se utilizan dentro de las etiquetas y .
- Estos atributos reciben el número de etiquetas o que serán combinados.





Ej. combinado horizontal

```
Fila 1, Columna 1 + Columna 2 + Columna 3
   Fila 2, Columna 1
                                          Fila 1, Columna 1 + Columna 2 + Columna 3
      Fila 2, Columna 2
                               Fila 2, Columna 1
                                               Fila 2, Columna 2
                                                               Fila 2, Columna 3
      Fila 2, Columna 3
   Fila 3, Columna 1
                                               Fila 3, Columna 2
                                                               Fila 3, Columna 3
   Fila 3, Columna 1
      Fila 3, Columna 2
      Fila 3, Columna 3
```







Ej. combinado vertical

```
Fila 1, Columna 1
      Fila 1, Columna 2
      Fila 1, Columna 3
   Fila 2, Columna 1
      Fila 2, Columna 2 + Fila 3, Columna 2
      Fila 2, Columna 3
                               Fila 1, Columna 1
                                                   Fila 1, Columna 2
                                                                       Fila 1, Columna 3
   Fila 2, Columna 1
                                                                      Fila 2, Columna 3
   Fila 2, Columna 2 + Fila 3, Columna 2
      Fila 3, Columna 1
                              Fila 3, Columna 1
                                                                      Fila 3, Columna 3
      Fila 3, Columna 3
```







Formato de las tablas

- Parada dar formato de visualización a las tablas es necesario utilizar el atributo style, que es soportado por los siguientes elementos del estándar NISO JATS 1.0:
- <caption>, <col>, <colgroup>, , , >, <tfoot>, >,
 >,
 >,
 >,
 >,
 >,
 >,
 >,
 >,
 >,
 >,
- Los estilos principales de la etiqueta son:
- width: Define el tamaño de la tabla de forma horizontal, tomando valores en pixeles o un porcentaje del elemento que contiene a la tabla.
- border-collapse: Separa o une los border de una tabla con los valores collapse o separate
- border-spacing: Define el espacio entre los bordes de una tabla, tomando valores en pixeles





border-collapse: collapse;

```
<table_border="1" style="width: 100%; border-collapse: collapse;">
  Fila 1, Columna 1
     Fila 1, Columna 2
     Fila 1, Columna 3
  Fila 2, Columna 1
     Fila 2, Columna 2
     Fila 2, Columna 3
  Fila 3, Columna 1
     Fila 3, Columna 2
     Fila 3, Columna 3
```

Fila 1, Columna 1	Fila 1, Columna 2 Fila 1, Colum	
Fila 2, Columna 1	Fila 2, Columna 2	Fila 2, Columna 3
Fila 3, Columna 1	Fila 3, Columna 2	Fila 3, Columna 3







border-spacing: distancia;

```
Fila 1, Columna 1
     Fila 1, Columna 2
     Fila 1, Columna 3
  Fila 1, Columna 1
                                                 Fila 1, Columna 2
                                                                  Fila 1, Columna 3
  Fila 2, Columna 1
                               Fila 2, Columna 1
                                               Fila 2, Columna 2
                                                                Fila 2, Columna 3
     Fila 2, Columna 2
     Fila 2, Columna 3
  Fila 3, Columna 1
                                               Fila 3, Columna 2
                                                                Fila 3, Columna 3
  Fila 3, Columna 1
```



Fila 3, Columna 2Fila 3, Columna 3





border-spacing: distancia-h distancia-v;

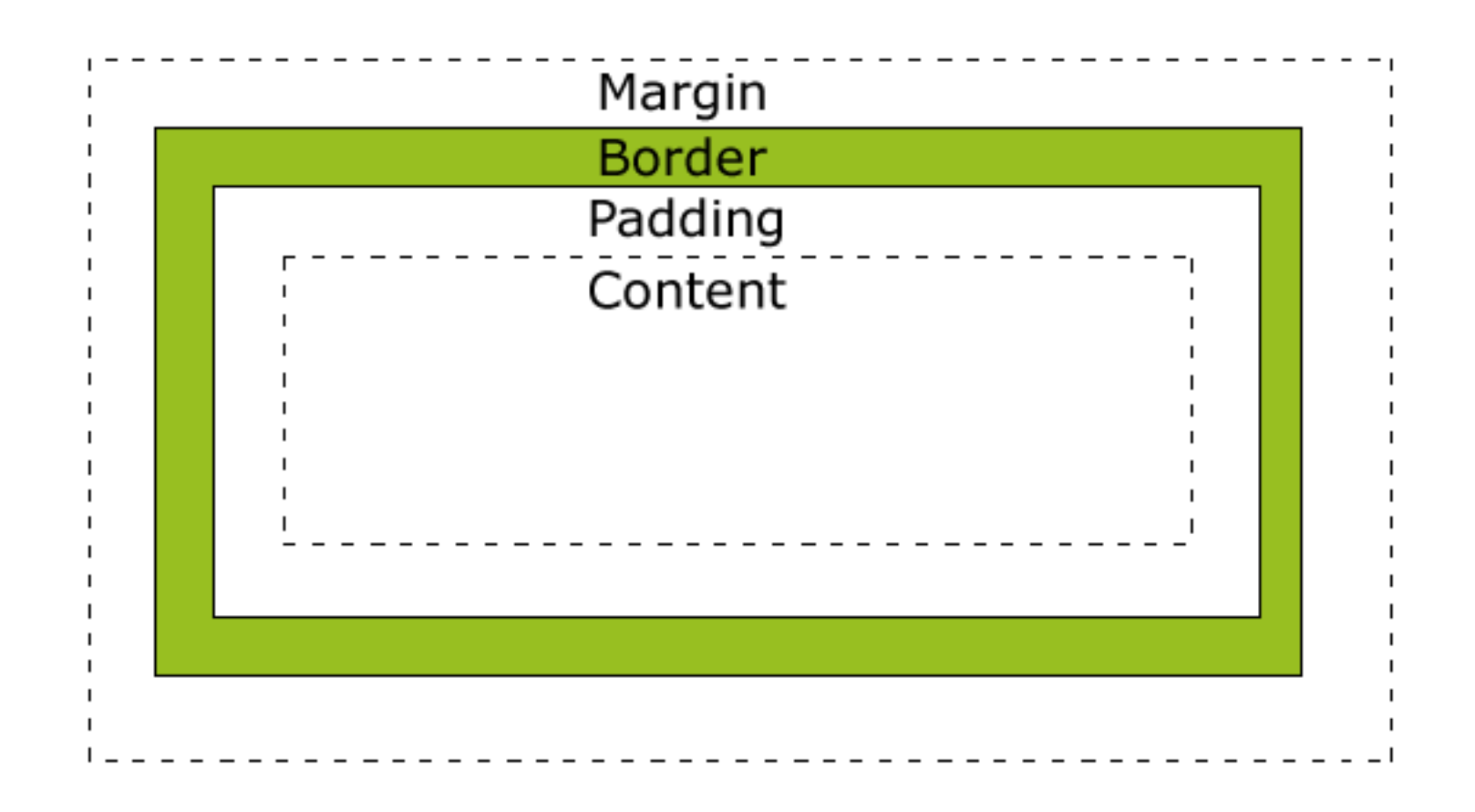
```
Fila 1, Columna 1
     Fila 1, Columna 2
     Fila 1, Columna 3
  Fila 1, Columna 1
                                                Fila 1, Columna 2
                                                                Fila 1, Columna 3
     Fila 2, Columna 1
                              Fila 2, Columna 1
                                                              Fila 2, Columna 3
                                              Fila 2, Columna 2
     Fila 2, Columna 2
     Fila 2, Columna 3
                              Fila 3, Columna 1
                                              Fila 3, Columna 2
                                                              Fila 3, Columna 3
  Fila 3, Columna 1
     Fila 3, Columna 2
     Fila 3, Columna 3
```







Formato general de los elementos









padding

- El estilo **padding** sirve para definir un área transparente alrededor del contenido y toma como valor unidades en pixeles, puede definirse un **padding** independiente con los estilos:
- padding-top: tamaño px;
- padding-right: tamaño px;
- padding-bottom: tamaño px;
- padding-left: tamaño px;





border

- El estilo border sirve para definir el contorno alrededor del padding y el contenido del elemento,
- y tiene las propiedades de tamaño, estilo y color, puede definirse un border independiente con los estilos:
- border-top: tamaño estilo color;
- border-right: tamaño estilo color;
- border-bottom: tamaño estilo color;
- border-left: tamaño estilo color;
- El tamaño del borde se asigna en pixeles y el color toma valores hexadecimales o utilizando el nombre del color de acuerdo a la siguiente lista: http://www.w3schools.com/cssref/css_colornames.asp







Estilos para los bordes

Sin borde: none

Borde oculto: hidden

Borde punteado: dotted
Borde con guines: dashed
Borde solido: solid
Borde doble: double
Borde undido: groove
Borde resaltado: ridge
Borde contenido undido: inset
Borde contenido reslatado: outset







margin

- El estilo **margin** sirve para definir un área transparente alrededor del borde del elemento y toma como valor unidades en pixeles, puede definirse un **margin** independiente con los estilos:
- margin-top: tamaño px;
- margin-right: tamaño px;
- margin-bottom: tamaño px;
- margin-left: tamaño px;





Utilizando **border** en las tablas

```
Fila 1, Columna 1
  Fila 1, Columna 2
  Fila 1, Columna 3
 Fila 2, Columna 1
  Fila 2, Columna 2
  Fila 2, Columna 3
 Fila 3, Columna 1
  Fila 3, Columna 2
  Fila 3, Columna 3
 Fila 4, Columna 1
  Fila 4, Columna 2
  Fila 4, Columna 3
```







Utilizando **border** en las tablas

Fila 1, Columna 1	Fila 1, Columna 2	Fila 1, Columna 3	
Fila 2, Columna 1	Fila 2, Columna 2	Fila 2, Columna 3	
Fila 3, Columna 1	Fila 3, Columna 2 Fila 3, Columna 3		
Fila 4, Columna 1	Fila 4, Columna 2	Fila 4, Columna 3	







Alinear contenido de las celdas

- Para alinear el contenido de las celdas es necesario utilizar los estilos:
- text-align: Para alinear el contenido de forma horizontal utilizando los valores left, right, center
- vertical-align: Para alinear el contenido de forma vertical utilizando los valores top, bottom, middle





Alinear contenido de las celdas

```
Fila 1, Columna 1
   Fila 1, Columna 2
   Fila 1, Columna 3
 Fila 2, Columna 1
   Fila 2, Columna 2<br/>
     Fila 2, Columna 2<br/>
     Fila 2, Columna 2
   Fila 2, Columna 3
 Fila 3, Columna 1
   Fila 3, Columna 2
   Fila 3, Columna 3
```





Alinear contenido de las celdas

Fila 1, Columna 1	Fila 1, Columna 2	Fila 1, Columna 2 Fila 1, Columna		
Fila 2, Columna 1	Fila 2, Columna 2			
	Fila 2, Columna 2			
	Fila 2, Columna 2	Fila 2, Columna 3		
Fila 3, Columna 1	Fila 3, Columna 2	Fila 3, Columna 3		







background

- El estilo <u>background</u> sirve para asignar las propiedades de fondo de un elemento, las propiedades de <u>background</u> pueden definirse de manera individual:
- <u>background-color</u>: Especifica el color de fondo que será usado y toma valores hexadecimales o utilizando el nombre del color de acuerdo a la siguiente lista: http://www.w3schools.com/cssref/css colornames.asp
- <u>background-image</u>: Especifica una o más imágenes de fondo.
- <u>background-position</u>: Especifica la posición del fondo.
- background-size: Especifica el tamaño de las imágenes de fondo.
- <u>background-repeat</u>: Especifica la forma en que se repetirán las imágenes de fondo.
- background-origin: Especifica en donde iniciaran los fondos de tipo imagen.
- <u>background-clip</u>: Especifica en donde iniciaron los fondos de color.





Color de fondo en las filas y celdas

```
<table, border="1" width="100%">
 Fila 1, Columna 1
   Fila 1, Columna 2
   Fila 1, Columna 3
 Fila 2, Columna 1
   Fila 2, Columna 2
   Fila 2, Columna 3
 Fila 3, Columna 1
   Fila 3, Columna 2
   Fila 3, Columna 3
```





Color de fondo en las filas y celdas

Fila 1, Columna 1	Fila 1, Columna 2	Fila 1, Columna 3
Fila 2, Columna 1	Fila 2, Columna 2	Fila 2, Columna 3
Fila 3, Columna 1	Fila 3, Columna 2	Fila 3, Columna 3





Tamaño de las celdas

• Para ajustar el tamaño de las celdas es necesario utilizar los estilos:

- width: Asigna el ancho del contenido del elemento tomando valores en pixeles o u porcentaje del elemento que contiene a la celda.
- <u>height</u>: Asigna el alto del contenido del elemento tomando valores en pixeles o u porcentaje del elemento que contiene a la celda.





Tamaño de las celdas

```
<table, border="1" width="100%">
 Fila 1, Columna 1
   Fila 1, Columna 2
   Fila 1, Columna 3
 Fila 2, Columna 1
   Fila 2, Columna 2
   Fila 2, Columna 3
 Fila 3, Columna 1
   Fila 3, Columna 2
   Fila 3, Columna 3
```







Tamaño de las celdas

Fila 1, Columna 1	Fila 1, Columna 2	Fila 1, Columna 3
Fila 2, Columna 1	Fila 2, Columna 2	Fila 2, Columna 3
Fila 3, Columna 1	Fila 3, Columna 2	Fila 3, Columna 3









- Se puede cambiar el formato del texto con los siguientes estilos:
- color: Asigna el color del texto.
- direction: Especifica la dirección de escritura del texto.
- letter-spacing: Define el espacio entre las letras del texto.
- line-height: Define el tamaño del interlineado del texto.
- text-align: Define la alineación del texto.
- <u>text-decoration</u>: Define la decoración del texto (líneas arriba, abajo y en medio).
- <u>text-indent</u>: Especifica la sangría de un texto.





- <u>text-shadow</u>: Asigna una sombra al texto.
- <u>text-transform</u>: Trasforma el texto en formato de minúsculas, mayúsculas, título.
- <u>text-overflow</u>: Agrega puntos suspensivos al texto si este es más grande que el contenedor.
- <u>unicode-bidi</u>: Usado en conjunto con <u>direction</u> cambia el orden de las letras del texto.
- white-space: Define la alineación del texto de forma vertical.
- <u>vertical-align</u>: Define el comportamiento de los espacios en blanco.
- word-spacing: Asigna el espacio entre las palabras del texto.





```
Fila 1, Columna 1
   Fila 1, Columna 2
   Fila 1, Columna 3
 Fila 2, Columna 1
   Fila 2, Columna 2
   Fila 2, Columna 3
 Fila 3, Columna 1: Lorem Ipsum is
     simply dummy text of the printing and typesetting industry. Lorem Ipsum has been
     the industry's standard dummy text ever since the 1500s, when an unknown printer
     took a galley of type and scrambled it to make a type specimen book.
   Fila 3, Columna 2
   Fila 3, Columna 3
```







	Fila 1, Columna 2	Fila 1, Columna 3
Fila 2, Columna 1	7 9HE	It Ollimnall
Fila 3, Columna 1: Lorem Ipsum is simply dummy text of the printing and typesetting industry. Lorem Ipsum has been the industry's standard dummy text ever since the 1500s, when an unknown printer took a galley of type and scrambled it to make a type specimen book.	Fila 3,	Fila 3, Columna 3







Formato de la fuente

• Para poder cambiar el formato de la fuente utilizamos los estilos:

- font-family: Para cambiar el tipo de fuente (Arial, Verdana, etc.).
- font-size: Para ajustar el tamaño de la fuente en pixeles.
- font-style: Para cambiar el estilo de la fuente a itálica.
- font-variant: Para cambiar la fuente a versalitas.
- font-weight: Para cambiar la intensidad de la fuente(negritas).





Formato de la fuente

```
<table, border="1" width="100%">
 Fila 1, Columna 1
   Fila 1, Columna 2
   Fila 1, Columna 3
 Fila 2, Columna 1
   Fila 2, Columna 2
   Fila 2, Columna 3
 Fila 3, Columna 1
   Fila 3, Columna 2
   Fila 3, Columna 3
```







Formato de la fuente

Fila 1, Columna 1	Fila 1, Columna 2	Fila 1, Columna 3	
Fila 2, Columna 1	FILA 2, COLUMNA 2	Fila 2, Columna 3	
Fila 3, Columna 1	Fila 3, Columna 2	Fila 3, Columna 3	





 Para poder cambiar la dirección de las celdas podemos utilizar el estilo <u>transform</u> y la propiedad rotate(#deg).

transform: rotate(270deg);

• Una vez que se cambia la dirección de la celda hay que ajustar el alto con el estilo height





```
Fila 1, Columna 1
 Fila 1, Columna 2
 Fila 1, Columna 3
 Fila 2, Columna 1
 Fila 2, Columna 2
 Fila 2, Columna 3
Fila 3, Columna 1
 Fila 3, Columna 2
 Fila 3, Columna 3
```







5	_	5
Col	Colı	Col
Fila 2, Columna 1	Fila 2, Calumna 2	Fila 2, Columna 3
Fila 3, C∰umna 1	Fila 3, Columna 2	Fila 3, C∰umna 3







```
Fila 1, Columna 1
 Fila 1, Columna 2
 Fila 1, Columna 3
 Fila 2, Columna 1
 Fila 2, Columna 2
 Fila 2, Columna 3
Fila 3, Columna 1
 Fila 3, Columna 2
 Fila 3, Columna 3
```







Fila 1, Columna 1	Fila 1, Columna 2	Fila 1, Columna 3
Fila 2, Columna 1	Fila 2, Columna 2	Fila 2, Columna 3
Fila 3, Columna 1	Fila 3, Columna 2	Fila 3, Columna 3







 Para poder agregar una diagonal en una celda usaremos el estilo background con la propiedad linear-gradient

• background: linear-gradient(to left bottom, transparent calc(50% - 1px), black, transparent calc(50% + 1px));





```
<td style="background: linear-gradient(to left bottom,
     transparent calc(50% - 1px), black, transparent calc(50% + 1px));
    border: 1px solid black;">
     Fila 1, Columna 1
   Fila 1, Columna 2
   Fila 1, Columna 3
   Fila 2, Columna 1
   Fila 2, Columna 2
   Fila 2, Columna 3
 Fila 3, Columna 1
   Fila 3, Columna 2
   Fila 3, Columna 3
```







Fila 1, Columna 1	Fila 1, Columna 2	Fila 1, Columna 3
Fila 2, Columna 1	Fila 2, Columna 2	Fila 2, Columna 3
Fila 3, Columna 1	Fila 3, Columna 2	Fila 3, Columna 3







```
<td style="background: linear-gradient(to left bottom,
     transparent calc(50% - 1px), black, transparent calc(50% + 1px));
     border: 1px solid black; ">
   Columna 2
   Fila 1, Columna 2
   Fila 1, Columna 3
 Fila 1
   <td style="background: linear-gradient(to left bottom,
     transparent calc(50% - 1px), black, transparent calc(50% + 1px));
     border: 1px solid black; ">
 Fila 2, Columna 1
   Fila 2, Columna 2
   Fila 2, Columna 3
 Fila 3, Columna 1
   Fila 3, Columna 2
   Fila 3, Columna 3
```







	Columna 2	File 1 Columns 2	Fila 1, Columna 3	
Fila 1		Tha 1, Columna 2		
Fila 2, Columna	1	Fila 2, Columna 2	Fila 2, Columna 3	
Fila 3, Columna	1	Fila 3, Columna 2	Fila 3, Columna 3	







```
<td style="background: linear-gradient(to left bottom,
      transparent calc(50% - 1px), black, transparent calc(50% + 1px));
      border-left: 1px solid black; border-top: 1px solid black; ">
    <td style="border-right: 1px solid black; border-top: 1px solid black;
      width: 100px;">Columna 2
    Fila 1, Columna 2
    Fila 1, Columna 3
  width:100px;">
      Fila 1
    <td style="background: linear-gradient(to left bottom,
      transparent calc(50% - 1px), black, transparent calc(50% + 1px));
      border-right: 1px solid black; boder-bottom: 1px solid black; ">
  Fila 2, Columna 1
    Fila 2, Columna 2
    Fila 2, Columna 3
  Fila 3, Columna 1
    Fila 3, Columna 2
    Fila 3, Columna 3
```







Columna 2 Fila 1	Fila 1, Columna 2	Fila 1, Columna 3
Fila 2, Columna 1	Fila 2, Columna 2	Fila 2, Columna 3
Fila 3, Columna 1	Fila 3, Columna 2	Fila 3, Columna 3







Estructuración de la tabla en Word para marcación automática.

Recomendaciones para estructurar tablas en Word y realizar una marcación automática:

- Identificar el número total de columnas, incluyendo las celdas combinadas.
- Crear una tabla con la herramienta de Word con el número completo de celdas de tabla.
- Ingresar información a la tabla manteniendo la posición de las celdas sin combinar.
- Combinar las celdas.





Estructuración de la tabla en Word para marcación automática.

Limitaciones:

- Errores al identificar celdas combinadas.
- No se identifican bordes.
- No se identifican sombreados.
- No se exporta ningún estilo adicional a las cursivas, negritas, súper índices y sub índices.





```
<table-wrap id="t1">
  <label>Tabla 1:</label>
  <caption>
    <title>Tabla simple.</title>
  </caption>
  <colgroup>
      <col/>
      <col/>
      <col/>
    </colgroup>
    Fila 1, Columa1
        Fila 1, Columa2
        Fila 1, Columa3
      Fila 2, Columa1
        Fila 2, Columa2
        Fila 2, Columa3
      Fila 3, Columa1
        Fila 3, Columa2
        Fila 3, Columa3
      </table-wrap>
```







```
<table-wrap id="t1">
 <label>Tabla 1:</label>
 <caption>
  <title>Tabla simple.</title>
 </caption>
 <colgroup>
   <col/>
   <col/>
   <col/>
  </colgroup>
  Fila 1, Columa1
     Fila 1, Columa2
     Fila 1, Columa3
   Fila 2, Columa1
     Fila 2, Columa2
     Fila 2, Columa3
   Fila 3, Columa1
     Fila 3, Columa2
     Fila 3, Columa3
   </table-wrap>
```







```
<table-wrap, id="t2">
  <label>Tabla 2:</label>
  <caption>
    <title>Tabla con celdas combinadas.</title>
  </caption>
  <colgroup>
      <col/>
      <col span="2"/>
    </colgroup>
    Fila 1, Columa1
         Fila 1, Columa2 Fila 1, Columa3
       Fila 2, Columa1 Fila 3, Columa1
         Fila 2, Columa2
         Fila 2, Columa3
      Fila 3, Columa2
         Fila 3, Columa3
      </table-wrap>
```







```
<table-wrap id="t2">
 <label>Tabla 2:</label>
 <caption>
   <title>Tabla con celdas combinadas.</title>
 </caption>
 <colgroup>
    <col/>
    <col span="2"/>
   </colgroup>
   Fila 1, Columa1
     Fila 1, Columa2 Fila 1, Columa3
     Fila 2, Columa1 Fila 3, Columa1
      Fila 2, Columa2
      Fila 2, Columa3
    Fila 3, Columa2
     Fila 3, Columa3
    </table-wrap>
```







Conversión de PDF a Word

Existen múltiples formas de convertir archivos PDF a Word, con herramientas como Abbyy PDF Transformer, Adobe Acrobat Pro o Word.

El problema es que el proceso de conversión no es 100% exacto y tenemos los mismos problemas que al crear las tablas directamente en Word, además de que las tablas creadas por estas conversiones no siempre están bien estructuradas por lo que tendremos aún más problemas en la marcación automática.





En la versión de PC-Programs 4.0.093 es posible incluir archivos HTML con las tablas codificadas, que serán procesadas por el programa Markup y agregadas al archivo XML final.

Para poder trabajar los archivos de esta forma es necesario que cada tabla sea codificada en un archivo HTML separado, al igual que se hace con las imágenes.





• Los archivos HTML de cada tabla deben estar en el directorio **src** junto con los PDF e imágenes del archivo que estamos marcando, y el nombre del archivo deber ser: nombre_archivo + _ + id

• Ej:

🔁 a1_7_11.pdf	04/06/2015 13:57	Documento Adob	63 KB
a1_7_11_t1.html	17/05/2017 10:31	Firefox HTML Doc	2 KB
a1_7_11_t2.html	17/05/2017 10:25	Firefox HTML Doc	2 KB







• En el programa de marcación entramos a los elementos de tabwrap



• Reemplazamos la imagen de la tabla por el texto html

```
[tabwrap id="t1"][label]Tabla 1:[/label] [caption]Tabla simple.[/caption]
                                                                                         [tabwrap id="t1"][label]Tabla 1:[/label] [caption]Tabla simple.[/caption]
                   [graphic href="?a1 7 11 paso3|
Fila 1 Columna 1 Fila 1, Columna 2 Fila 1, Columna 3
                                                                                                                            html
Fila 2, Columna 1 Fila 2, Columna 2 Fila 2, Columna 3
Fila 3, Columna 1 Fila 3, Columna 2 Fila 3, Columna 3
                                                                                                                        [/tabwrap]
                                                      /graphic][/tabwrap]
```







- Marcar el texto html con el elemento xhmtl, que esta dentro de tabwrap
 label caption ▼ xhtml graphic ▼ table ▼ fntable ▼ ▲
- En la ventana que aparece, agregamos el valor de **href** que será el nombre del archivo **HTML** correspondiente a la tabla.



• Al generar el archivo XML con el programa Markup tendremos el código HTML de nuestra tabla.

```
<table-wrap id="t1">
                              <label>Tabla 1:</label>
                              <caption>
                               <title>Tabla simple.</title>
                              </caption>
                              Fila 1, Columa1
                                  Fila 1, Columa2
[tabwrap id="t1"][label]Tabla 1:[/label] [caption]Tabla simple.[/caption]
                                  Fila 1, Columa3
                                 [xhtml href="a1_7_11_t1.html"]html[/xhtml]
                                  Fila 2, Columa1
                                  Fila 2, Columa2
           [/tabwrap]
                                  Fila 2, Columa3
                                 Fila 3, Columa2
                                  Fila 3, Columa2
                                  Fila 3, Columa3
```

</table-wrap>







Un poco

feldes den "Komplex der Enrgiedichte des Gravitationsfeldes" ein, mimlick die Grössen

so folgt aus den Gleichungen 14)bezw.13)des"Entwurfes"

wo o o oder 1 ist, jenachdem 8 + v oder 6 - v ist.

Anstelle der Gravitationsgleichungen 21)bezw. 18) des "Entwurfes" treten dann die Gleichungen

Aus 1) und II) kann man , auf analagem Wege wie in \$5 des "Entwur-

Aus 1) und II) kann man ,auf analegem Wege wie in §5 des "Entwurfes", die allgemeinen Erhaltungssätze ableiten, die nun die Form annehmen

§2. Bemerkungen über die Wahl des Koordinatensystems.

Wir wollen nun zunächst ganz abgesehen von den von uns aufgestellt ten Gravittationsgleichungen zeigen, dass eine vollständige Bestimmung des Fundamentaltensors genes Gravitationsfeldes bei gegebenen durch ein allgemein-kovariantes Gleichungssystem unmöglich ist.

Wir können nämlich beweisen, dass wenn bei gegebenen geine Lösung für die gegebenen geschlogsen kovarianz der Gleichungen auf die Existenz weiterer Lösungen geschlogsen werden kann.

Es gebe in unserer vierdimensionalen Mannigfaltigkeit einen Teil L,in welchem ein "materieller Vorgang" nicht vorhanden sein soll,in wel chem also die Everschwinden. Durch die ausserhalb L gegebenen Enseien

LaTeX, que es pronunciado como «Lah-tech» o «Lay-tech»

- No es un editor de texto
- LaTeX es software libre.
- LaTeX tiempo como propósito principal enfocarse en el contenido del documento y no la presentación del mismo.
- LaTeX es un sistema conformado por instrucciones construidas a partir del lenguaje de composición tipográfica TeX con las intención de facilitar su uso.





- Ayuda en la producción tipográfica de artículos de revista, informes técnicos y libros.
- Ayuda en el control de documentos grandes con secciones, referencias cruzadas, tablas y figuras.
- Ayuda en la composición tipográfica de fórmulas matemáticas complejas.
- Generación automática de bibliografía e índices.





- Su código abierto permitió que la comunidad creara nuevas extensiones que ampliaran sus capacidades con objetivos muy variados.
- Por el punto anterior surge el proyecto LaTeX 3 que busca estandarizar las distintas versiones.
- TeX y LaTeX resuelven el problema de la creación de una representación gráfica de contenido matemático.





```
\documentclass[12pt]{article}
\usepackage[spanish]{babel}
\usepackage{amsmath}
\title{\LaTeX}
\date{}
% Este es un comentario, no será mostrado en el documento final.
\begin{document}
 \maketitle \LaTeX{} es un programa para preparar documentos con
 el sistema de tipograf\'ias\footnote{%nota al pie de página
               Seg\'un Wikipedia, la tipograf\'ia es el arte y t\'ecnica del manejo y selecci\'on de tipos,
originalmente de plomo, para crear trabajos de impresi\'on } %fin nota al pie de página
 \TeX{}. \LaTeX{} fue desarrollado originalmente por Leslie Lamport
 en 1984 y se convirti\'o en el m\'etodo dominante para la
 manipulaci\'on de \Tex. La versi\'on utilizada para generar
 este documento es \LaTeXe.
 \newline
  % El siguiente código muestra la calidad de la tipografía de LaTeX
 \begin{align}
   E \&= mc^2
                                           11
   m &= \frac{m 0}{\sqrt{1-\frac{v^2}{c^2}}}
 \end{align}
\end{document}
```







ΓΑΤΕΧ

LATEX es un programa para preparar documentos con el sistema de tipografías¹ TEX. LeTEX fue desarrollado originalmente por Leslie Lamport en 1984 y se convirtió en el método dominante para la manipulación de TeX. La versión utilizada para generar este documento es $\LaTeX 2_{\varepsilon}$.

$$E = mc^2$$
(1)

$$E = mc^2$$
 (1)
 $m = \frac{m_0}{\sqrt{1 - \frac{v^2}{c^2}}}$







Podemos utilizar LaTeX instalando alguno de los siguientes paquetes:

- MiKTeX
- proTeXt
- TeX Live

Que contienen un sistema completo TeX con LaTeX y editores para escribir documentos.





El estándar MathML 2.0







MathML

- Mathematical Markup Language (MathML)
- MathML tiene como objetivo facilitar el uso y la reutilización de contenido matemático y científico en la Web.
- MathML se puede utilizar para codificar tanto la representación matemática de forma visual, así como el sentido semántico del contenido.
- MathML consiste en una serie de etiquetas XML que se pueden utilizar para marcar una ecuación en términos de su presentación y su semántica.
- MathML intenta capturar algo del significado de las ecuaciones en lugar de concentrarse totalmente en cómo van a ser formateadas en la pantalla.





MathML

- MathML no está destinado a la edición a manual, sino para el manejo de herramientas especializadas, tales como editores de ecuaciones.
- MathML surge como una recomendación de la W3C en 1998.
- MathML es un estándar ISO/IEC 40314:2016.







MathML

```
<html>
   <head>
       <title>MathML en HTML</title>
   </head>
   <body>
       <h1>MathML en HTML</h1>
       >
          Raíz cuadrada de dos:
          <math>
              <msqrt>
                 <mn>2</mn>
              </msqrt>
          </body>
</html>
```







MathML

MathML en HTML

Raíz cuadrada de dos: $\sqrt{2}$







MathML

Para poder editar fórmulas matemáticas utilizando MathML tenemos las siguientes opciones:

- EdiTeX
- Formulator
- Integre MathML Editor
- MathCast
- MathML .NET Control
- MathType
- Editor de ecuaciones de Word







MathML con el editor de ecuaciones de Word

- A partir de versión 2007 de MS Office Word tenemos disponible un editor de ecuaciones que nos permite copiar el contenido cómo código MathML.
- El editor de ecuaciones se encuentra disponible en la pestaña Insertar



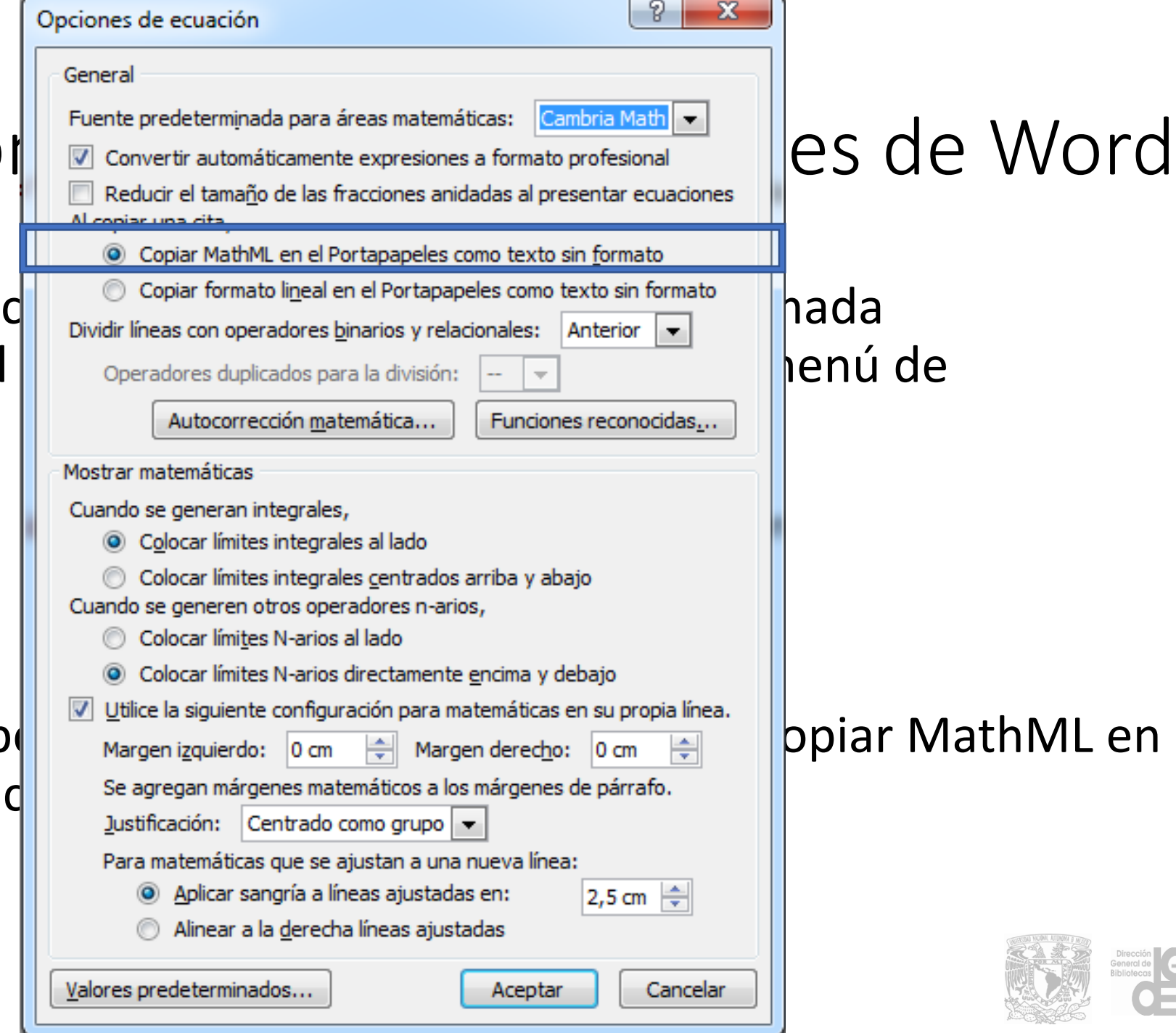
 Cuando insertamos una ecuaciones aparecerán la herramientas para edición de ecuaciones de Word.



MathML cor

 En la primer secc herramientas, al configuración.

 Dentro de las ope el Portapapeles c



Conversión de ecuaciones LaTeX a MathML







Identificar código de ecuaciones en documentos LaTeX

Para poder realizar la conversión de ecuaciones LaTeX a MathML es necesario identificar las instrucciones que las definen en los documentos.

En los documentos LaTeX encontraremos las ecuaciones delimitadas entre los signos:

\$...\$: Para ecuaciones en línea con el texto.

\(...\): Para ecuaciones en línea con el texto.

\$\$...\$\$: Para ecuaciones en bloque.

\[...\] : Para ecuaciones en bloque.

Y también con las instrucciones \begin

....

\end







Identificar código de ecuaciones en documentos LaTeX

```
The spaces $\mathbb{R}^n$ are the direct sum of subspaces $E^s$ and $E^u$, then $\mathbb{R}^n = E^s \oplus E^u$.

Therefore, as a consequence of (b) and (d), the basin of attraction $ \mathfrak{B}$ is $E^s \subset \mathbb{R}$, thus completing the proof.

\begin{flushright}
    $\square$
\end{flushright}
```





Ahora copiamos y pegamos el código seleccionado en la siguiente caja de texto y presionamos la

tecla 🕹 Enter

gthinspace \negthinspace \negthinspace \nabla}}\psi = \Gamma^\mu \nabla_\mu \psi = 0

• Un Vista previa:

rea

$$\nabla \psi = \Gamma^{\mu} \nabla_{\mu} \psi = 0$$

• htt
Seleccionamos y copiamos todo el contenido de la siguiente caja de texto, el cual es una versión en <u>ecl</u> MathML de nuestra ecuación T_EX.

• La

res

```
Copiar código MathML
                   </msup>
        18
doc
        19 -
                   <msub>
                     <mi mathvariant="normal">&#x2207;<!-- ∇ --></mi>
        20
                     <mi>&#x03BC;<!-- \mu --></mi>
                  </msub>
                   <mi>&#x03C8;<!-- \psi --></mi>
        24
                   <mo>=</mo>
                   <mn>0</mn>
        26
                 </mrow>
               </mstyle>
        28
```

omo

ación

de-

stros





Agregar código MathML a documentos XML JATS

- Copiamos el código MathML obtenido mediante la conversión de LaTeX o con el editor de ecuaciones de Word.
- Ubicamos nuestras ecuaciones que esta inidentificadas con las etiquetas <disp-formula> o <inline-formula>





Agregar código Math

Dentro de nuestra ecuación r
 <inline-graphic> por el código

```
<disp-formula>
    <math xmlns="http://www.w3.org/1998/Math/MathML" display="block">
        <mstyle displaystyle="true" scriptlevel="0">
            <mrow class="MJX-TeXAtom-ORD">
                <mrow class="MJX-TeXAtom-ORD">
                    <mrow class="MJX-TeXAtom-ORD">
                        <mspace width="negativethinmathspace" />
                        <mspace width="negativethinmathspace" />
                        <mspace width="negativethinmathspace" />
                        <mspace width="negativethinmathspace" />
                        <mi mathvariant="normal">&#x2207;<!-- ∇ --></mi>
                    </mrow>
                </mrow>
                <mi>&#x03C8;<!-- Ψ --></mi>
                <mo>=</mo>
                <msup>
                    <mi mathvariant="normal">&#x0393;<!-- Γ --></mi>
                    <mi>&#x03BC;<!-- \mu --></mi>
                </msup>
                <msub>
                    <mi mathvariant="normal">&#x2207;<!-- ∇ --></mi>
                    <mi>&#x03BC;<!-- u --></mi>
                </msub>
                <mi>&#x03C8;<!-- \psi --></mi>
                <mo>=</mo>
                <mn>0</mn>
            </mrow>
        </mstyle>
    <label>2</label>
</disp-formula>
```



Conversión de LaTeX a Word con Pandoc







Pandoc

Pandoc que es una herramienta de conversión multi-formato y multi-plataforma.

Pandoc puede convertir documentos en markdown, reStructuredText, textil, HTML, DocBook, LaTeX, MediaWiki markup, Twiki markup, OPML, Emacs Org-Mode, Txt2Tags, Microsoft Word docx, LibreOffice ODT, EPUB o Haddock markup a:

- Formatos HTML: XHTML, HTML5
- Formatos de procesadores de texto: Word, OpenOffice/LibreOffice
- Ebooks: EPUB
- Formatos para documentación: DocBook, TEI Simple, GNU TexInfo, Groff man, Haddock markup.
- Formatos TeX: LaTeX, ConTeXt, LaTeX Beamer slides
- PDF utilizando LaTeX
- Formatos de marcación: Markdown, reStructuredText, AsciiDoc, MediaWiki markup, DokuWiki markup, Emacs Org-Mode, Textile







Instalación de Pandoc

- Descargaremos el instalador para nuestro sistema operativo en la siguiente dirección http://pandoc.org/installing.html, para este manual utilizaremos la versión pandoc 1.19.2.1 para Windows, disponible en:
- https://github.com/jgm/pandoc/releases/download/1.19.2.1/pandoc
 -1.19.2.1-windows.msi
- Una vez descargado el instalador, procedemos con la instalación abriendo el archivo pandoc-1.19.2.1-windows.msi y siguiendo las instrucciones de instalación.





Instalación de Pandoc

- 1. Aceptar los términos y condiciones.
- 2. Seleccionamos la opción Install for all users of this machine.

3. Damos clic en Install.



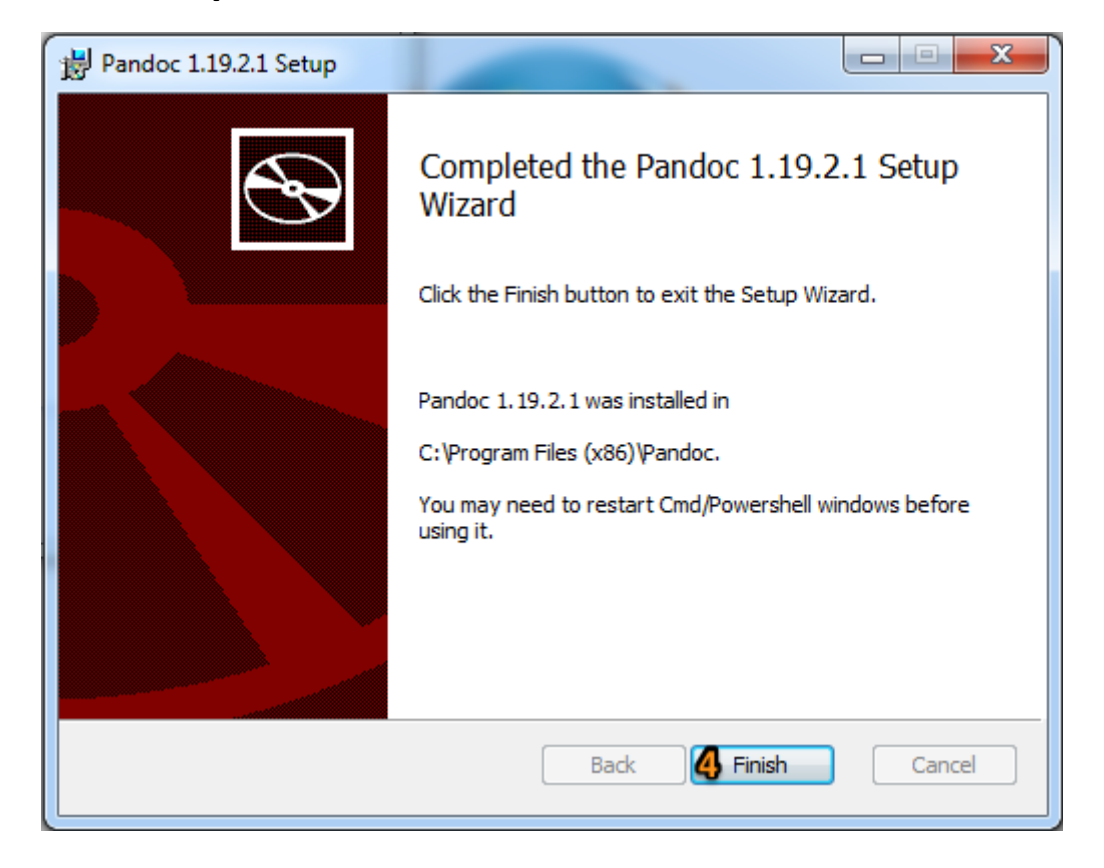






Instalación de Pandoc

4. Damos clic en Finish para concluir la instalación.



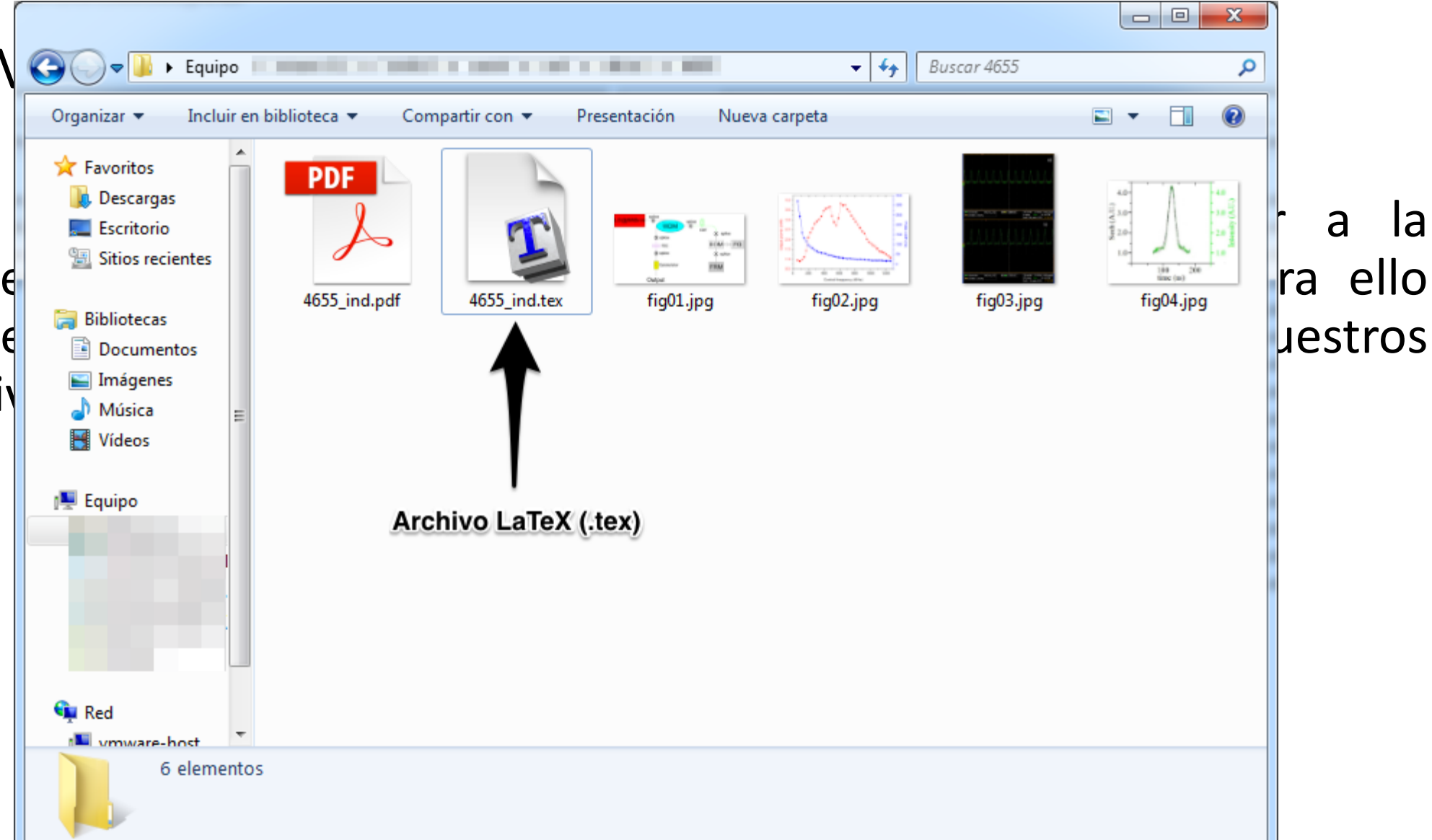








• Con conve prime archi





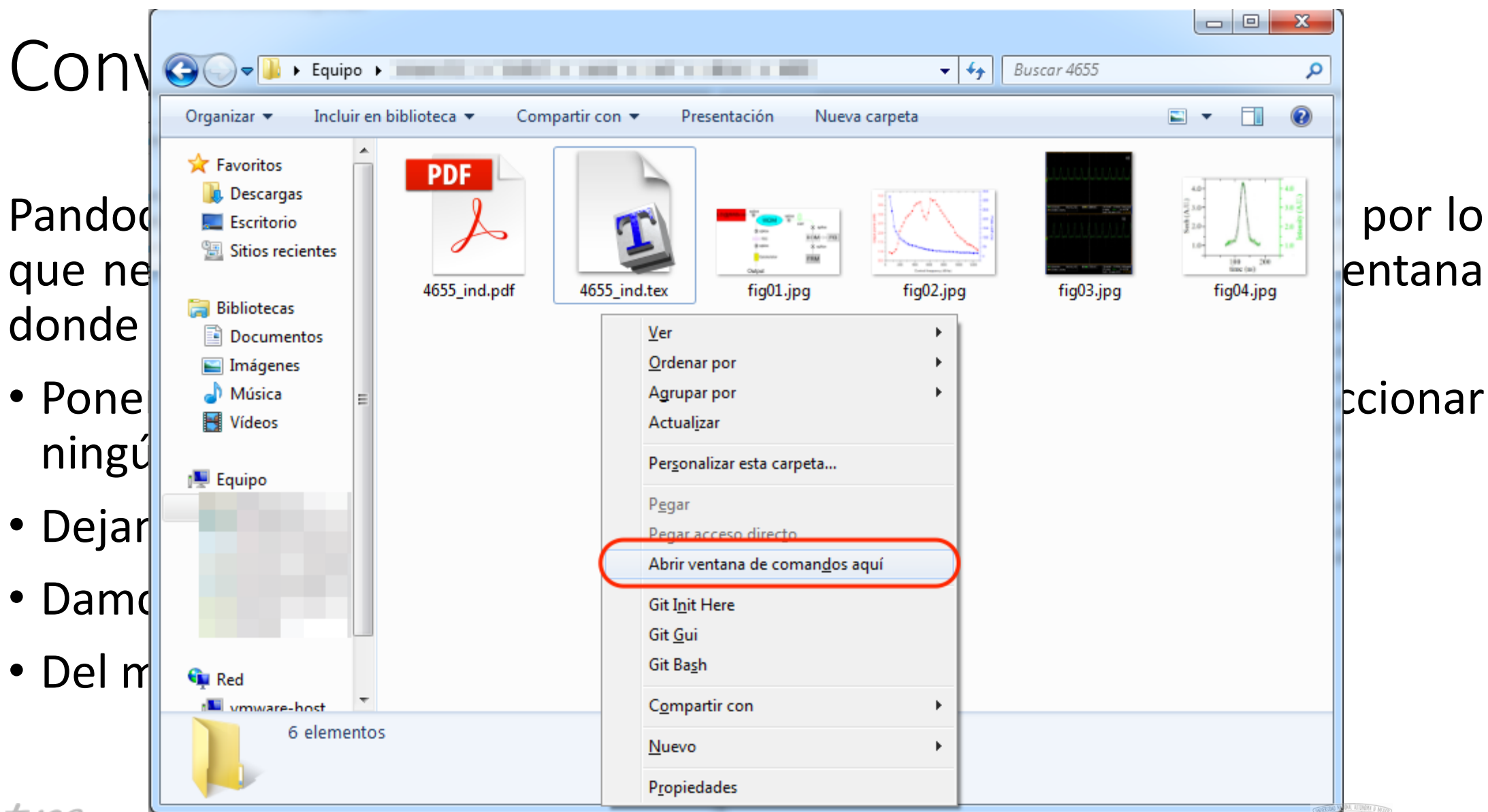


la

a

ra ello





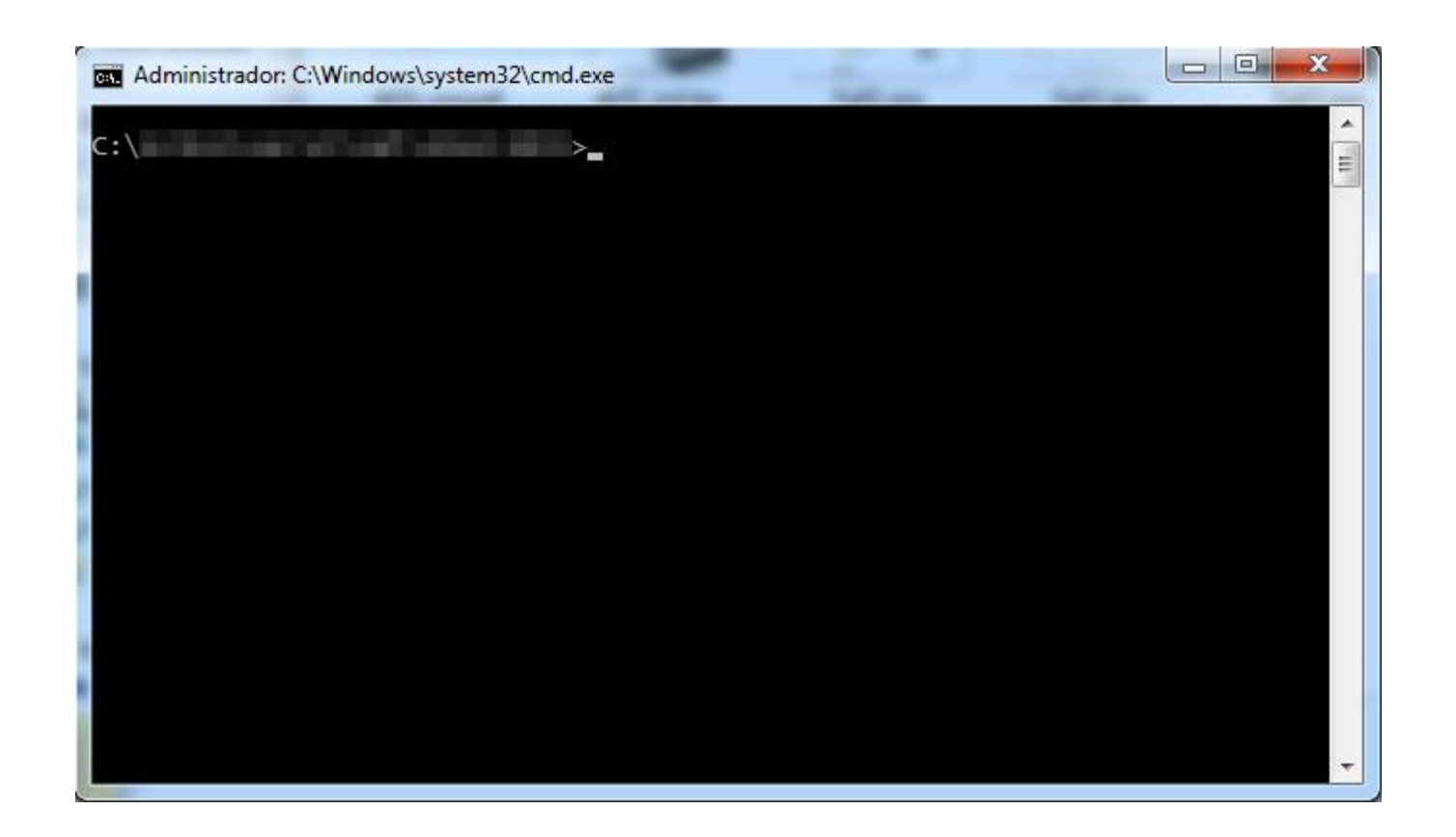






Conversión de LaTeX a Word con pandoc

Tendremos una ventana como la siguiente.







Conversión de LaTeX a Word con pandoc

Donde teclearemos el siguiente comando **pandoc -s archivo_fuente.tex** -o archivo_salida.docx reemplazando los nombres por los de nuestros archivos, enseguida ejecutamos el comando con la tecla ∠ Enter.

```
Administrador: C:\Windows\system32\cmd.exe
                         >pandoc -s 4655_ind.tex -o 4655_ind.docx
```

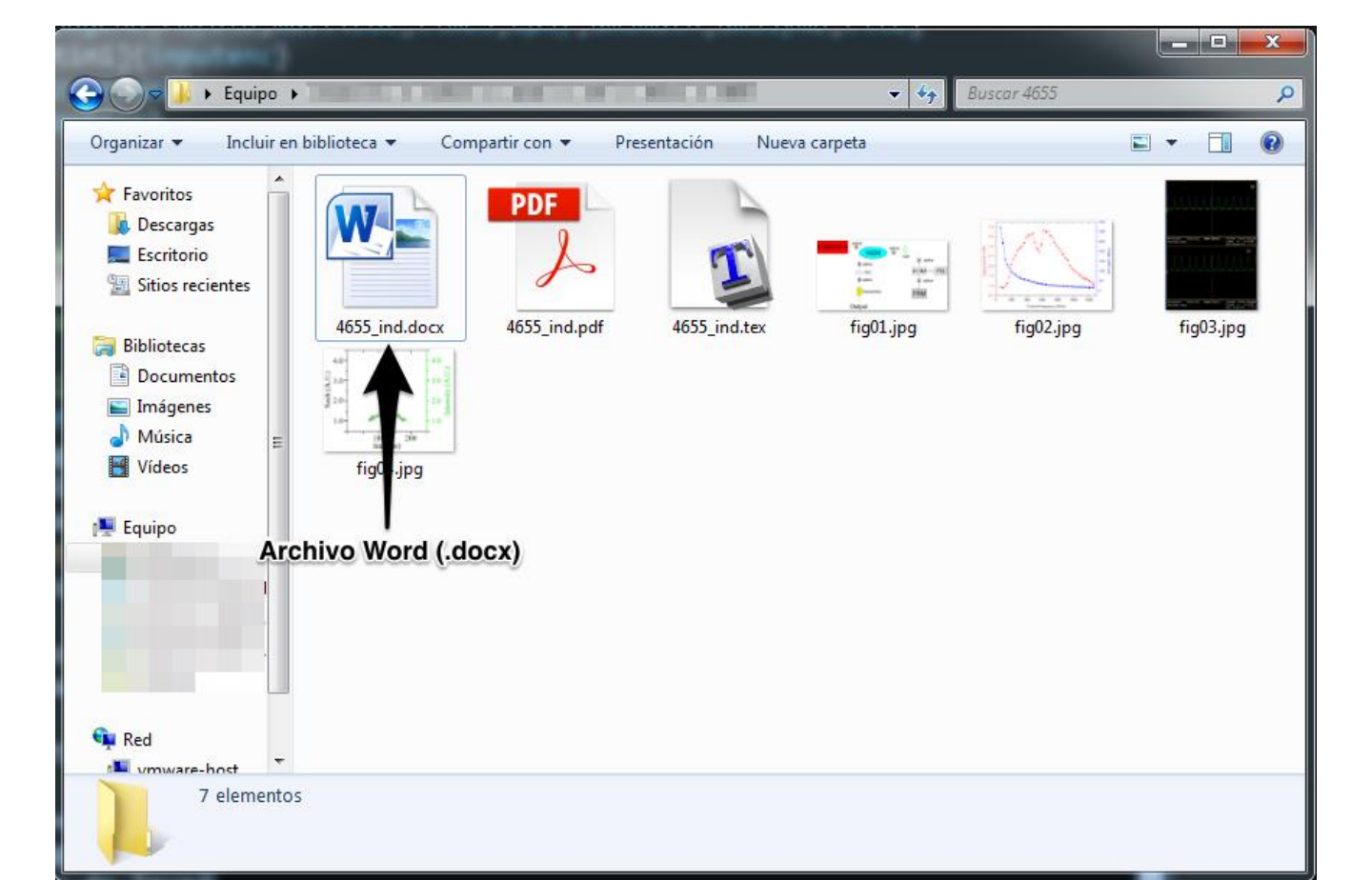






Conversión de LaTeX a Word con pandoc

 Como resultado tendremos un archivo Word (.docx) en nuestro directorio.









Conversión de LaTeX a Word con latex2rtf







latex2rtf

latex2rtf es un programa que convierte archivos formateados en LaTeX a documentos RTF (Ritch Text Format) que es un estándar publicado por Microsoft y soporta:

- Conversión de una rango amplio de codificaciones de entrada (UTF-8, ASCII, ...)
- Conversión de ecuaciones (Sólo como imagen o preservando el código LaTeX)
- Conversión de tablas
- Conversión de gráficos
- Conversión de referencias cruzadas
- Conversión de bibliografías







- Descargamos el instalador de la página https://sourceforge.net/projects/latex2rtf/
- Ejecutamos el instalador latex2rtf-X.X.XX_win.exe
- Seguimos las instrucciones predeterminadas de instalación.

Nota: latex2rtf requiere tener instalado algún paquete de LaTeX ya utiliza algunos archivos generados durante el proceso de generación del PDF por LaTeX.





Damos clic en Next

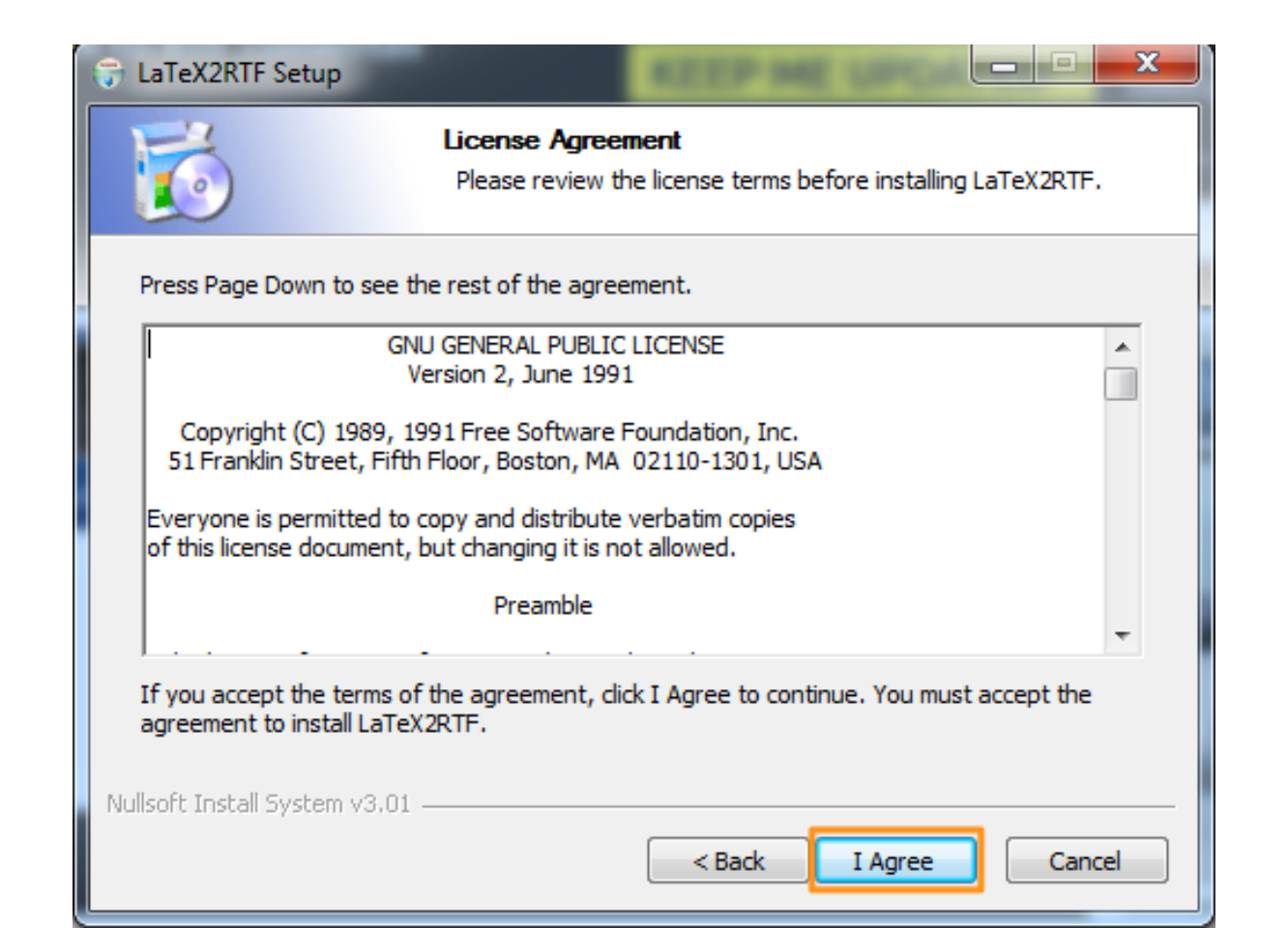








Aceptamos los términos de la licencia

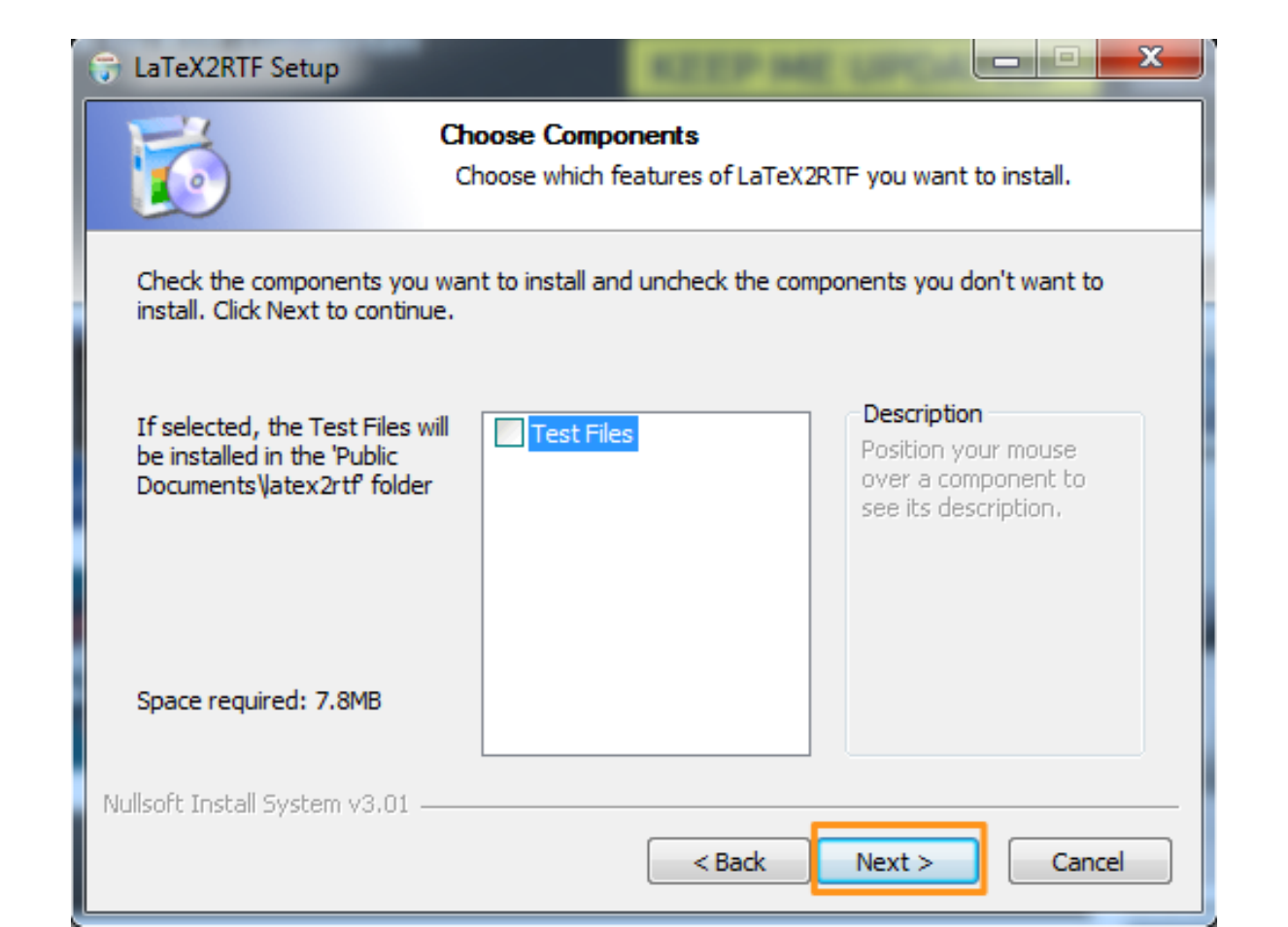








Damos clic en Next









• Damos clic en Install

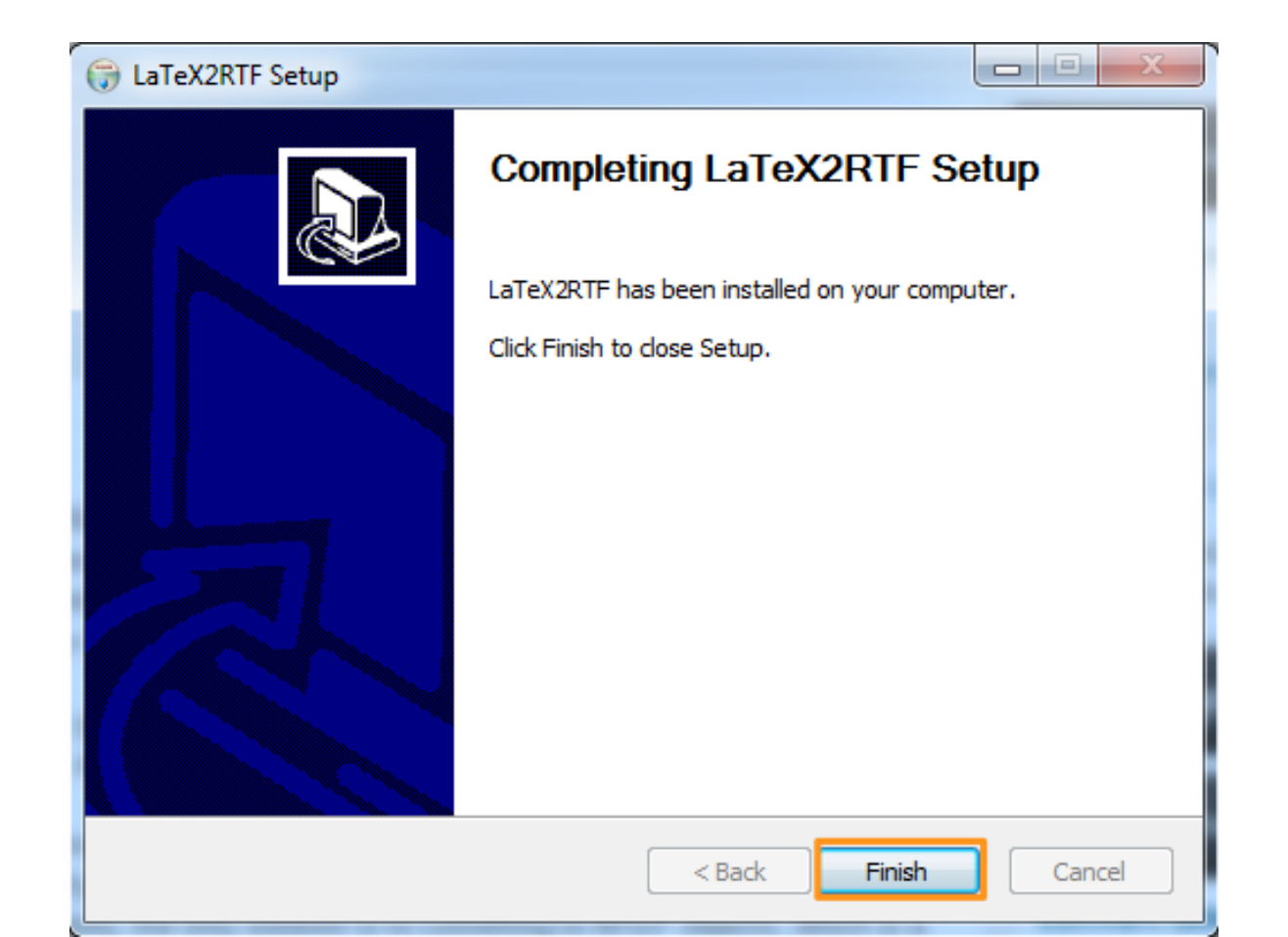
□ LaTeX2RTF Setup	_		_ B X
6	Choose Install Lo	ocation in which to install LaTeX2	RTF.
	X2RTF in the following folde Ider. Click Install to start th		t folder, dick Browse
Destination Folder	(x86) \atex2rtf\		Browse
Space required: 7.8M Space available: 24.9			
Nullsoft Install System v	3.01 —	< Back Insta	Cancel







• Concluimos la instalación dando clic en Finish

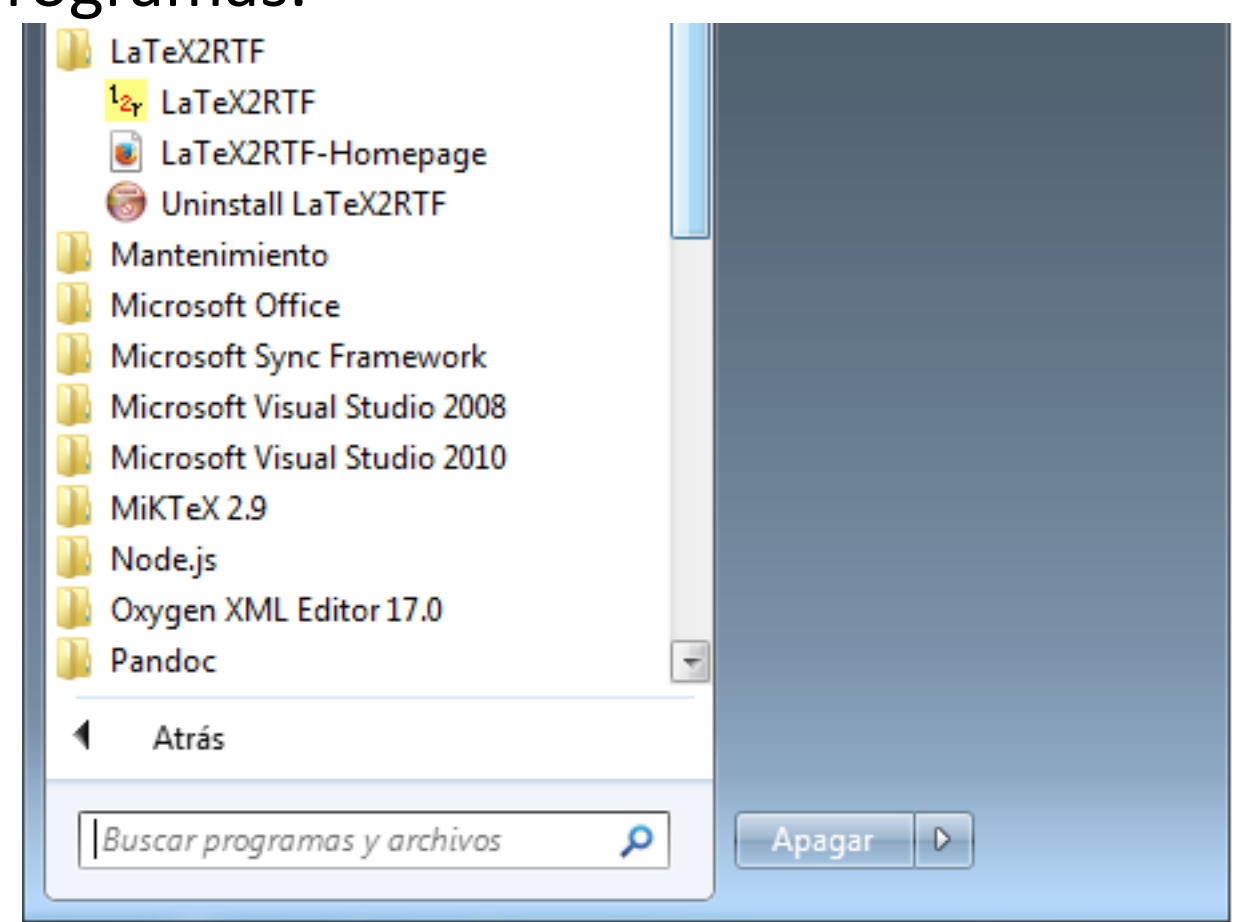








• Una vez instalado latex2rtf tendremos disponible la aplicación dentro de nuestros programas.









Convers

Al abrir la ap

- Insert origin
- Convert tak

1 _{2r} LaTeX2RTF				_
General Advanced Environ	ment About			
Input file (LaTeX):				
RTF file: ▼ use	default			
.tf				
Equations and tables				_
Convert displayed equation	ns to:	RTF /	bitmap	□ EPS
Convert inline equations to	:	RTF /	bitmap	☐ EPS
Insert original equation text	as: 🔽	plain text	Word commer	nt
Convert tables to:	✓	RTF I	bitmap	
Insert all figures as filer	names			
Bitmaps	- DRI			
Resolution: 300		4.00	T	
Scale: 1.0		1.00 렃	(figures)	
Convert all figures to bi	tmaps			
Run!		Help	Б	cit







 Abrirnos nuestro archivo LaTeX (.tex) dando clic en el botón "..." de la opción Input file (LaTeX)

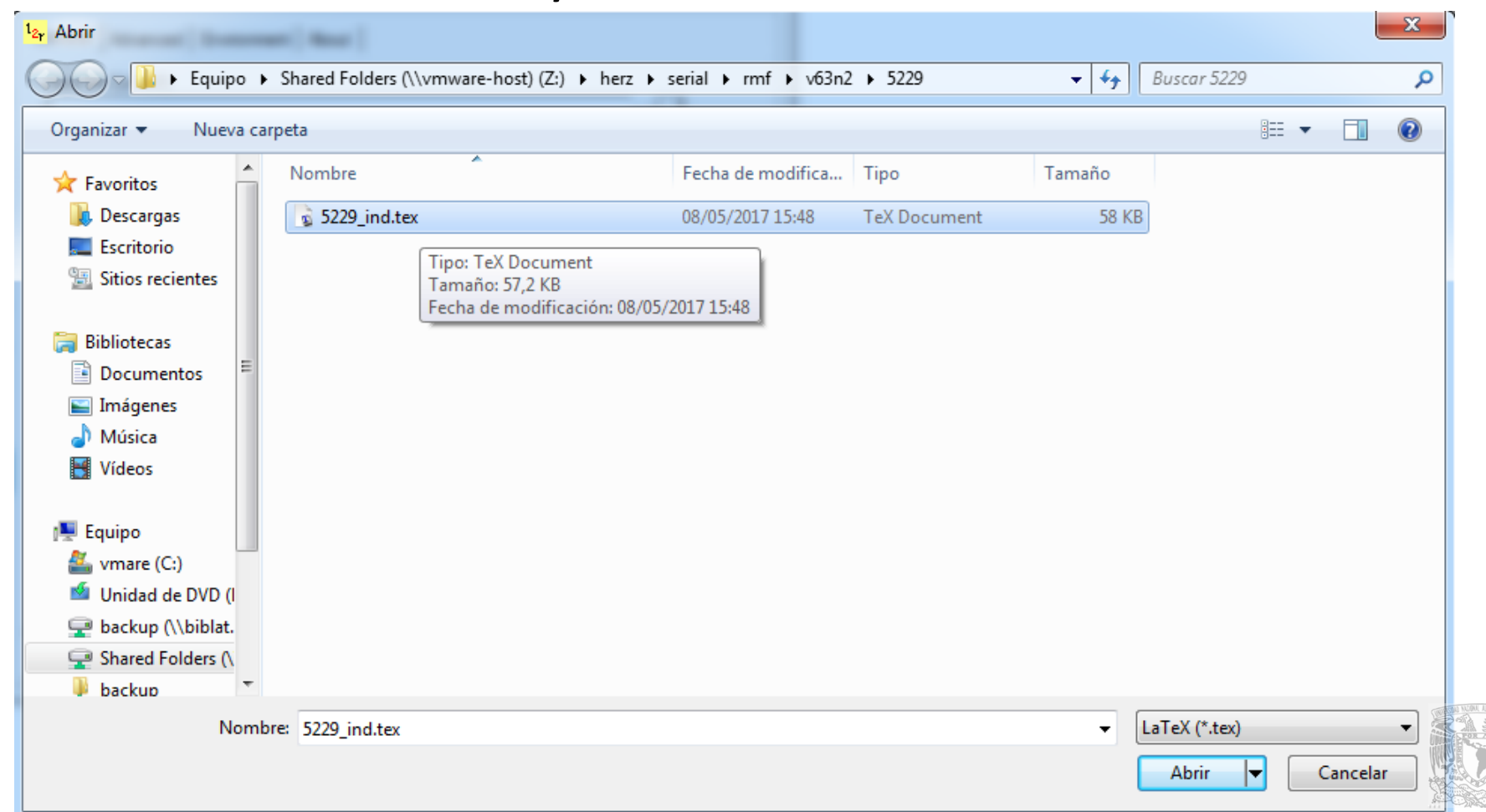
Input file (LaTeX):			
RTF file: 🔽 use default			
.rtf			
Equations and tables			
Convert displayed equations to:	RTF	bitmap	☐ EPS
Convert inline equations to:	☐ RTF	bitmap	☐ EPS
Insert original equation text as:	✓ plain text	☐ Word com	ment
Convert tables to:	▼ RTF	bitmap	
□ Insert all figures as filenames Bitmaps Resolution: 300 ♣ DF Scale: 1.00 ♣ (eo		÷ (figures)	







Buscamos nuestro archivo y lo abrimos









• Una vez abierto el archivo damos clic en Run!

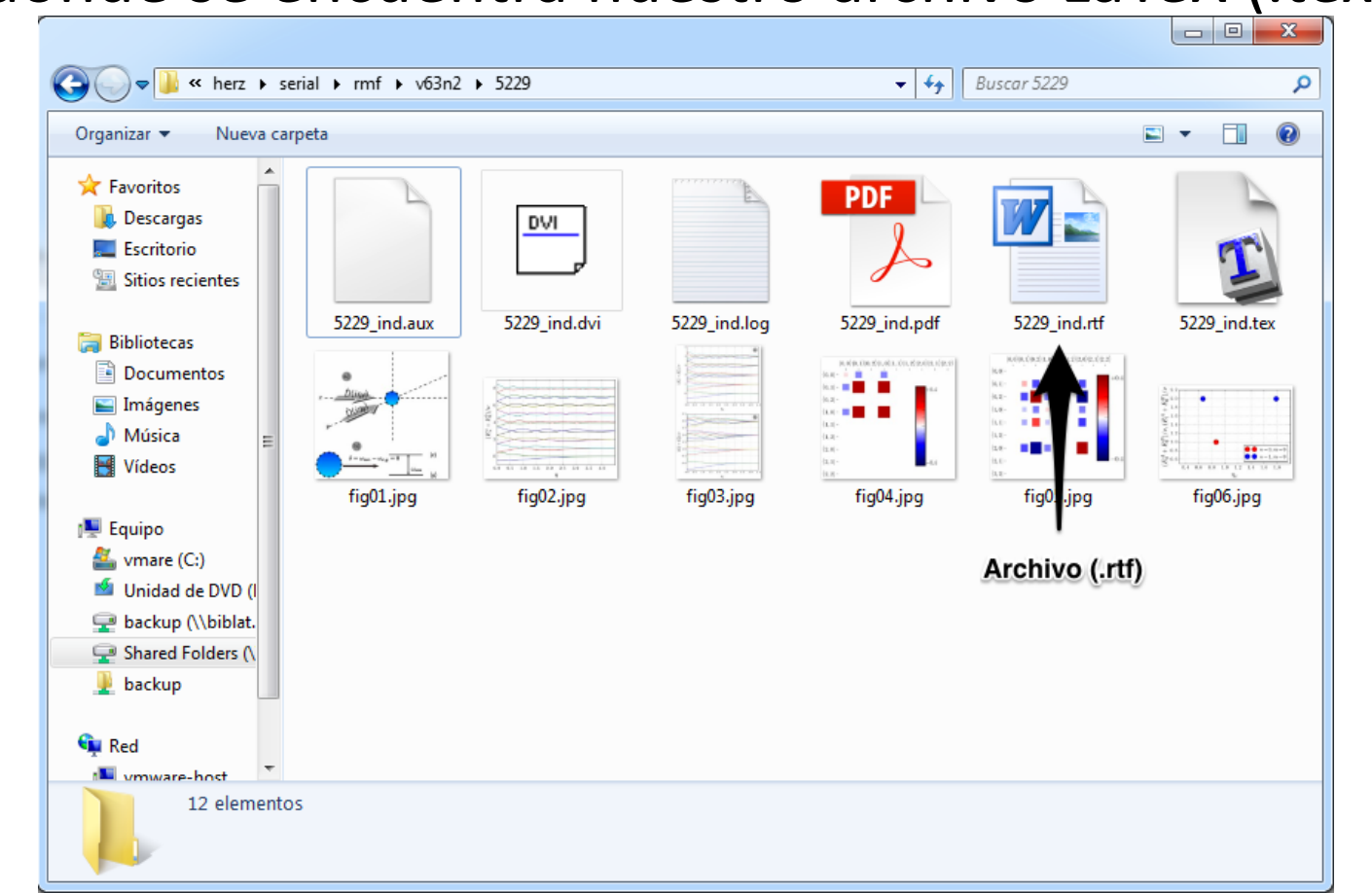
General Advanced Environment Abo			
Z:\herz\serial\rmf\v63n2\5229\5229_in	d.tex		
RTF file:			
5229_ind.rtf			
Equations and tables			
Convert displayed equations to:	RTF	bitmap	☐ EPS
Convert inline equations to:	☐ RTF	bitmap	☐ EPS
Insert original equation text as:	✓ plain text	☐ Word comment	
Convert tables to:	▼ RTF	bitmap	
Bitmaps Resolution: 300 DP Scale: 1.00 (eq.		- Grane	
Scale: 1.00 (eq	uations) 1.00	† (figures)	







• Al terminar nuestro proceso tendremos un archivo RTF en el mismo directorio donde se encuentra nuestro archivo LaTeX (.tex)









Conversión de RTF a Word (.docx)

Para concluir con la conversión de nuestro documento a Word (.docx) basta con abrir el archivo en MS Office Word.

Seleccionar Archivo -> Guardar como

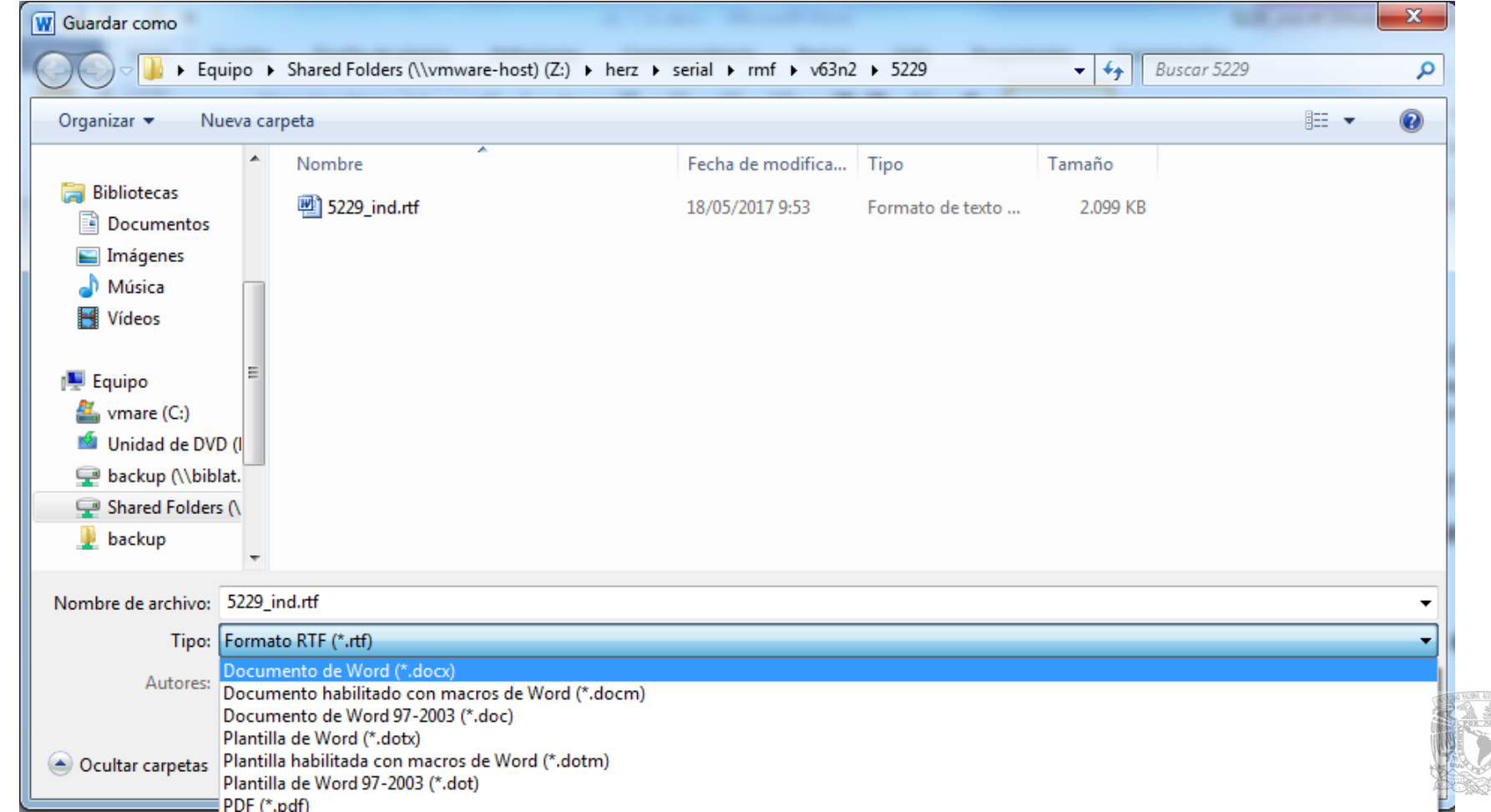






Conversión de RTF a Word (.docx)

Seleccionar el Tipo: Documento de Word (*.docx)









Uso de RegexMarkup para marcación de ecuaciones en LaTeX o Word







RegexMarkup

RegexMarkup es una herramienta desarrollada por el equipo SciELO México que nos permitirá realizar la marcación de ecuaciones codificadas en LaTeX o con el editor de ecuaciones de Word.

Las instrucciones y el software de instalación se encuentran disponibles en la dirección http://132.248.9.166





RegexMarkup

Para poder realizar la marcación y conversión de ecuaciones codificadas en LaTeX son necesarios los siguientes requerimientos:

- Node.js
- mathjax-node-cli







- El programa de instalación de Node.js esta disponible en la página <u>https://nodejs.org</u>
- De la página descargaremos la versión LTS.



Node.js® is a JavaScript runtime built on Chrome's V8 JavaScript engine. Node.js uses an event-driven, non-blocking I/O model that makes it lightweight and efficient. Node.js' package ecosystem, npm, is the largest ecosystem of open source libraries in the world.

Download for Windows (x64)

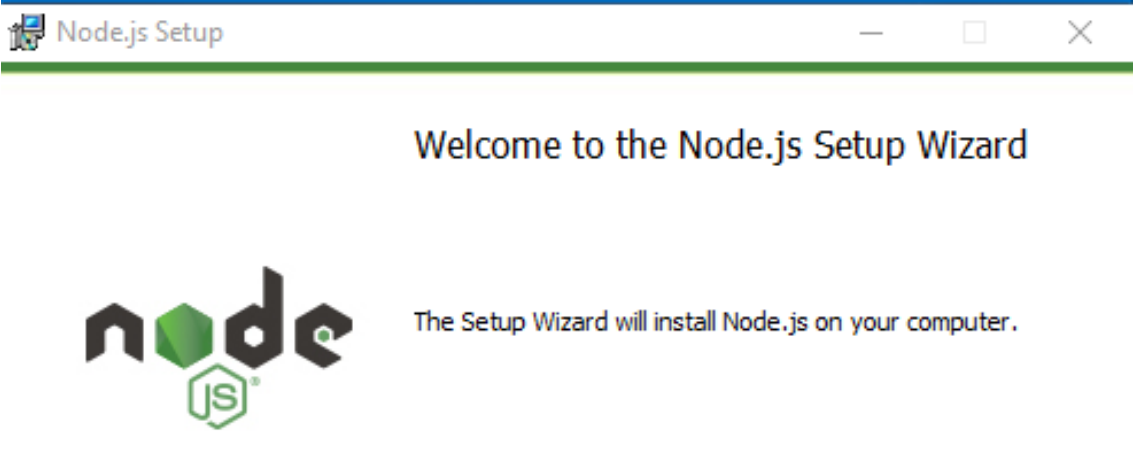








• Una vez descargado el software de instalación, ejecutamos el programa y seguimos las instrucciones predeterminadas.











Aceptamos los términos de la licencia y damos clic en Next.









• Damos clic en Next.

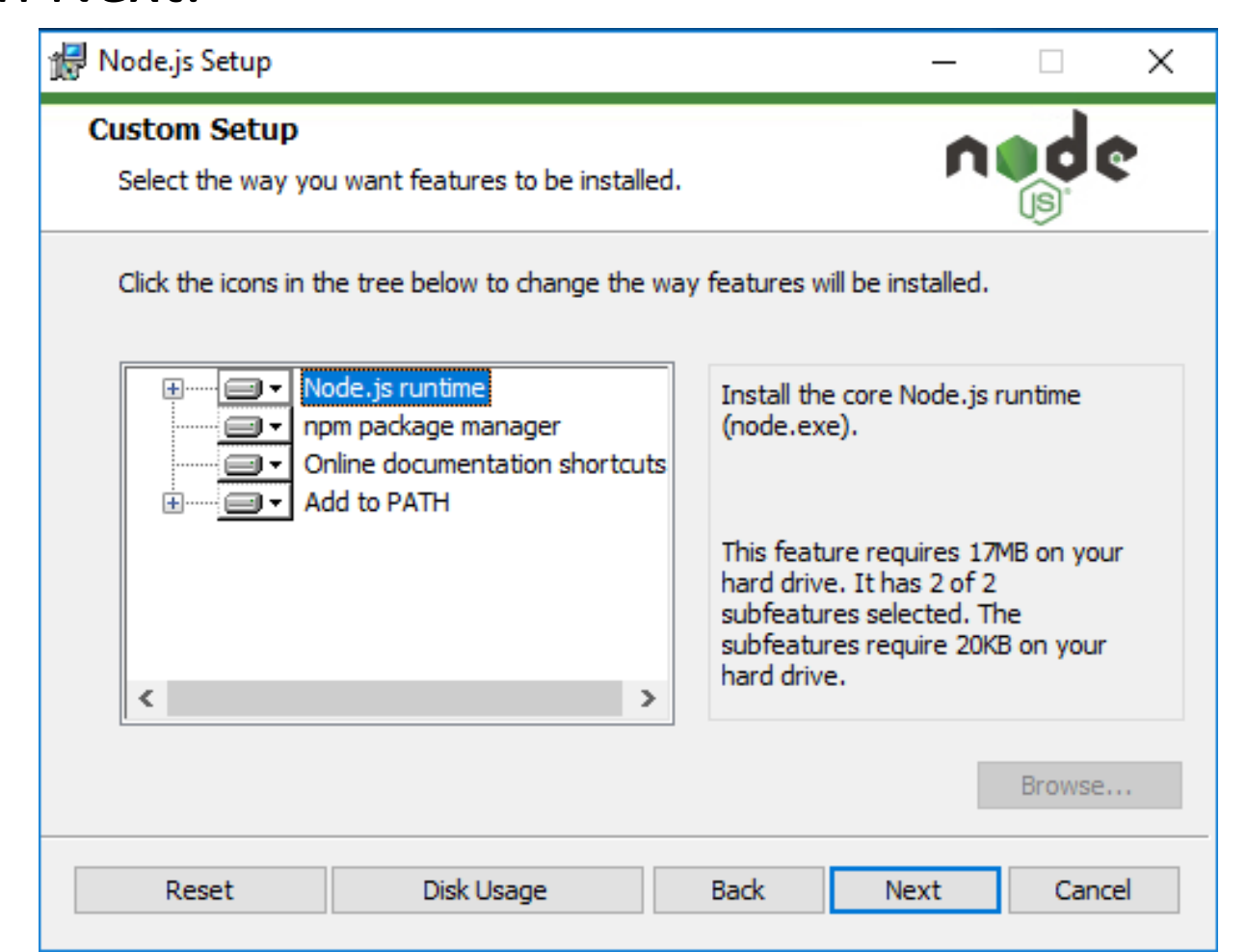
₩ Node.js Setup	_		×
Destination Folder Choose a custom location or click Next to install.	n	ød e	\$
Install Node.js to:			
C:\Program Files\nodejs\ Change			
Back Nex	t	Cano	cel







Damos clic en Next.

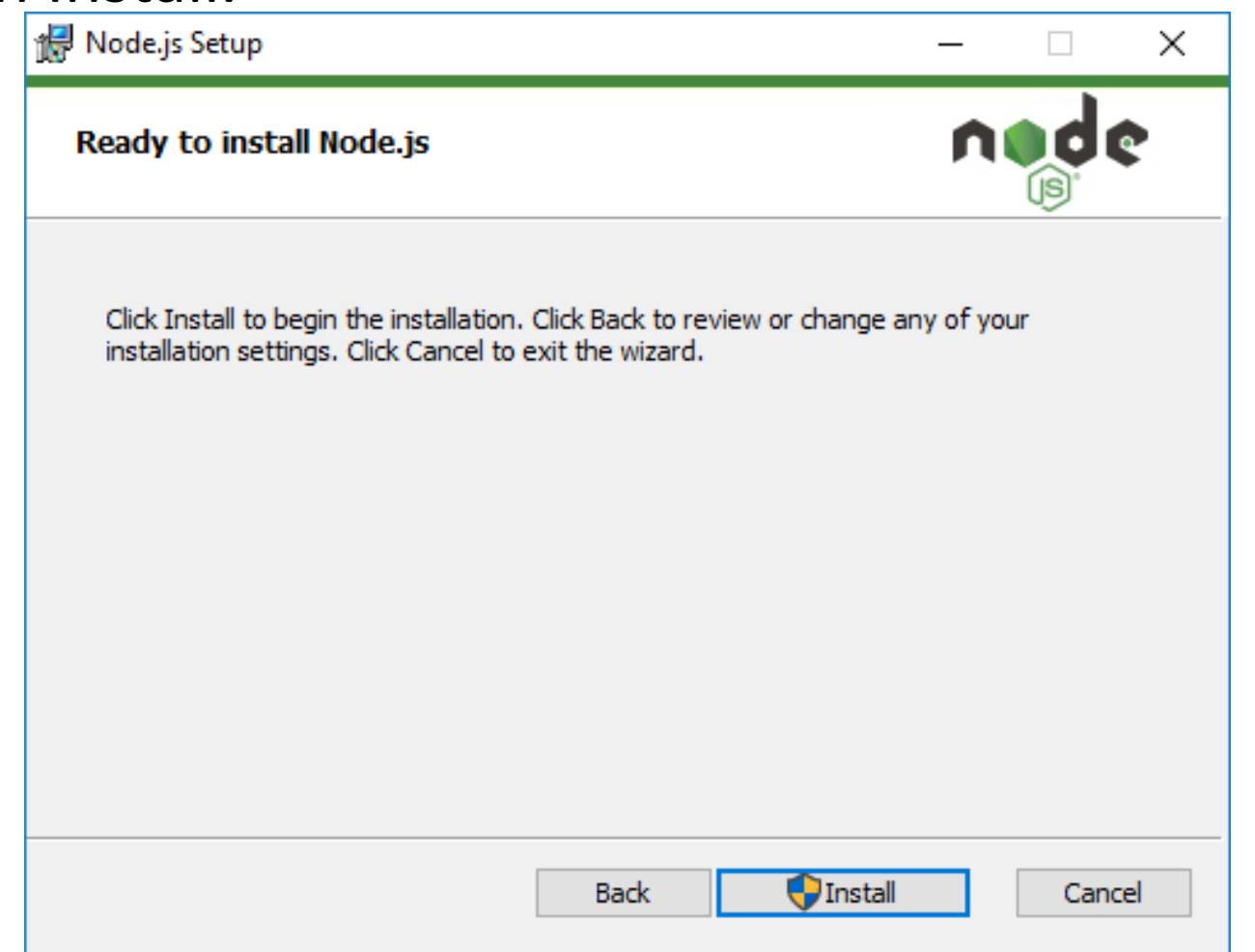








Damos clic en Install.



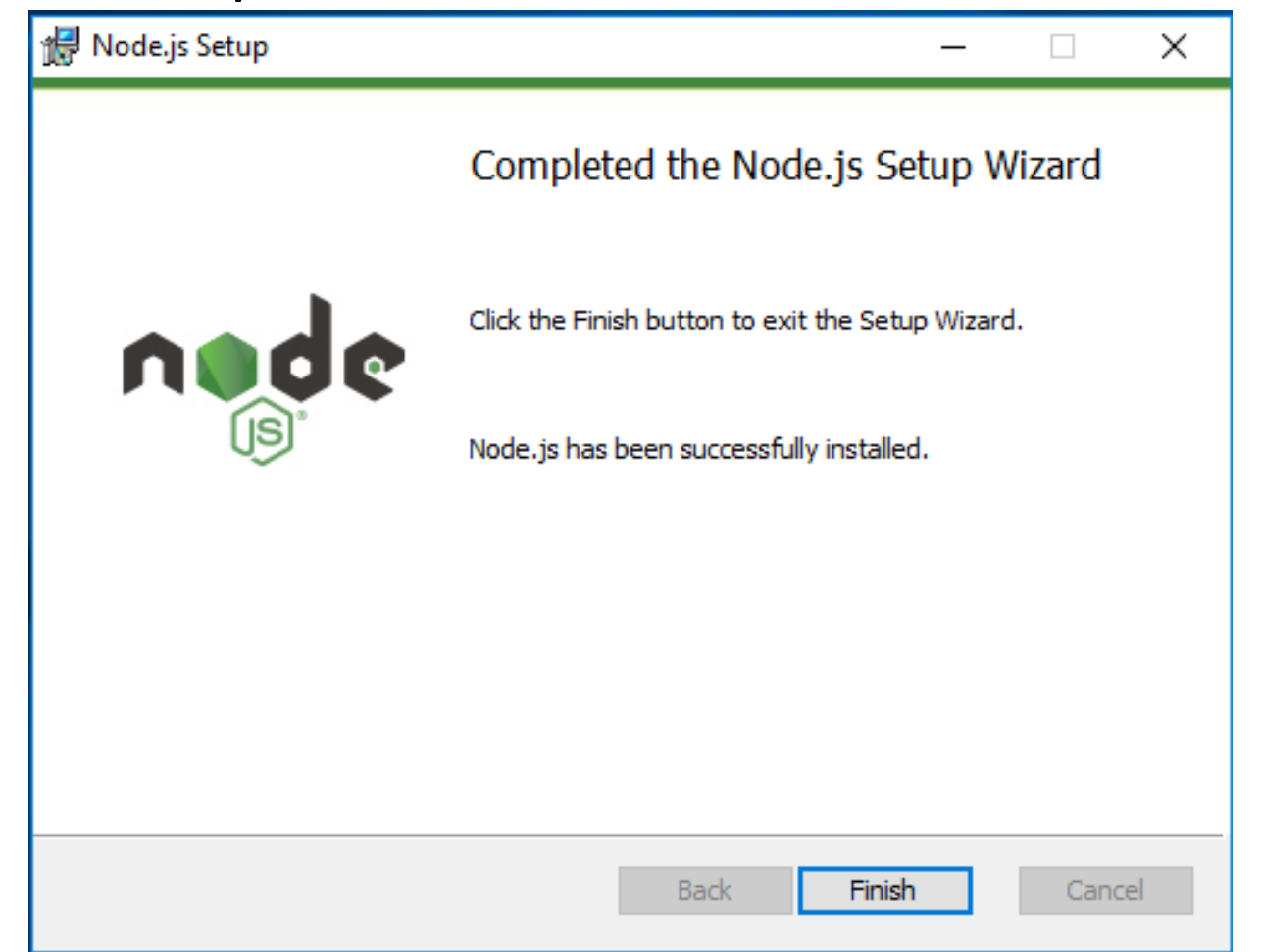








• Damos clic en Finish para concluir la instalación.



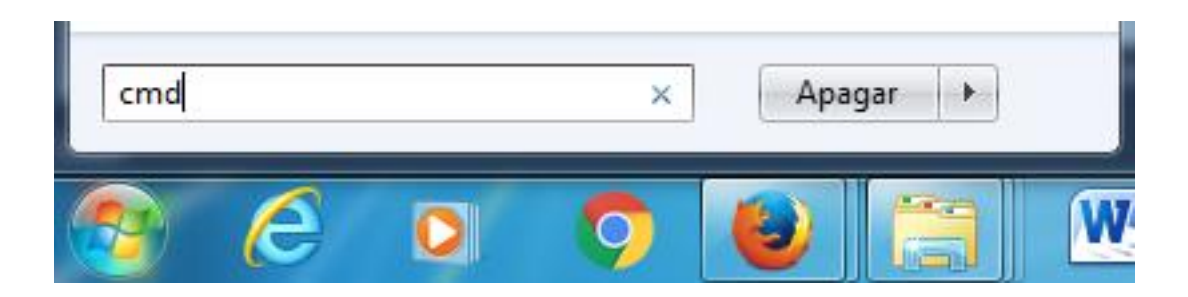






Instalación de mathjax-node-cli

- Una vez instalado Node.js abrimos una ventana de Procesador de comandos e Windows
- En la barra de búsqueda de Windows tecleamos "cmd" y damos ← Enter.







Instalación de mathjax-node-cli

- En la ventana que aparece tecleamos el comando: npm install -g https://github.com/mathjax/mathjax-node-cli/tarball/master
- Damos 🗗 Enter para ejecutar el comando.

```
Microsoft Windows [Versión 10.0.14393]

(c) 2016 Microsoft Corporation. Todos los derechos reservados.

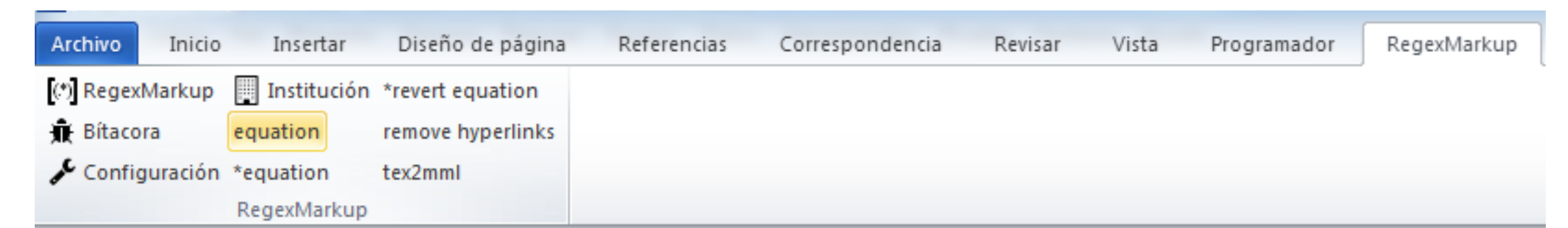
C:\Users\Herz>npm install -g https://github.com/mathjax/mathjax-node-cli/tarball/master
```





Marcación de ecuaciones con RegexMarkup

Para realizar la marcación de una ecuación codificada en LaTeX o en el editor de ecuaciones de Word, basta con seleccionar el contenido y dar clic en el botón **equation** de la pestaña RegexMarkup.



frecuencia del láser y la frecuencia de transisición del ión, y además hemos considerado las definiciones, \[\begin{align}\]

para poder expresar el argumento de cada función exponencial en términos de los operadores de creación y aniquilación del oscilador armónico.



\end{align}\] y \[0

\eta=k\sqrt {1/2\nu} 🖖 - 🛕 - 🦪

frecuencia de transisición del ión, y además hemos considerado las definiciones, [equation][graphic href="?5229 ind rtf"]

$$\hat{a} = \sqrt{\frac{v}{2}} \hat{x} + \frac{i}{\sqrt{2v}} \hat{p}_{x'} \hat{a}^{\dagger} = \sqrt{\frac{v}{2}} \hat{x} - \frac{i}{\sqrt{2v}} \hat{p}_{x'}$$

[/graphic][mmlmath][mml:math

xmlns:mml="http://www.w3.org/1998/Math/MathML"][mml:mtable][mml:mtr][mml:mtd][mml:mrow][mml:maligngroup][/mml:maligng roup][mml:mover][mml:mrow][mml:mi]a[/mml:mi][/mml:mrow][mm 1:mrow][mml:mo]^[/mml:mo][/mml:mrow][/mml:mover][mml:mo]=[mml:mo][mml:msqrt][mml:mfrac][mml:mrow][mml:mi]v[/mml:mi][/ mml:mrow][mml:mrow][mml:mn]2[/mml:mn][/mml:mrow][/mml:mfr ac][/mml:msqrt][mml:mover][mml:mrow][mml:mi]x[/mml:mi][/mml: mrow][mml:mrow][mml:mo]^[/mml:mo][/mml:mrow][/mml:mover][mml:mo]+[/mml:mo][mml:mfrac][mml:mrow][mml:mi]i[/mml:mi][/m ml:mrow][mml:mrow][mml:msqrt][mml:mn]2[/mml:mn][mml:mi]v[/ mml:mi][/mml:msqrt][/mml:mrow][/mml:mfrac][mml:msub][mml:mr ow][mml:mover][mml:mrow][mml:mi]p[/mml:mi][/mml:mrow][mml: mrow][mml:mo]^[/mml:mow][/mml:mover][/mml:mrow][mml:mrow][mml:mi]x[/mml:mi][/mml:mrow][/mml:msub][mml:mo], [/mml:mo][mml:msup][mml:mrow][mml:mover][mml:mrow][mml:m [a[/mml:mi][/mml:mrow][mml:mrow][mml:mo]^[/mml:mo][/mml:mr ow][/mml:mover][/mml:mrow][mml:mrow][/mml:mo]†[/mml:mo][/m ml:mrow][/mml:msup][mml:mo]=[/mml:mo][mml:msqrt][mml:mfrac][mml:mrow][mml:mi]v[/mml:mi][/mml:mrow][mml:mrow][mml:mn]

qrt][mml:mn]2[/mml:mn][mml:mi]v[/mml:mi][/mml:msqrt][/mml:mr ow][/mml:mfrac][mml:msub][mml:mrow][mml:mover][mml:mrow][mml:mi]p[/mml:mi][/mml:mrow][mml:mrow][mml:mo]^[/mml:mo][/ mml:mrow][/mml:mover][/mml:mrow][mml:mi]x[/mml: mi][/mml:mrow][/mml:msub][mml:mo],[/mml:mo]//mml:mrow][/mm l:mtd][/mml:mtr][/mml:mtable][/mml:math][/equation]

para poder expresar el argumento de cada función exponencial en términos de los

2[/mml:mn][/mml:mrow][/mml:mfrac][/mml:msqrt][mml:mover][m ml:mrow][mml:mi]x[/mml:mi][/mml:mrow][mml:mrow][mml:mo]^[/ mml:mo][/mml:mrow][/mml:mover][mml:mo]-[/mml:mo][mml:mfra c][mml:mrow][mml:mi]i[/mml:mi][/mml:mrow][mml:mrow][mml:ms

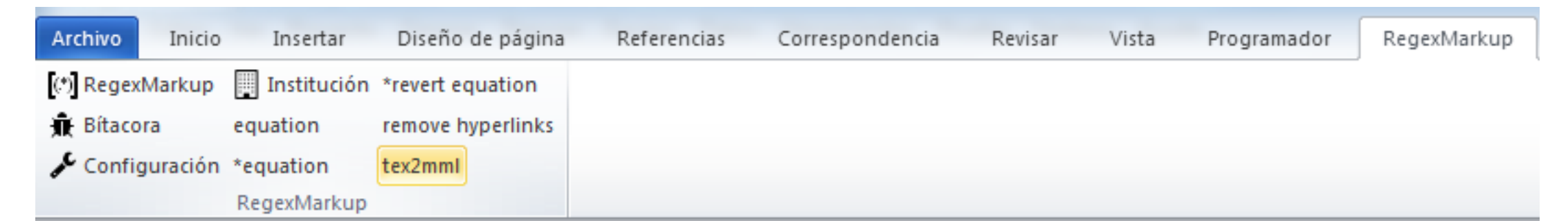
Conversión de ecuaciones LaTeX con RegexMarkup

Para realizar la marcación de una ecuación codificada en LaTeX o en el editor de ecuaciones de Word, basta con seleccionar el contenido y dar clic en el botón **tex2mml** de la pestaña RegexMarkup.

```
niveles de energía y se cancela cuando se calculan valores promedio.

Por otro lado el hamiltoniano que modela a un átomo de dos niveles interactuando con un campo cuantizado, es el hamiltoniano de Rabi, dado por la siguiente expresión: \[\begin{align}\label{JCM}\\mathcal{H}_{R}={\omega}\hat{n}={\omega}\hat{n}={\omega}}\tat{n}+\frac{\omega_0}{2}\hat{n}={\omega}_1\tat{sigma}_z+i\lamb \da(\hat{\sigma}_z+i\lamb \da(\hat{\sigma}_z+i\lamb \da(\hat{\sigma}_z-)(\hat{a}-\hat{a}^\dagger). \end{align}\]

El modelo de Rabi descrito por la la ecuación (16) a primera vista se encuentra
```



Conversión de ecuaciones LaTeX con RegexMarkup

niveles de energía y se cancela cuando se calculan valores promedio.

Por otro lado el hamiltoniano que modela a un átomo de dos niveles interactuando con un campo cuantizado, es el hamiltoniano de Rabi, dado por la siguiente expresión: \[\begin{align}\label{JCM}\]

El modelo de Rabi descrito por la la ecuación (16) a primera vista se encuentra

niveles de energía y se cancela cuando se calculan valores promedio.

Por otro lado el hamiltoniano que modela a un átomo de dos niveles interactuando con un campo cuantizado, es el hamiltoniano de Rabi, dado por la siguiente expresión:

$$\mathcal{H}_{\rm R} = \stackrel{ }{\omega_0} \stackrel{ }{ \stackrel{ }{\alpha}}_z + i \lambda (\stackrel{ }{\sigma_+} + \stackrel{ }{\sigma_-}) (\stackrel{ }{a} - \stackrel{ }{a^\dagger}). \label{eq:HR}$$

El modelo de Rabi descrito por la la ecuación (16) a primera vista se encuentra







Ejemplos de presentación de ecuaciones







Presentación de ecuaciones

Las ecuaciones MathML pueden presentarse en línea con el texto o como un bloque separado y la visualización puede cambiarse utilizando el atributo **mode** en la etiqueta **math** o **mml:math**.

<math mode="inline">: Para visualizar la ecuación en línea con el texto (predeterminado).

<math mode="display">: Para visualizar la ecuación en modo bloque.





<math mode="inline">

$$\zeta(s) = \sum_{n=1}^{\infty} \frac{1}{n^{s}} = \prod_{p \in \mathbb{P}} \frac{1}{1 - p^{-s}} = \frac{e^{-i\pi s} \Gamma(1 - s)}{2\pi i} \int_{C} \frac{z^{s-1} dz}{e^{z} - 1} \qquad (s \in \mathbb{C}, \text{ Re } s > 1)$$







<math mode="display">

$$\zeta(s) = \sum_{n=1}^{\infty} \frac{1}{n^s} = \prod_{p \in \mathbb{P}} \frac{1}{1 - p^{-s}} = \frac{e^{-i\pi s} \Gamma(1 - s)}{2\pi i} \int_{C} \frac{z^{s-1} dz}{e^z - 1} \qquad (s \in \mathbb{C}, \text{ Re } s > 1)$$







Antonio Sánchez Pereyra
Arturo Rendón Cruz
Dirección General de Bibliotecas – UNAM
scielo@dgb.unam.mx







